



เครื่องเก็บข้อมูลภาพ 3 มิติ

3D SCANNER



| | |
|----------------------|----------------|
| วัน เดือน ปี..... | 24 ค.ค. 2541 |
| เลขทะเบียน..... | 039161 |
| เลขเรียกหนังสือ..... | T 10400 0 111ค |

ปริญญาบัตรนี้เป็นส่วนหนึ่งของการศึกษาตามหลักสูตรปริญญาวิทยาศาสตรบัณฑิต

สาขาวิชาอิเล็กทรอนิกส์

สถาบันเทคโนโลยีพระจอมเกล้าเจ้าคุณทหารลาดกระบัง

ปีการศึกษา 2540

เอกสารนี้เป็นเอกสารที่สงวนไว้สำหรับการใช้งานเพื่อการศึกษาเท่านั้น ไม่อนุญาตให้นำไปใช้ประโยชน์ด้านการค้า
ไม่ว่ากรณีใดๆ ทั้งสิ้น อีกทั้งห้ามมิให้ดัดแปลงเนื้อหา และต้องอ้างอิงถึงเจ้าของเอกสารทุกครั้งที่มีกรณีใดๆ
039161

รายงานเรื่อง (ภาษาไทย)
(ภาษาอังกฤษ)

เครื่องเก็บข้อมูลภาพ 3 มิติ
3D SCANNER

จัดทำโดย

นายอะโณ จันทเนตร
นางสาวสุกัญญา ศรีสุเทพ
นางสาววิจิตรา นูรพงษ์ยานนท์

อาจารย์ที่ปรึกษา

อ. เทอดศักดิ์ ถั่วหาทอง



รายงานฉบับนี้ได้ผ่านการตรวจสอบ โดยอาจารย์ที่ปรึกษาแล้ว

ลงชื่อ

(นายเทอดศักดิ์ ถั่วหาทอง)

อาจารย์ที่ปรึกษา

วันที่ 20 / มี.ค. / 2541

เอกสารนี้เป็นเอกสารที่สงวนไว้สำหรับการใช้งานเพื่อการศึกษาเท่านั้น ไม่อนุญาตให้นำไปใช้ประโยชน์ด้านการค้า
ไม่ว่ากรณีใดๆ ทั้งสิ้น อีกทั้งห้ามมิให้ดัดแปลงเนื้อหา และต้องอ้างอิงถึงเจ้าของเอกสารทุกครั้งที่มีการนำไปใช้

กิตติกรรมประกาศ

ในระหว่างการทำงานโครงการนี้ผู้จัดทำได้รับความอนุเคราะห์จากผู้มีพระคุณหลายท่านด้วยกันซึ่งทำให้โครงการนี้สำเร็จลุล่วงไปด้วยดี โดยเฉพาะอย่างยิ่งอาจารย์ที่ปรึกษาซึ่งให้คำปรึกษาและความสนใจเป็นอย่างดี ขอขอบคุณภาคเครื่องกล ซึ่งได้ให้ความเอื้อเฟื้อสถานที่และเครื่องมือในการปฏิบัติการด้านฮาร์ดแวร์ของโครงการนี้ใน Shop เครื่องกล และขอขอบคุณผู้มีพระคุณอีกหลายท่านที่มีส่วนเกี่ยวข้องจนทำให้โครงการนี้สำเร็จลุล่วงไปด้วยดี



เอกสารนี้เป็นเอกสารที่สงวนไว้สำหรับการใช้งานเพื่อการศึกษาเท่านั้น ไม่อนุญาตให้นำไปใช้ประโยชน์ด้านการค้า
ไม่ว่ากรณีใดๆ ทั้งสิ้น อีกทั้งห้ามมิให้ดัดแปลงเนื้อหา และต้องอ้างอิงถึงเจ้าของเอกสารทุกครั้งที่มีการนำไปใช้

เครื่องเก็บข้อมูลภาพ 3 มิติ

นาย อะโณ จันทเนตร

นางสาว สุกัญญา ศรีสุเทพ

นางสาว วิจิตรา บุรพพชานนท์

อ. เทอดศักดิ์ ลีวาทอง (อาจารย์ที่ปรึกษา)

ปีการศึกษา 2540

บทคัดย่อ

เครื่องเก็บข้อมูลภาพ 3 มิติเป็นเครื่องมือที่สามารถสแกนลักษณะ โครงสร้างภายนอกของวัตถุออกมาเป็น โครงสร้าง 3 มิติโดยจะทำการถ่ายภาพของวัตถุในแต่ละมุมจนครบ 1 รอบของวัตถุ โดยใช้กล้องวิดีโอและแสงเลเซอร์ในการถ่ายภาพจากนั้นนำภาพทั้งหมดไปประมวลผลภาพเพื่อให้ได้โครงสร้างข้อมูลภาพ 3 มิติแล้วแสดงออกมาที่หน้าจอคอมพิวเตอร์ ซึ่ง โครงสร้างข้อมูลภาพ 3 มิติที่ได้สามารถนำไปประยุกต์ใช้กับงานด้านต่างๆ เช่น ด้านการแพทย์ หรือ งานด้านอุตสาหกรรม

3D SCANNER

Mr. Ano Juntanen

Miss Sukanya Srisuthep

Miss Wijitra Burapapongsanon

Mr.Thurdsak Leauhatong (Advisor)

1997

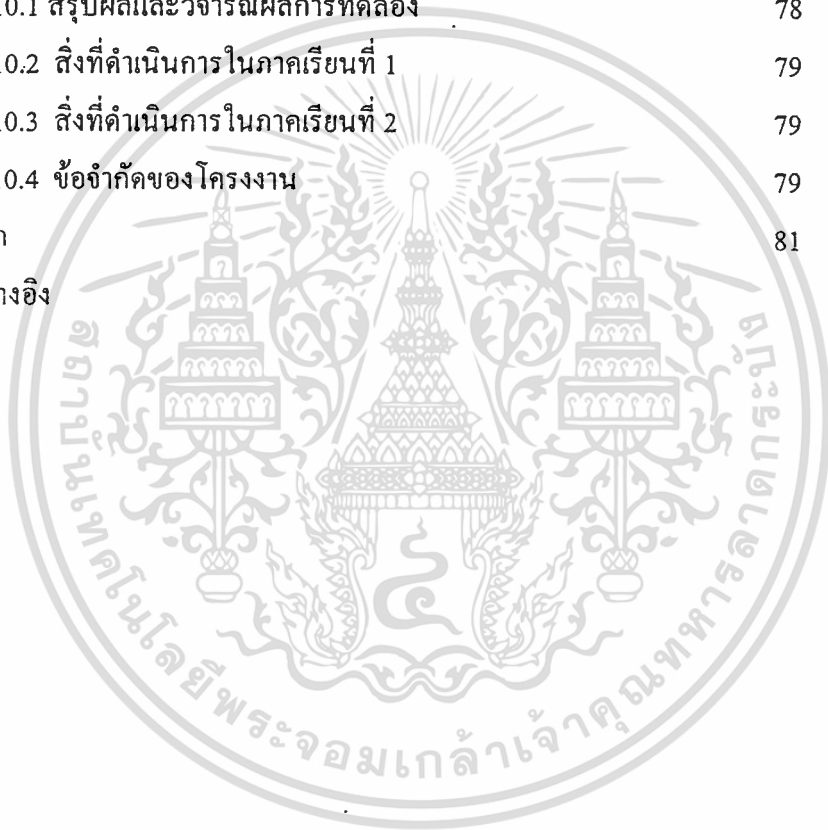
Abstract

3D SCANNER is an equipment which is able to scan structure of any objects and display to the monitor in 3D-animation figure by taking the picture of that objects in every degree until around it. This equipment requires a video camera and a laser for capturing the pictures after that all of the pictures are processed to 3D-animation figure by using "Image Processing" then they are able to show on the monitor. That image are modified to use with others branches such as medical or industrial works.

สารบัญ

| | หน้า |
|---|------|
| กิตติกรรมประกาศ | I |
| บทคัดย่อ | II |
| Abstract | III |
| สารบัญ | IV |
| บทที่ 1 บทนำ | 1 |
| บทที่ 2 โครงสร้างของระบบ โดยรวม | 4 |
| 2.1 หลักการของระบบ โดยรวม | 7 |
| บทที่ 3 ทฤษฎีพื้นฐานและหลักการทำงานของสเตปมอเตอร์ | 9 |
| 3.1 คุณสมบัติทั่วไป | 9 |
| 3.2 หลักการทำงานของสเตปมอเตอร์ | 10 |
| 3.3 ชนิดของสเตปมอเตอร์ | 13 |
| 3.4 การ Control Step Motor | 19 |
| บทที่ 4 กล้อง Color Quick Cam | 21 |
| 4.1 สิ่งที่ต้องมีในการใช้กล้อง Color Quick Cam | 21 |
| 4.2 คุณสมบัติพิเศษของกล้อง Color Quick Cam | 22 |
| 4.3 ความสามารถของกล้อง Color Quick Cam | 22 |
| บทที่ 5 ชุดทดลองต้นแบบ | 23 |
| 5.1 โครงสร้างและส่วนประกอบของเครื่อง 3D SCANNER | 23 |
| 5.2 หลักการทำงาน | 23 |
| บทที่ 6 การ์ดควบคุมการหมุน Stepping Motor | 25 |
| 6.1 ISA Slot | 25 |
| บทที่ 7 คณิตศาสตร์ในการสร้าง โครงสร้าง 3 มิติ | 37 |
| 7.1 Two – Dimentional Coordinate Geometry | 37 |
| 7.2 Three - Dimentional Coordinate Geometry | 40 |
| บทที่ 8 โปรแกรมควบคุมการทำงาน ของ 3D SCANNER | 45 |
| 8.1 โครงสร้างการทำงาน ของ 3D-SCANNER | 45 |
| 8.2 โครงสร้างโปรแกรม | 46 |
| 8.3 หลักการของการสร้าง โครงสร้าง 3 มิติ | 58 |

| | หน้า |
|--|------|
| บทที่ 9 ผลการทดลอง | 65 |
| 9.1 การ Set อุปกรณ์ | 65 |
| 9.2 วิธีทดลอง | 65 |
| 9.3 ผลการทดลอง | 65 |
| บทที่ 10 สรุปผลและวิจารณ์ผลการทดลอง | 78 |
| 10.1 สรุปผลและวิจารณ์ผลการทดลอง | 78 |
| 10.2 สิ่งที่ต้องดำเนินการในภาคเรียนที่ 1 | 79 |
| 10.3 สิ่งที่ต้องดำเนินการในภาคเรียนที่ 2 | 79 |
| 10.4 ข้อจำกัดของโครงการ | 79 |
| ภาคผนวก | 81 |
| เอกสารอ้างอิง | |



สารบัญรูป

| | หน้า |
|--|------|
| บทที่ 1 | |
| รูปที่ 1.1 แสดงรูปการใช้เครื่องสแกนเนอร์สแกนไปตาม โครงสร้าง | 1 |
| รูปที่ 1.2 แสดงภาพโครงสร้าง 3 มิติ | 2 |
| รูปที่ 1.3 แสดงหุ่นจำลองของสัตว์ประหลาดที่สร้างมาจาก ภาพกราฟฟิก 3 มิติ | 2 |
| บทที่ 2 | |
| รูปที่ 2.1 แสดงแสงเลเซอร์ที่ถูกส่งจากแหล่งกำเนิด ไปสู่วัตถุมองจากด้านข้าง | 5 |
| รูปที่ 2.2 แสดงตำแหน่งของกล้อง ชูดกำเนิดเลเซอร์ วัตถุมองจากด้านบน | 5 |
| รูปที่ 2.3 แสดงตำแหน่งของเลเซอร์และกล้องในการใช้งานจริง | 5 |
| รูปที่ 2.4 แสดงภาพที่กล้องรับมาเมื่อมีการยิงเลเซอร์ | 6 |
| รูปที่ 2.5 แสดง โครงสร้างของระบบ โดยรวม | 6 |
| รูปที่ 2.6 แสดงหลักการทำงานของระบบ โดยรวม | 7 |
| บทที่ 3 | |
| รูปที่ 3.1 แสดง โครงสร้างของ ไฮบริดจ์สเตปมอเตอร์ที่มีจำนวน สเตปต่อรอบเท่ากับ 12 | 10 |
| รูปที่ 3.2 แสดงขั้นตอนการทำงานของสเตปมอเตอร์แบบเต็มสเตป1เฟส | 11 |
| รูปที่ 3.3 แสดงขั้นตอนการทำงานของสเตปมอเตอร์แบบเต็มสเตป2เฟส | 12 |
| รูปที่ 3.4 แสดงขั้นตอนการทำงานของสเตปมอเตอร์แบบครึ่งสเตป | 12 |
| รูปที่ 3.5 แสดงภาพตัดขวางของสเตปมอเตอร์แบบ3เฟส | 13 |
| รูปที่ 3.6 แสดงตำแหน่งสมดุลย์เมื่อเฟสใดเฟสหนึ่งของสเตปถูกกระตุ้น | 14 |
| รูปที่ 3.7 แสดงแรงภายนอกที่มีผลต่อเส้นแรงแม่เหล็ก | 14 |
| รูปที่ 3.8 แสดงขั้นตอนการเคลื่อนที่ของ โรเตอร์เมื่อสเตปมอเตอร์ถูกหมุน | 14 |
| รูปที่ 3.9 แสดงขั้นตอนการเคลื่อนที่ของสเตปมอเตอร์ | 15 |
| รูปที่ 3.10 แสดงการเปรียบเทียบเส้นแรงแม่เหล็กระหว่างช่องว่าง ที่กว้างและแคบ | 15 |
| รูปที่ 3.11 แสดงมอเตอร์3เฟสและ4เฟส | 16 |
| รูปที่ 3.12 แสดง โครงสร้างของสเตปมอเตอร์แบบแม่เหล็กถาวร | 17 |
| รูปที่ 3.13 แสดงการทำงานของสเตปมอเตอร์แบบแม่เหล็กถาวรขนาด4เฟส | 18 |

| | หน้า |
|---|------|
| รูปที่ 3.14 แสดงโครงสร้างของไฮบริดจ์สเตปมอเตอร์ | 18 |
| บทที่ 4 | |
| รูปที่ 4.1 แสดงลักษณะภายนอกของกล้อง Color Quick Cam | 21 |
| รูปที่ 4.2 แสดงลักษณะภายในของกล้อง Color Quick Cam | 21 |
| บทที่ 5 | |
| รูปที่ 5.1 โครงสร้างและส่วนประกอบโดยรวมของชุดทดลองคั่นแบบ(ด้านหน้า) | 23 |
| รูปที่ 5.2 โครงสร้างและส่วนประกอบโดยรวมของชุดทดลองคั่นแบบ(ด้านหลัง) | 24 |
| บทที่ 6 | |
| รูปที่ 6.1 แสดงการนับขาของ Slot แบบ 62 ขา | 25 |
| รูปที่ 6.2 แสดงการนับขาของ Slot แบบ 36 ขา | 26 |
| รูปที่ 6.3 สัญญาณ Enable Data Buffer | 31 |
| รูปที่ 6.4 Block Diagram การทำงานของวงจรถอร์ทขนาน | 33 |
| รูปที่ 6.5 แสดงวงจรถอร์ทขนาน | 34 |
| รูปที่ 6.6 Block Diagram การทำงานของวงจรถอร์ Drive Step Motor | 35 |
| รูปที่ 6.7 แสดงวงจรถอร์ Drive Step Motor | 36 |
| บทที่ 8 | |
| รูปที่ 8.1 Block diagram การทำงานของ 3D-SCANNER | 45 |
| รูปที่ 8.2 แสดง algorithm ของการทำ Thining | 49 |
| รูปที่ 8.3 Flow chart แสดงโครงสร้างโดยรวมของโปรแกรม | 50 |
| รูปที่ 8.4 Flow chart แสดงการรับภาพและข้อมูลภาพจากกล้องวิดีโอ | 51 |
| รูปที่ 8.5 Flow chart แสดงการสร้าง bitmap file จากภาพที่ capture มาแล้วแสดงผล | 52 |
| รูปที่ 8.6 Flow chart แสดงการ convert ภาพจาก color bmp เป็น Brightness bmp | 53 |
| รูปที่ 8.7 Flow chart แสดงขั้นตอนการทำ threshold | 54 |
| รูปที่ 8.8 Flow chart แสดงขั้นตอนการทำ thining | 55 |
| รูปที่ 8.9 Flow chart แสดงขั้นตอนการเก็บ coordinate ของข้อมูลภาพจาก thining bmp | 56 |
| รูปที่ 8.10 Flow chart แสดงการ plot ภาพบนแกน 3 มิติ | 57 |

| | หน้า |
|--|------|
| รูปที่ 8.11 แสดงการ translate จุด origin ของภาพ 2 มิติ | 58 |
| รูปที่ 8.12 รูปแสดงตำแหน่งของ Z_E, Z_C และระนาบของภาพบนแกน 3 มิติ | 60 |
| รูปที่ 8.13 แสดงการวางตัวของระนาบกล้องและระนาบเลเซอร์ | 61 |
| รูปที่ 8.14 แสดงระนาบ xy ที่จุด origin | 62 |
| รูปที่ 8.15 แสดงการ rotate จุดบนระนาบรอบแกน y | 63 |
| บทที่ 9 | |
| รูปที่ 9.1 แสดงโครงสร้างของ 3D-SCANNER และวัตถุที่ได้ทำการทดลอง | 66 |
| รูปที่ 9.2 แสดงภาพที่สร้างขึ้นเอง เพื่อนำมาทดสอบกับโปรแกรมในทุกๆสแตป | 66 |
| รูปที่ 9.3 แสดงภาพที่ผ่านการแปลงเป็นภาพ Brightness แล้ว | 66 |
| รูปที่ 9.4 แสดงภาพที่ได้จากการทำ Threshold | 67 |
| รูปที่ 9.5 แสดงภาพที่ได้จากการทำ Thining | 67 |
| รูปที่ 9.6 แสดงภาพ โครงร่าง 3 มิติที่ได้จากการประมวลผลภาพ ที่สร้างขึ้นในสแตปที่ 1 | 67 |
| รูปที่ 9.7 แสดงภาพ โครงร่าง 3 มิติที่ได้จากการประมวลผลภาพ ที่สร้างขึ้นในสแตปที่ 2 | 68 |
| รูปที่ 9.8 แสดงภาพ โครงร่าง 3 มิติที่ได้จากการประมวลผลภาพ ที่สร้างขึ้นในสแตปที่ 5 | 68 |
| รูปที่ 9.9 แสดงภาพ โครงร่าง 3 มิติที่ได้จากการประมวลผลภาพ ที่สร้างขึ้นในสแตปที่ 15 | 68 |
| รูปที่ 9.10 แสดงภาพ โครงร่าง 3 มิติที่ได้จากการประมวลผลภาพ ที่สร้างขึ้นในสแตปที่ 30 | 69 |
| รูปที่ 9.11 แสดงภาพ โครงร่าง 3 มิติที่ได้จากการประมวลผลภาพ ที่สร้างขึ้นในสแตปที่ 40 | 69 |
| รูปที่ 9.12 แสดงภาพ โครงร่าง 3 มิติที่ได้จากการประมวลผลภาพ ที่สร้างขึ้นในสแตปที่ 50 | 69 |
| รูปที่ 9.13 แสดงภาพที่ได้จากการประมวลผลของภาพที่รับจากกล้องสแตปที่ 1 | 70 |
| รูปที่ 9.14 แสดงภาพที่ได้จากการประมวลผลของภาพที่รับจากกล้องสแตปที่ 2 | 71 |
| รูปที่ 9.15 แสดงภาพที่ได้จากการประมวลผลของภาพที่รับจากกล้องสแตปที่ 5 | 72 |
| รูปที่ 9.16 แสดงภาพที่ได้จากการประมวลผลของภาพที่รับจากกล้องสแตปที่ 13 | 73 |

| | หน้า |
|---|------|
| รูปที่ 9.17 แสดงภาพที่ได้จากการประมวลผลของภาพที่รับจากกล้องสเตปที่ 15 | 74 |
| รูปที่ 9.18 แสดงภาพที่ได้จากการประมวลผลของภาพที่รับจากกล้องสเตปที่ 30 | 75 |
| รูปที่ 9.19 แสดงภาพที่ได้จากการประมวลผลของภาพที่รับจากกล้องสเตปที่ 40 | 76 |
| รูปที่ 9.20 แสดงภาพที่ได้จากการประมวลผลของภาพที่รับจากกล้องสเตปที่ 50 | 77 |
| บทที่ 10 | |
| รูปที่ 10.1 แสดงการเปรียบเทียบภาพวัตถุจริงกับภาพจากการสแกน | 78 |



สารบัญตาราง

บทที่ 6

หน้า

ตารางที่ 6.1 แสดงชื่อของสัญญาณขาต่างๆของ Slot

27



บทที่ 1

บทนำ

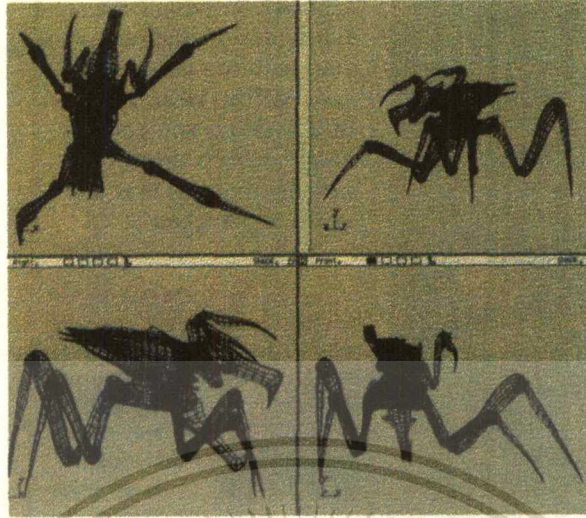
เครื่องเก็บข้อมูลภาพ 3 มิติ เป็นโครงการที่สร้างขึ้นโดยมีแนวความคิดจากเทคโนโลยีการสร้างภาพ 3 มิติ ที่คาดว่าจะเริ่มเข้ามาแพร่หลายในประเทศไทยมากขึ้น ภาพยนตร์จากต่างประเทศที่นำเข้ามาฉายในประเทศไทย ไม่ว่าจะเป็น Toy Story , Jurassic Park และอีกหลายเรื่อง ล้วนแล้วแต่ใช้เทคโนโลยีการสร้างภาพ 3 มิติทั้งสิ้น ตัวอย่างที่จะยกมาให้ดูต่อไปนี้เป็นขั้นตอนการสร้างภาพ 3 มิติ ของสัตว์ประหลาดตัวหนึ่งซึ่งกว่าที่จะมาเป็นภาพ 3 มิติได้นั้น ต้องผ่านขั้นตอนที่ย่างช้าช้อนมาก



รูปที่ 1.1 แสดงรูปการใช้เครื่องสแกนเนอร์สแกนไปตามโครงสร้าง

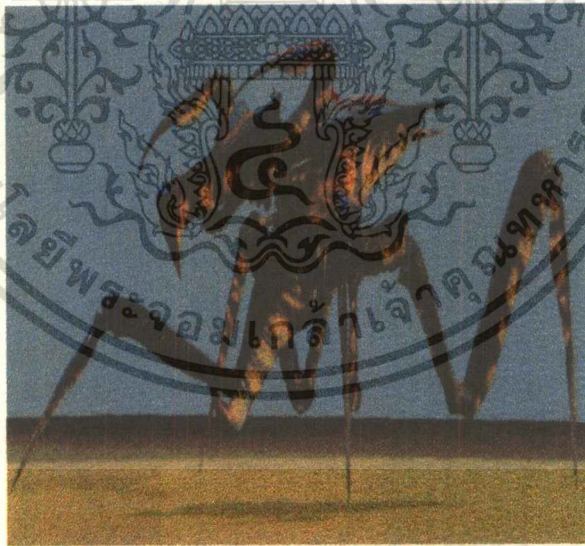
ขั้นตอนแรก ก็คือ ต้องทำโครงสร้างคร่าว ๆ ของสัตว์ประหลาดตัวนั้นขึ้นมาก่อน
 ขั้นตอนที่สอง ซึ่งเป็นขั้นตอนที่เกี่ยวข้องโดยตรงกับโครงการนี้ คือ การใช้สแกนเนอร์สแกนไปตามโครงสร้างนั้น ซึ่งสแกนเนอร์ที่ใช้ ในรูปมีประสิทธิภาพค่อนข้างสูงมาก สามารถรู้จุดหักมุมมีขนาดกึ่งองศา แล้วนำข้อมูลที่สแกนได้เหล่านั้นมาประมวลผลเป็นภาพโครงสร้าง 3 มิติออกมาได้ดังรูปที่ 1.2

เอกสารนี้เป็นเอกสารที่สงวนไว้สำหรับการใช้งานเพื่อการศึกษาเท่านั้น ไม่อนุญาตให้นำไปใช้ประโยชน์ด้านการค้าไม่ว่ากรณีใดๆ ทั้งสิ้น อีกทั้งห้ามมิให้ดัดแปลงเนื้อหา และต้องอ้างอิงถึงเจ้าของเอกสารทุกครั้งที่มีการนำไปใช้



รูปที่ 1.2 แสดงภาพ โครงสร้าง 3 มิติที่ได้จากการสแกน

ขั้นตอนต่อไปก็จะใช้เทคนิคทางด้านกราฟฟิกแต่งภาพ โครงสร้างนั้นตามจินตนาการ แล้วนำภาพที่แต่งแล้วนั้นไปสร้างเป็นตัวละครประหลาดออกมา ตามรูปที่ 1.3



รูปที่ 1.3 แสดงหุ่นจำลองของสัตว์ประหลาดที่สร้างมาจากภาพกราฟฟิก 3 มิติ

จากตัวอย่างที่ยกมา คงจะเห็นประโยชน์ของเครื่องสแกนเนอร์ 3 มิติแล้ว แต่ประโยชน์ของมันไม่ได้มีเพียงเท่านั้น เทคโนโลยีทางการแพทย์ก็ได้นำเอาหลักการสแกนนี้ไปใช้ด้วย เช่น MRI (Magnetic Resonance Image) ใช้ในการสแกนหัวกะโหลก เพื่อหาตำแหน่งของการผ่าตัดที่จะเอ็กซารีนเป็นเอกซารที่สงวนไว้สำหรับการใช้งานเพื่อการศึกษาเท่านั้น ไม่อนุญาตให้นำไปใช้ประโยชน์ด้านการค้าไม่ว่ากรณีใดๆ ทั้งสิ้น อีกทั้งห้ามมิให้ดัดแปลงเนื้อหา และต้องอ้างอิงถึงเจ้าของเอกสารทุกครั้งที่มีการนำไปใช้

กระทบกระเทือนต่อเนื่องเสมือนน้อยที่สุด หรือแม้แต่เทคโนโลยีทางอุตสาหกรรม เช่น CNC ก็ใช้การสแกนวัตถุจริงออกมาเป็นภาพโครงสร้าง 3 มิติ แล้วนำไปผลิตเป็นชิ้นส่วนออกมา

ที่กล่าวมาเป็นเพียงประโยชน์ส่วนหนึ่งเท่านั้น ยังมีเทคโนโลยีทางด้านอื่นอีกมากมายที่น่าเอาหลักการนี้ไปใช้ และโครงการนี้ก็จัดทำขึ้น เพื่อเป็นจุดเริ่มต้นของแนวความคิดเหล่านั้น ให้คนไทยได้รับรู้ และพัฒนาไปให้ถึงเทคโนโลยีตรงจุดนั้นให้สำเร็จ



เอกสารนี้เป็นเอกสารที่สงวนไว้สำหรับการใช้งานเพื่อการศึกษาเท่านั้น ไม่อนุญาตให้นำไปใช้ประโยชน์ด้านการค้า ไม่ว่าจะกรณีใดๆ ทั้งสิ้น อีกทั้งห้ามมิให้ดัดแปลงเนื้อหา และต้องอ้างอิงถึงเจ้าของเอกสารทุกครั้งที่มีการนำไปใช้

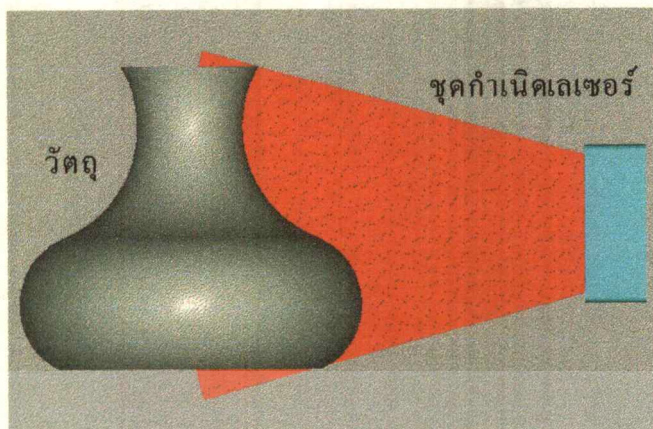
บทที่ 2

โครงสร้างของระบบโดยรวม

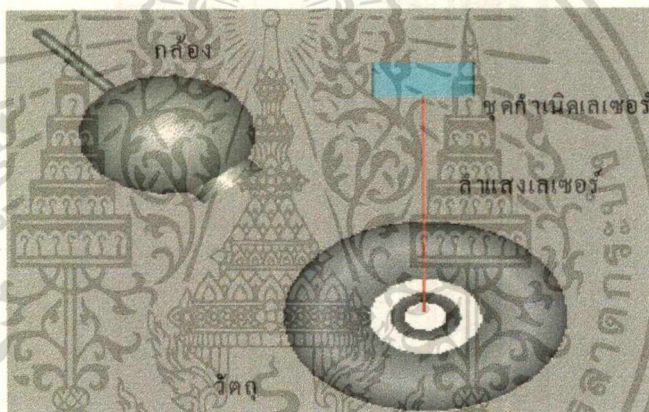
3D-SCANNER เป็นเครื่องมือที่ใช้ในการสแกนลักษณะ โครงสร้างภายนอกของวัตถุที่เรา มองเห็นกันอยู่ออกมาเป็นรูปโครงสร้าง 3 มิติแล้วแสดงออกมาทางหน้าจอคอมพิวเตอร์ โดยหลักการทำ งานของ 3D-SCANNER คือ การถ่ายภาพของวัตถุในแต่ละมุมจนครบรอบวัตถุโดยใช้กล้องวิดีโอแล้ว รวบรวมภาพที่ได้ครบ 1 รอบวัตถุนั้นเก็บไว้ในหน่วยความจำของ PC จากนั้นนำภาพที่เก็บทั้งหมดไป ประมวลผลภาพโดยใช้วิธีการ Image Processing ตำแหน่งของกล้องวิดีโอจะถูกควบคุมโดยสเตป มอเตอร์ ซึ่งการควบคุมสเตปมอเตอร์ก็จะถูกควบคุมผ่านทางการ์ดพอร์ทขนานที่ต่อกับ ISA SLOT ของเครื่องคอมพิวเตอร์ด้วย โดยวงจรของการ์ดพอร์ทขนานที่ต่อควบคุมการทำงานของสเตปมอเตอร์ นั้น ได้ถูกต่อแยกอิสระจากวงจรขับเคลื่อนมอเตอร์โดยใช้ Opto-Isolator เพื่อไม่ให้เกิดการรบกวนกัน และเพื่อป้องกันความเสียหายที่อาจจะเกิดขึ้นกับเครื่องคอมพิวเตอร์ได้

ส่วนประกอบของ 3D-SCANNER ที่สำคัญ ได้แก่ แท่นวางวัตถุสำหรับสแกน แชนยีคกล้อง วิดีโอ แชนยีคเลเซอร์ การ์ดพอร์ทขนาน สเตปมอเตอร์และวงจรขับเคลื่อนมอเตอร์ ซึ่งรายละเอียด และการออกแบบในแต่ละส่วนจะแสดงไว้ในบทต่อไป

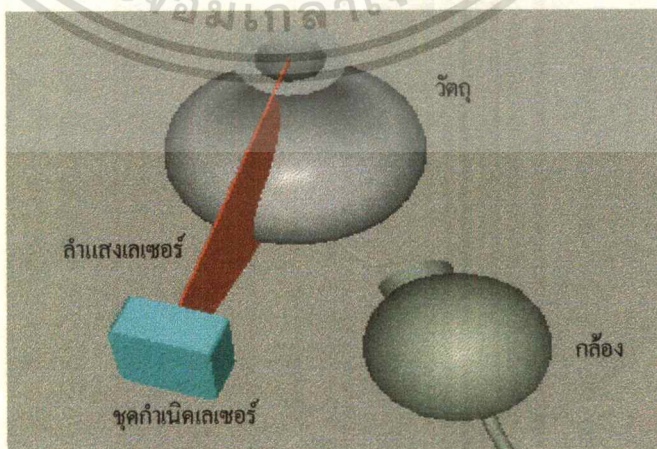
ในการนำภาพที่ได้ไปประมวลผลภาพนั้นเพื่อให้กระทำได้ง่ายจึงใช้แสง Laser ยิงไปตก กระทบที่ผิวของวัตถุในแนวแกนตั้งตามความสูงของวัตถุเพื่อให้เกิดขอบของภาพแล้วทำการหมุน วัตถุไปในมุมต่างๆจนครบรอบวัตถุ ซึ่งถ้าจัดตำแหน่งของกล้องในทิศทางตั้งฉากกับชุดกำเนิดเลเซอร์ แล้วภาพที่ได้จากกล้องวิดีโอนั้นจะไม่เห็นขอบของภาพซึ่งเกิดจากแสง Laser ที่ยิงไป ดังนั้นในการ จัดตำแหน่งของอุปกรณ์นี้ สิ่งสำคัญคือเราต้องจัดวางตำแหน่งของกล้องและชุดกำเนิด Laser ให้ทำ มุมกันอย่างเหมาะสม ดังแสดงในรูป 2.1-2.4



รูป 2.1 แสดงแสงเลเซอร์ที่ถูกส่งจากแหล่งกำเนิดไปสู่วัตถุมองจากด้านข้าง

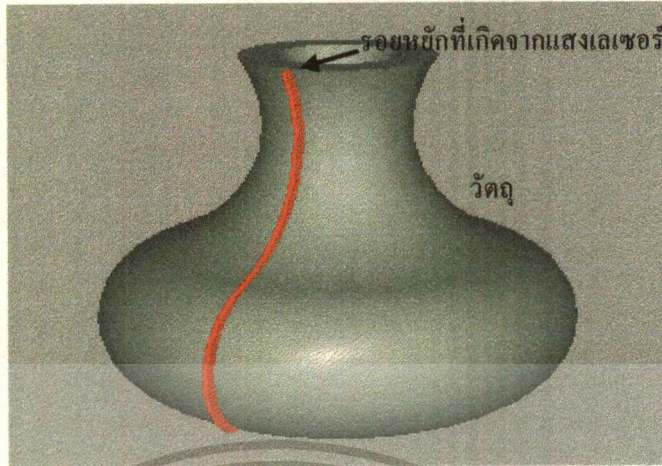


รูป 2.2 แสดงตำแหน่งของกล้อง ชุดกำเนิดเลเซอร์ วัตถุมองจากด้านบน

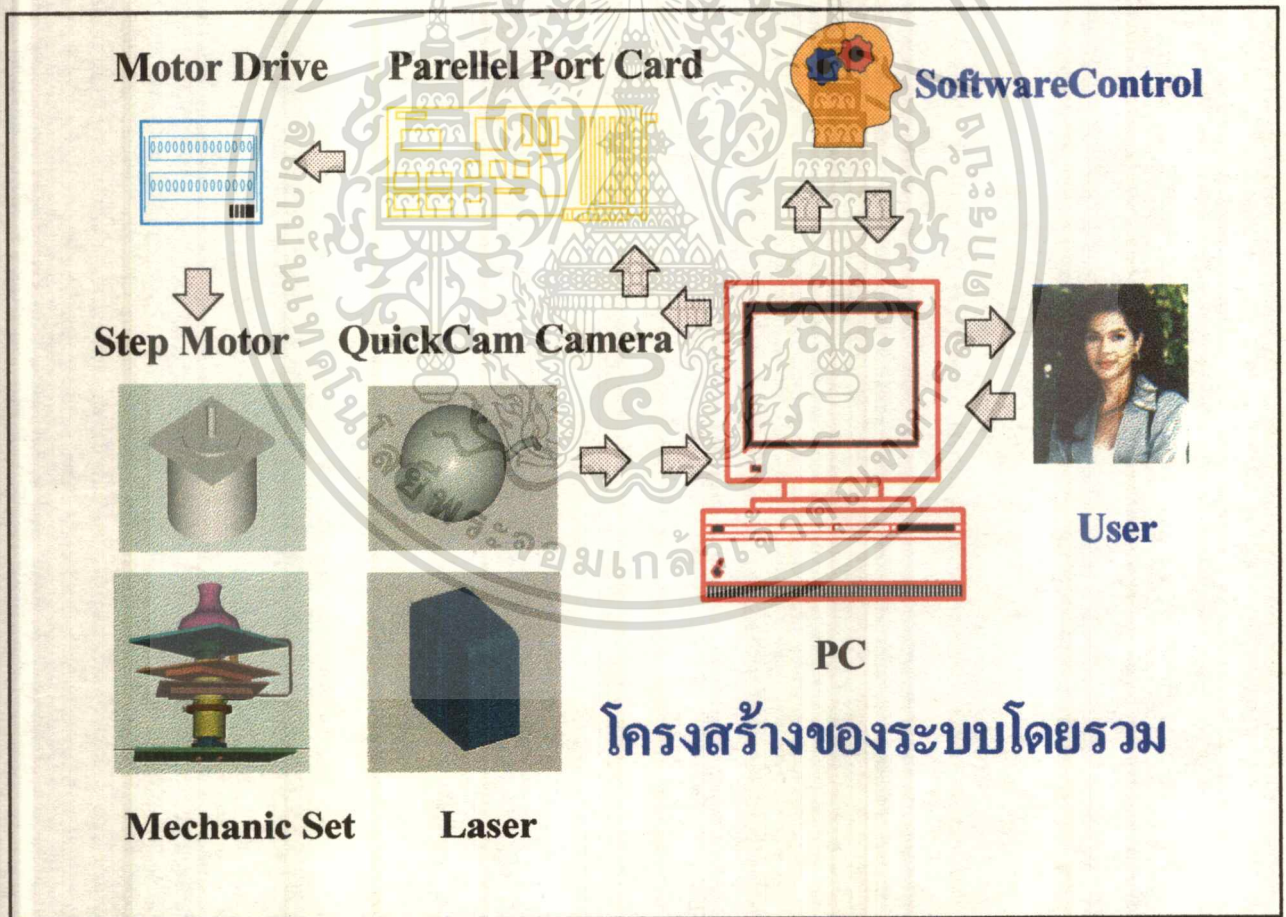


รูป 2.3 แสดงตำแหน่งของเลเซอร์และกล้องในการใช้งานจริง

เอกสารนี้เป็นเอกสารที่สงวนไว้สำหรับการใช้งานเพื่อการศึกษาเท่านั้น ไม่อนุญาตให้นำไปใช้ประโยชน์ด้านการค้า
ไม่ว่ากรณีใดๆ ทั้งสิ้น อีกทั้งห้ามมิให้ตัดแปลงเนื้อหา และต้องอ้างอิงถึงเจ้าของเอกสารทุกครั้งที่มีการนำไปใช้



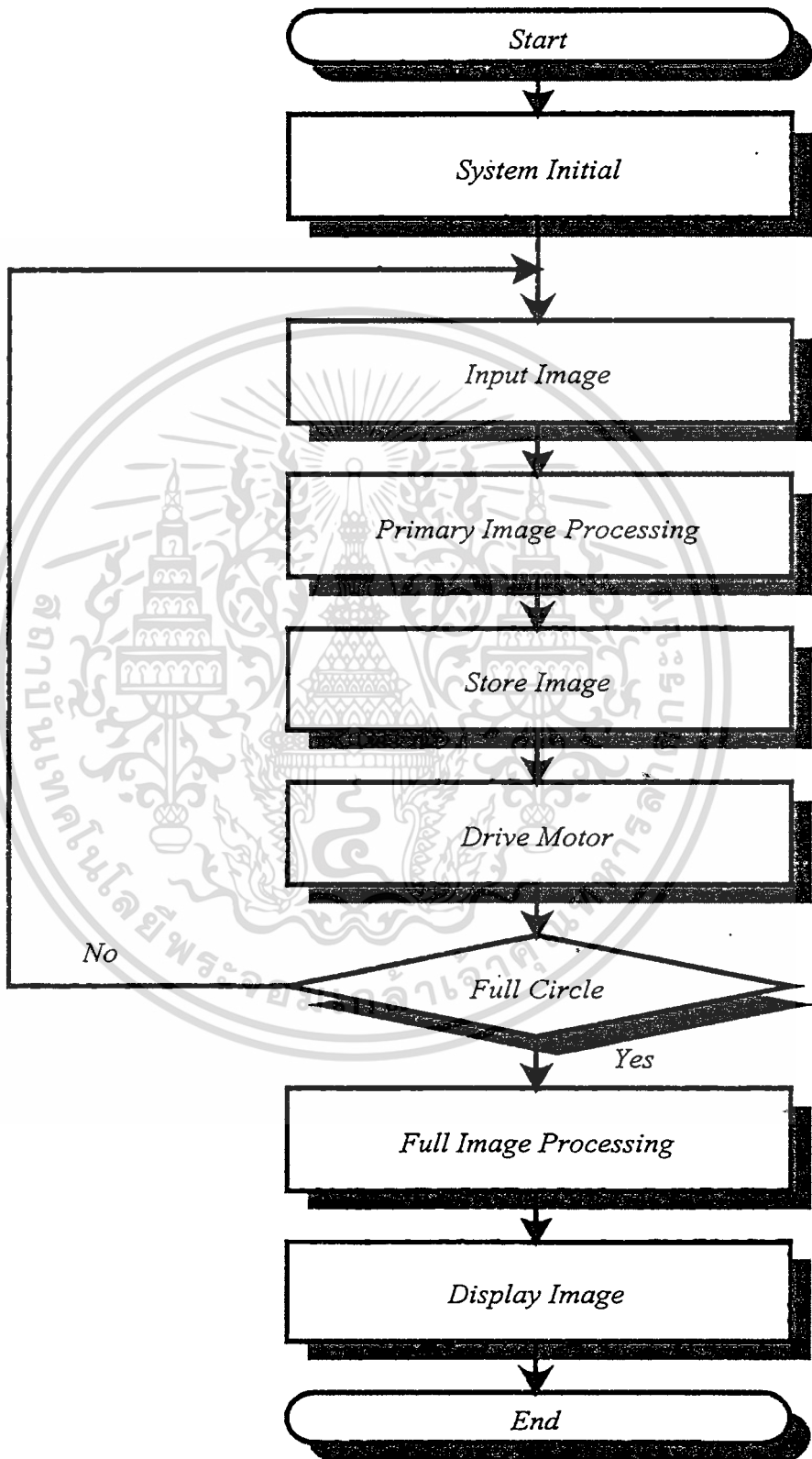
รูป 2.4 แสดงภาพที่กล้องรับมาเมื่อมีการยิงเลเซอร์



รูป 2.5 แสดงโครงสร้างของระบบโดยรวม

เอกสารนี้เป็นเอกสารที่สงวนไว้สำหรับการใช้งานเพื่อการศึกษาเท่านั้น ไม่อนุญาตให้นำไปใช้ประโยชน์ด้านการค้าไม่ว่ากรณีใดๆ ทั้งสิ้น อีกทั้งห้ามมิให้ดัดแปลงเนื้อหา และต้องอ้างอิงถึงเจ้าของเอกสารทุกครั้งที่มีการนำไปใช้

2.1 หลักการของระบบโดยรวม



รูปที่ 2.6 แสดงหลักการทำงานของระบบโดยรวม

เอกสารนี้เป็นเอกสารที่สงวนไว้สำหรับการใช้งานเพื่อการศึกษาเท่านั้น เมื่ออนุญาตให้นำไปใช้ประโยชน์ด้านการค้าไม่ว่ากรณีใดๆ ทั้งสิ้น อีกทั้งห้ามมิให้ดัดแปลงเนื้อหา และต้องอ้างอิงถึงเจ้าของเอกสารทุกครั้งที่มีการนำไปใช้

1) System Initial

เป็นขั้นตอนทาง Software ที่ทำหน้าที่ติดต่อกับผู้ใช้งานโดยสามารถทำงานบน windows ได้ โดยจะให้ผู้ใช้กำหนด parameter ต่างๆของระบบดังนี้

- ความละเอียดของภาพ
- รูปแบบในการจัดเก็บภาพ
- การแก้ไขและเปลี่ยนแปลงภาพบางส่วน

ซึ่งข้อมูลจากส่วนนี้จะถูกเก็บไว้และนำไปใช้ในขั้นตอนต่อไป

2) Input Image

เป็นการรับภาพผ่านกล้อง quick cam ซึ่งถูกควบคุมด้วย software ภาพที่ได้จะเป็นภาพของวัตถุที่มุมใดๆซึ่งจะมองเห็นเฉพาะส่วนของวัตถุที่มี Laser มากระทบเท่านั้น แล้วนำภาพที่ได้ส่งต่อไปในส่วนถัดไป

3) Primary Image Process

เป็นการนำภาพที่ได้จาก Input Image ประมวลผลเพื่อเลือกเอาส่วนที่ใช้งานไว้ (ซึ่งเราต้องการเฉพาะส่วนที่เป็นเส้นของ Laser ไว้เท่านั้น) และกำจัดส่วนของภาพที่ไม่ต้องการออกไป เช่น noise หรือ รายละเอียดของภาพที่ไม่ต้องการซึ่งจะใช้ Image Processing แบบ noise rejection และ thresholding

4) Store Image

นำภาพที่ผ่านการทำ Primary Image Process ในทุกๆมุมของการหมุนกล้องมาเก็บรวบรวมเอาไว้ด้วยกัน เพื่อรอการนำไปสร้างเป็นภาพ 3 มิติ ในขั้นตอนต่อไป

5) Drive motor

จะสั่งงานโดย software ให้หมุน motor เพื่อหมุนกล้องไปตามองศาที่กำหนดไว้ โดยจะถูกหมุนจนครบ 1 รอบ ซึ่งจะได้ image ในทุกองศาที่ต้องการ

6) Full Image Processing

เป็นของ software ที่จะนำข้อมูลภาพทั้งหมดที่ได้จากการถ่ายภาพวัตถุจนครบ 1 รอบแล้ว มาสร้างเป็นภาพ 3 มิติ ซึ่งส่วนนี้ทั้งหมดจะทำในตอนที่ 2 ดังนั้นวิธีและขั้นตอนในการเขียน software สำหรับเทอมนี้อยู่ในขั้นศึกษาและทดลอง

7) Display Image

เป็นส่วนจัดเก็บภาพ 3 มิติที่ได้จากขั้นตอนที่แล้วในรูปแบบต่างๆและแสดงภาพในรูปแบบต่างๆ ออกมารวมทั้งการประยุกต์ใช้กับระบบกราฟฟิคอื่นๆ

บทที่ 3

ทฤษฎีพื้นฐานและหลักการทำงานของสเตปมอเตอร์

3.1 คุณลักษณะทั่วไป

สเตปมอเตอร์ คือ อุปกรณ์ที่เคลื่อนที่เป็นสเตปโดยการกระตุ้นด้วยวิธีการทางแม่เหล็กไฟฟ้า ซึ่งเปลี่ยนสัญญาณดิจิทัลอินพุทซึ่งเป็นพัลส์ไปเป็นการเคลื่อนที่แบบนาฬิกาที่เอาท์พุท สเตปมอเตอร์บางครั้งถูกเรียกว่า สเตปปิ้งมอเตอร์ หรือ สเตปเปอร์มอเตอร์ที่ได้สมญานามเช่นนี้ก็เพราะว่า สเตปมอเตอร์เป็นอุปกรณ์ซึ่งเคลื่อนที่เมื่อถูกกระตุ้นโดยโวลต์เตจหรือกระแส ซึ่งโดยมากจะเป็นไฟฟ้ากระแสตรง เอาท์พุทของสเตปมอเตอร์จะมีจำนวนเท่ากับจำนวนของคำสั่ง อินพุทซึ่งมีลักษณะเป็นพัลส์ โดยเมื่อป้อนกระแสให้กับสเตปมอเตอร์แล้วสเตปมอเตอร์จะมีการเคลื่อนที่เพิ่มขึ้น 1 สเตป

สเตปมอเตอร์มีมาประมาณ 40 กว่าปีมาแล้ว สมัยก่อนการใช้งานสเตปมอเตอร์มีประสิทธิภาพต่ำสู่อีมอเตอร์และดีซีมอเตอร์ไม่ได้ แต่เมื่อไม่นานมานี้ได้มีการนำดิจิทัลคอมพิวเตอร์เข้ามาใช้จึงได้เปลี่ยนรูปแบบการควบคุมสเตปมอเตอร์ใหม่ โดยใช้การควบคุมด้วยไมโครโปรเซสเซอร์หรือไมโครคอนโทรลเลอร์ซึ่งจะช่วยให้ใช้งานสเตปมอเตอร์ได้สะดวกขึ้นและมีประโยชน์ในการใช้สอยมากขึ้น ในปัจจุบันนี้สเตปมอเตอร์ได้ถูกนำมาใช้ในอุปกรณ์ที่ใช้ในการควบคุมเชิงเลข (NUMERICAL CONTROL) การควบคุมกระบวนการ (PROCESS CONTROL) และการควบคุมอุปกรณ์ทางเครื่องกล (MACHINE TOOL CONTROL) เป็นต้น

การควบคุมการทำงานของสเตปมอเตอร์โดยทั่วไปใช้วงจรรีบ ซึ่งให้สเตปมอเตอร์ตอบสนองต่อสัญญาณพัลส์ซึ่งทำให้มอเตอร์เคลื่อนที่เป็นจังหวะต่อเนื่องกันไป การเคลื่อนที่ลักษณะเช่นนี้ก่อให้เกิดการอสซิลเลทระหว่างสเตปของการเคลื่อนที่ทำให้สเตปมอเตอร์สั่นระหว่างใช้งาน การแก้ปัญหาดังกล่าวกระทำได้ด้วยวิธีการแดมป์ (DAMPING METHODS) ของสเตปมอเตอร์ ซึ่งวิธีการแก้ปัญหาตามลักษณะเฉพาะของมอเตอร์แต่ละตัว

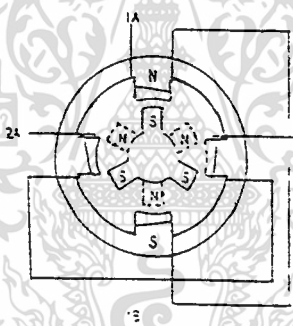
อีกแนวทางหนึ่งที่ใช้ในการแก้ไขปัญหาของการติดต่อร์หว่างคอมพิวเตอร์กับมอเตอร์ ก็คือการใช้มอเตอร์ที่ง่ายต่อการควบคุม โดยคอมพิวเตอร์ สเตปมอเตอร์เป็นมอเตอร์ที่เหมาะสมสำหรับงานเช่นนี้มากเพราะ มันสามารถควบคุมให้หมุนได้โดยใช้สภาวะเพียง 2 สถานะ คือ ON และ OFF ซึ่งสัญญาณที่ว่านี้เครื่องคอมพิวเตอร์สามารถสร้างขึ้นอย่างง่ายดาย

สเตปมอเตอร์มีขดลวดอยู่หลายขด โดยที่แต่ละขดถูกควบคุมการจ่ายกระแสโดยสัญญาณ ON-OFF ทำให้สามารถควบคุมตำแหน่งในการเคลื่อนที่ได้ครบไคที่ยังไม่เกิดการเกินกำลัง (OVERLOAD) ครบนั้นมันยังคงรักษาตำแหน่งเดิม จนกระทั่งมีการกระตุ้นโดยสัญญาณควบคุมการจ่ายกระแสอีกครั้ง และเนื่องจากสเตปมอเตอร์สามารถควบคุมตำแหน่งได้โดยการส่งสัญญาณกระตุ้น

ทำให้ไม่จำเป็นต้องใช้ตัววัดตำแหน่ง (ENCODER) ในการทำงาน ข้อเสียที่สำคัญของ สเตปมอเตอร์ ก็คือ มีข้อจำกัดด้านความเร็วเมื่อเปรียบเทียบกับ DC SERVO MOTOR ที่มีขนาดเท่ากันและยังมีการสั่นสะเทือน (VIBRATION) สูงทำให้การเคลื่อนที่เป็นไปอย่างไม่ราบเรียบ

3.2 หลักการทำงานของสเตปมอเตอร์

สเตปมอเตอร์สามารถแบ่งโครงสร้างทางกายภาพได้เป็น 2 ส่วน คือ สเตเตอร์ (STATOR) และ โรเตอร์ (ROTOR) ตัวสเตเตอร์เป็นส่วนที่อยู่กับที่ ประกอบด้วยขดลวดทองแดงซึ่งพันอยู่รอบแกนเหล็ก เพื่อสร้างสนามแม่เหล็กเมื่อมีการจ่ายกระแสผ่านขดลวด ส่วน โรเตอร์เป็นส่วนที่เคลื่อนที่มีลักษณะเป็นแท่งเหล็กทรงกลม และที่ผิวรอบนอกมีลักษณะเป็นซีกฟันซึ่งทำจากแม่เหล็กถาวร ดังรูป 3.1

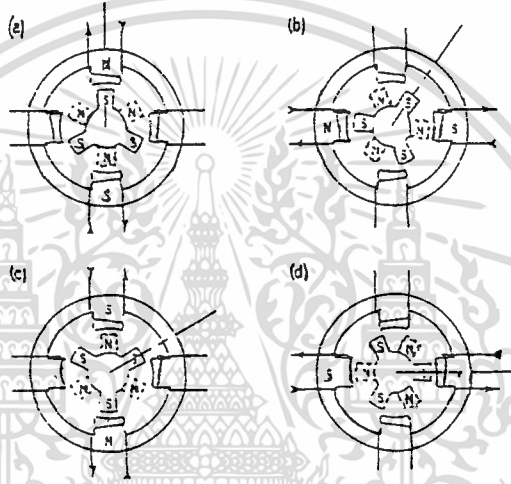


รูป 3.1 แสดง โครงสร้างของไฮบริดจ์สเตปมอเตอร์ที่มีจำนวนสเตปต่อรอบเท่ากับ 12

เมื่อยังไม่มีการจ่ายกระแสให้กับขดลวดของมอเตอร์ ซีกฟันอันใดอันหนึ่งของโรเตอร์จะอยู่ในตำแหน่งที่ตรงกันกับซีกฟันอันใดอันหนึ่งของสเตเตอร์ ทั้งนี้เพราะแม่เหล็กถาวรที่ตัวของโรเตอร์พยายามที่จะทำให้ค่าความต้านทานทางแม่เหล็กไฟฟ้า (RELUCTANCE) มีค่าน้อย ที่สุด ซึ่งณ จุดที่ซีกฟันของตัวโรเตอร์และสเตเตอร์ตรงกันนั้น มีค่าความต้านทานทางแม่เหล็กไฟฟ้าน้อยที่สุด ทำให้เกิดเส้นแรงแม่เหล็กไฟฟ้ามากที่สุด. และจากรูปที่ 3.1 เส้นแรงแม่เหล็กไฟฟ้าจะทำให้เกิดขั้วแม่เหล็กเหนือและใต้ขึ้นมา 2 คู่ ทั้งที่ตัวสเตเตอร์และตัวโรเตอร์ ดังรูป ค่าทอร์ก (TORQUE) ที่ทำให้ตัวโรเตอร์สามารถยึดอยู่ในตำแหน่งดังกล่าวนี้เรียกว่า ดีเท็นทอร์ก (DETENT TORQUE) (หมายความว่า การที่จะทำให้มอเตอร์เคลื่อนที่ในขณะที่ ไม่ได้จ่ายกระแสให้กับขดลวดของมอเตอร์จะต้องออกแรงมากกว่าค่าของดีเท็นทอร์ก จึงจะทำให้โรเตอร์เริ่มเคลื่อนที่ได้) รูป 3.1 นั้นมี 12 ตำแหน่งที่สามารถ

เอกลกเกิดดีเท็นทอร์กได้ วนไว้สำหรับการใช้งานเพื่อการศึกษาเท่านั้น ไม่อนุญาตให้นำไปใช้ประโยชน์ด้านการค้า ไม่ว่ากรณีใดๆ ทั้งสิ้น อีกทั้งห้ามมิให้คัดแปลงเนื้อหา และต้องอ้างอิงถึงเจ้าของเอกสารทุกครั้งที่มีการนำไปใช้

เมื่อจ่ายกระแสให้กับขดลวดที่อยู่ในสเตเตอร์คู่ใดคู่หนึ่ง ดังรูป 3.2(a) จะทำให้เกิดขั้วแม่เหล็กเหนือและใต้ที่ซีกฟันของตัวสเตเตอร์ ซึ่งจะดึงดูดซีกฟันของตัวโรเตอร์ที่มีขั้วแม่เหล็กที่มีศักย์ต่างกันที่อยู่ใกล้ที่สุดเข้าไป ตำแหน่งนี้เรียกว่า สเตเบิลโพสิชัน (STABLE POSITION) ของโรเตอร์ จะมีจำนวนตำแหน่งเท่ากับจำนวนซีกฟันของโรเตอร์ และแรงที่จะทำให้โรเตอร์เปลี่ยนตำแหน่งไปจากตำแหน่งสเตเบิลโพสิชันได้นี้เรียกว่า โฮลดิ้ง ทอร์ก (HOLDING TORQUE)

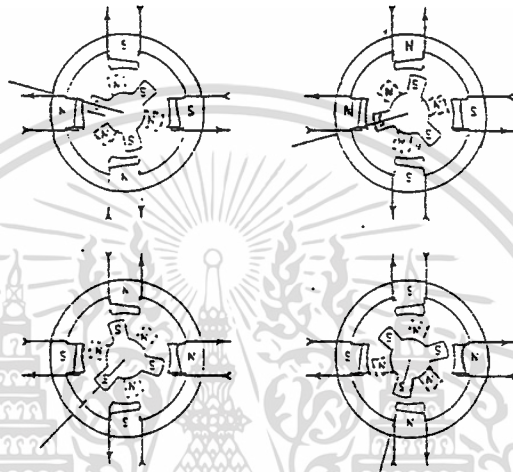


รูป 3.2 แสดงขั้นตอนการทำงานของสเตปมอเตอร์แบบ เต็มสเตปหนึ่งเฟส

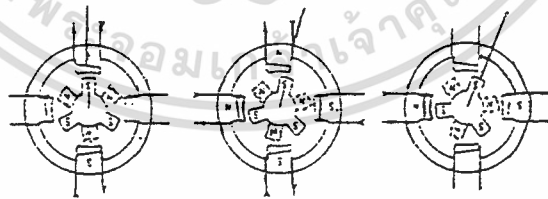
เมื่อสับเปลี่ยนการจ่ายกระแสให้แก่ขดลวด จากขดหนึ่งไปอีกขดหนึ่งเนื่องจากขดลวด วางอยู่ในตำแหน่งที่ต่างกัน 90° ก็จะทำให้ตัวสเตเตอร์ดึงดูดซีกฟันของตัวโรเตอร์อีกซีกหนึ่งที่ใกล้ที่สุดเข้าไป ซึ่งจะทำให้โรเตอร์เคลื่อนที่ไป 1 สเตปหรือ 30° ดังรูปที่ 3.2(b) จากนั้นก็เปลี่ยนไปจ่ายกระแสให้กับขดลวดชุดแรกโดยในคราวนี้เปลี่ยนทิศทางการไหลของกระแสให้ตรงข้ามกับครั้งแรก ซึ่งจะทำให้ตัวโรเตอร์เคลื่อนที่ไปอีก 1 สเตป (เคลื่อนที่ไป 30°) ดังรูปที่ 3.2(c) หลังจากนั้นก็ไปจ่ายกระแสให้กับขดลวดชุดที่สองโดยกลับทิศทางการกระแสที่ป้อนให้อีกเช่นกัน ทำให้โรเตอร์หมุนไป 90° ดังรูป 3.2(d) และถ้าหากเราป้อนกระแสให้กับมอเตอร์เหมือนที่เราป้อนในครั้งแรกแล้ว ซีกฟันซีกถัดไปของตัวโรเตอร์จะอยู่ในตำแหน่งที่เหมือนกับในรูปที่ 3.2 (a) อีกครั้งหนึ่ง ถ้าหากเราต้องการเคลื่อนที่หนึ่งรอบ เราต้องทำการกระตุ้นให้มอเตอร์เคลื่อนที่ไปจนครบ 12 สเตป และถ้าต้องการให้โรเตอร์หมุนไปอีกทิศทางหนึ่ง ก็ทำการสลับลำดับในการจ่ายกระแส จากรูปที่ 3.2 (a) , (b) ,(c) และ (d) ไปเป็น (a) , (d), (c) และ (b) ตามลำดับ

เอกสารนี้เป็นเอกสารที่สงวนไว้สำหรับการใช้งานเพื่อการศึกษาเท่านั้น ไม่อนุญาตให้นำไปใช้ประโยชน์ด้านการค้า ไม่ว่ากรณีใดๆ ทั้งสิ้น อีกทั้งห้ามมิให้ดัดแปลงเนื้อหา และต้องอ้างอิงถึงเจ้าของเอกสารทุกครั้งที่มีการนำไปใช้

ถ้าจ่ายกระแสให้แก่ขดลวดทั้งสองขดพร้อมๆ กัน ชีกฟันของโรเตอร์จะอยู่ ณ ตำแหน่งระหว่างชีกฟันของสเตเตอร์ เพราะฉะนั้นการจ่ายกระแสให้แก่มอเตอร์แบบนี้จะให้ทอร์คมากกว่าแบบที่จ่ายกระแสในเวลาขณะใดขณะหนึ่งเพียงขดเดียว ดังรูปที่ 3.3 ซึ่งแสดงถึงการป้อนกระแสให้กับขดลวดแต่ละขดเพื่อให้สเตปมอเตอร์เคลื่อนที่



รูปที่ 3.3 แสดงขั้นตอนการทำงานของสเตปมอเตอร์แบบเต็มสเตปสองเฟส



รูปที่ 3.4 แสดงขั้นตอนการทำงานของสเตปมอเตอร์แบบครึ่งสเตป

แต่ถ้าในตอนแรกจ่ายกระแสให้กับขดลวดพร้อมๆกันสองขด การทำอย่างนี้สลับกันไปจะทำให้โรเตอร์เคลื่อนที่ไปสเตปละ 15° ดังรูปที่ 3.4 และในการขับเคลื่อนแบบนี้จะทำให้สเตปต่อรอบ (STEP/REV) เพิ่มขึ้นเป็นเท่าตัว การขับสเตปมอเตอร์แบบนี้เรียกว่า การขับแบบครึ่งสเตป (HALF STEPPING) ซึ่งนิยมใช้กันในงานอุตสาหกรรมเป็นอย่างมาก แม้ว่าในบางครั้งจะให้ทอร์คน้อยกว่า

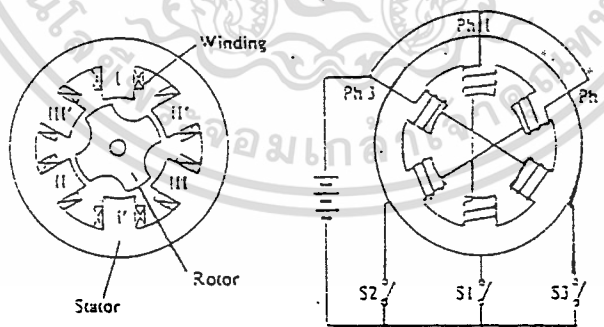
แต่มีข้อดีว่าการขับเคลื่อนเต็มสเตป (FULL STEPPING) ก็คือ การเคลื่อนที่เป็นไปอย่างราบเรียบ (ที่ความเร็วไม่สูงนัก) อีกทั้งมีความแม่นยำสูงและการสั่นสะเทือนน้อยกว่า

3.3 ชนิดของสเตปมอเตอร์

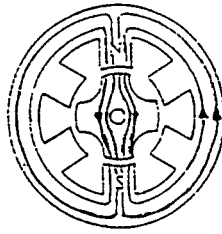
สเตปมอเตอร์สามารถแบ่งออกได้หลายชนิดตามลักษณะโครงสร้างและการใช้งาน ดังต่อไปนี้

1) สเตปมอเตอร์ชนิดปรับค่ารีลัคแตนซ์ได้ (VARIABLE RELUCTANCE STEPPING MOTOR)

สเตปมอเตอร์ชนิดนี้สามารถปรับค่ารีลัคแตนซ์ได้ ซึ่งรูปที่ 3.5 แสดงภาพตัดขวางของ สเตปมอเตอร์แบบ 3 เฟส โดยที่สเตเตอร์มีฟันทั้งหมด 6 ซี่ ซึ่งที่อยู่ตรงข้ามกันหรือทำมุม 180° ซึ่งกันและกันจะเป็นเฟสเดียวกัน ขดลวดที่พันอยู่ที่ฟันของสเตเตอร์ในแต่ละเฟสจะต่ออนุกรมหรือขนานก็ได้ จากรูปที่ 3.5 เป็นการต่อแบบอนุกรม ส่วนโรเตอร์นั้นมีฟัน 4 ซี่ ทั้งโรเตอร์และ สเตเตอร์ทำมาจากโลหะ ซิลิกอน ซึ่งมีสภาพซึมซับทางแม่เหล็กสูงและยอมให้สนามแม่เหล็กจำนวนมากไหลผ่านได้ ฟันของสเตเตอร์ในเฟสเดียวกันจะมีขั้วต่างกัน โดยซี่ฟัน I, II, III เป็นขั้วเหนือและซี่ I', II', III' เป็นขั้วใต้หลังจากถูกกระตุ้น



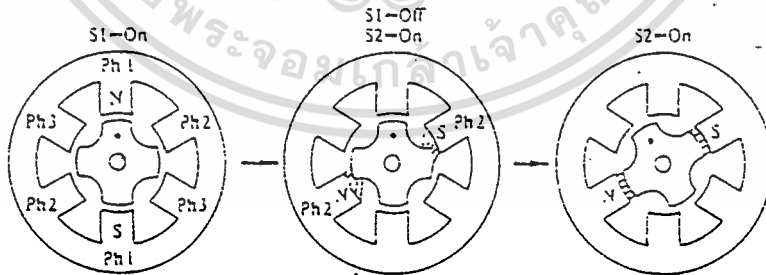
รูปที่ 3.5 แสดงภาพตัดขวางของสเตปมอเตอร์แบบ 3 เฟส



รูปที่ 3.6 แสดงตำแหน่งสมดุขั้ว เมื่อเฟสใดเฟสหนึ่งของสเตปมอเตอร์ถูกกระตุ้น



รูปที่ 3.7 แสดงแรงภายนอกที่มีผลต่อเส้นแรงแม่เหล็ก



รูปที่ 3.8 แสดงขั้นตอนการเคลื่อนที่ของโรเตอร์เมื่อสเตปมอเตอร์ถูกกระตุ้น

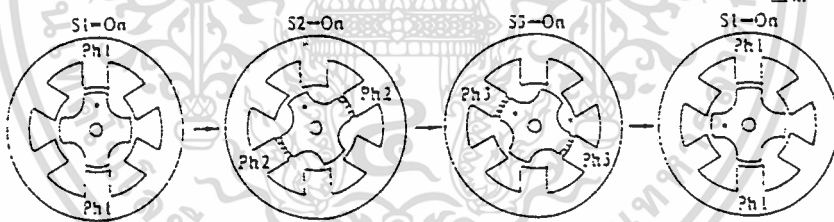
กระแสที่ไหลในแต่ละเฟสถูกควบคุมโดยสวิตช์ ปิด/ เปิด ถ้าเฟส I ถูกกระตุ้นจะมี กระแสไหลและเกิดฟลักซ์แม่เหล็กดังแสดงในรูปที่ 3.6 แกน โรเตอร์จะอยู่ตำแหน่งเดียวกับซี่ I และ I' ทำให้ทั้งโรเตอร์และสเตเตอร์อยู่ในแนวเดียวกัน กรณีนี้จะทำให้ค่ารีลักแตนซ์มีค่าน้อยที่สุดซึ่งเป็น

ตำแหน่งที่สมดุล ถ้าโรเตอร์ถูกกระทำจากแรงภายนอกจะทำให้เปลี่ยนตำแหน่ง ดังรูปที่ 3.7 แรงบิดกระทำกับ โรเตอร์ในทิศตามเข็มนาฬิกาทำให้ตำแหน่งเปลี่ยนไป มีผลทำให้เส้นแรงแม่เหล็กเคลื่อนที่จากซี่ของโรเตอร์และสเตเตอร์ เมื่อโรเตอร์และสเตเตอร์ไม่ได้อยู่ในแนวเดียวกันแล้วค่ารีลัคแตนซ์จะมีค่ามาก จากนั้นสเตปมอเตอร์จะทำตัวให้มีค่ารีลัคแตนซ์น้อยที่สุด การย้ายจากมุมที่เกิดการกระตุ้นแต่ละครั้งให้กลับไปยังตำแหน่งเดิมเรียกว่า สเตป

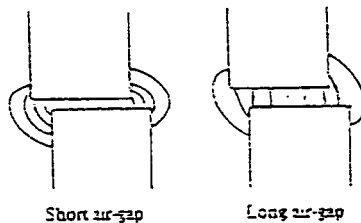
1.1 คุณสมบัติพื้นฐานของสเตปมอเตอร์แบบปรับค่ารีลัคแตนซ์

1. ช่องว่าง (AIR GAP) ต้องมีขนาดเล็กที่สุด

ช่องว่างระหว่างฟันของโรเตอร์และสเตเตอร์ต้องเล็กที่สุดเท่าที่จะเป็นไปได้เพื่อให้ทอร์ค ที่เกิดขึ้นมีค่ามากและมีความแม่นยำทางตำแหน่งมากขึ้น รูปที่ 3.10 แสดงการเปรียบเทียบระหว่างช่องว่างที่กว้างและแคบในขณะที่แหล่งกำเนิดสนามแม่เหล็กแหล่งเดียวกันหรือมีระดับความแรงเท่ากัน ช่องอากาศที่เล็กจะให้ทอร์คมากกว่าและทำให้เคลื่อนที่จากจุดสมดุลน้อยกว่าช่องว่างขนาดใหญ่เมื่อมีแรงบิดจากภายนอกมากระทำต่อโรเตอร์



รูปที่ 3.9 แสดงขั้นตอนการเคลื่อนที่ของสเตปมอเตอร์

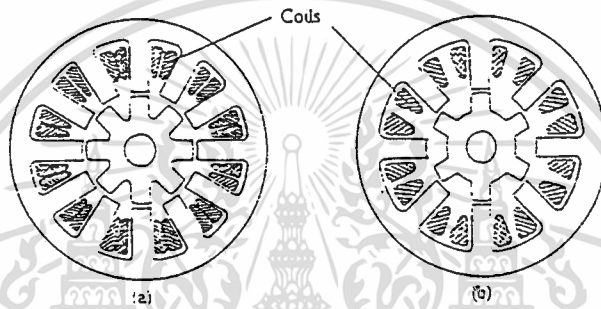


รูปที่ 3.10 แสดงการเปรียบเทียบเส้นแรงแม่เหล็กระหว่างช่องว่างที่กว้างและแคบ

เอกสารนี้เป็นเอกสารที่สงวนไว้สำหรับการใช้งานเพื่อการศึกษาเท่านั้น ไม่อนุญาตให้นำไปใช้ประโยชน์ด้านการค้า ไม่ว่ากรณีใดๆ ทั้งสิ้น อีกทั้งห้ามมิให้ดัดแปลงเนื้อหา และต้องอ้างอิงถึงเจ้าของเอกสารทุกครั้งที่มีการนำไปใช้

2. มุมของการสเตปแคบ

คุณสมบัติอีกประการของสเตปคือจะต้องมีมุมของการสเตปเล็กที่สุดเท่าที่จะเป็นไปได้ มุมที่แสดงในรูปที่ 3.6 ยังไม่ถือว่าเป็นมุมที่เล็ก แต่รูปที่ 3.11 (a) แสดงมอเตอร์ 3 เฟสซึ่งมีจำนวนฟันของโรเตอร์และสเตเตอร์เป็น 2 เท่าของรูปที่ 3.6 ส่วนรูปที่ 3.11(b)แสดงมอเตอร์ 4 เฟส มุมของการสเตปของทั้ง 2 โครงสร้างนี้เท่ากับ 15° นอกจากนี้ยังมีบางชนิดที่มีมุมของการสเตป 7.5° โดยฟันของโรเตอร์และสเตเตอร์มี 12 และ 16 ซี่ตามลำดับ



รูปที่ 3.11 (a) แสดงมอเตอร์ 3 เฟส และ รูปที่ 3.11 (b) แสดงมอเตอร์ 4 เฟส

ความสัมพันธ์ของมุมของการสเตป θ_s , มุมเฟส m , จำนวนซี่ฟันของโรเตอร์ N_r , จำนวนสเตป S แสดงดังสมการ

$$S = 360/\theta_s = mN_r$$

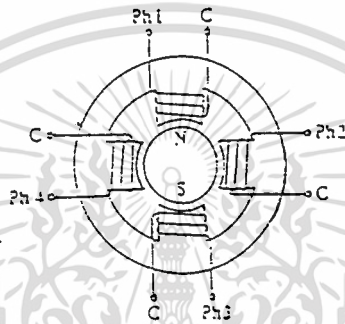
เพื่อที่จะลดขนาดของมุมที่สเตปลงต้องเพิ่มจำนวนซี่ฟันของโรเตอร์โดยที่โครงสร้างของแต่ละขั้วของเฟสใดๆ สเตเตอร์จะมีหลายซี่ฟัน แต่ก็ไม่ใช่ขั้วประกอบโดยตรงที่จะกำหนดมุมของสเตปมอเตอร์

3. การสร้างสเตปมอเตอร์ให้มีโครงสร้างหลายสเตคเพื่อเพิ่มประสิทธิภาพ

โครงสร้างของสเตปมอเตอร์แบบนี้จะมี 1 เฟส โดยที่โรเตอร์และสเตเตอร์มีซี่ฟัน เหมือนกัน ซึ่งจะเป็นการเพิ่มประสิทธิภาพในด้านทอร์กต่อหน่วยปริมาตรของโรเตอร์

2) สเตปมอเตอร์แบบแม่เหล็กถาวร

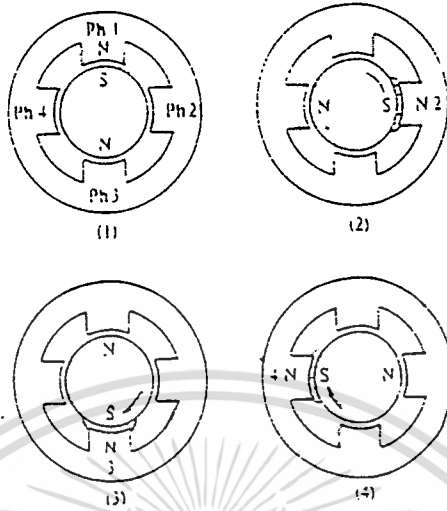
สเตปมอเตอร์ชนิดนี้ใช้แม่เหล็กถาวรเป็นโรเตอร์ และมีซี่ฟันของสเตเตอร์ล้อมรอบ ซี่ฟันของสเตเตอร์ถูกพันด้วยขดลวดสำหรับสร้างสนามแม่เหล็ก เมื่อต้องการให้สเตปมอเตอร์แบบแม่เหล็กถาวรมีขนาดมุมของสเตปเล็กลงจะต้องเพิ่มซี่แม่เหล็กของโรเตอร์และจำนวนซี่ฟันของ สเตเตอร์แต่ก็มีขีดจำกัดในการเพิ่มจำนวนซี่แม่เหล็กของ โรเตอร์ เนื่องจากการสร้างแม่เหล็กถาวรสร้างให้มีโครงสร้างโดยมีซี่แม่เหล็กหลายซี่ทำได้ยาก



รูปที่ 3.12 แสดง โครงสร้างของสเตปมอเตอร์แบบแม่เหล็กถาวร

ตัวอย่างการทำงานของสเตปมอเตอร์แบบแม่เหล็กถาวร สมมติว่าสเตปมอเตอร์แบบ แม่เหล็กถาวรขนาด 4 เฟส มีโรเตอร์เป็นแม่เหล็กถาวรทรงกระบอกและสเตเตอร์มี 4 ซี่ฟันซึ่งรอบๆฟันด้วยขดลวด มีรูปแบบพื้นฐานของการทำงานคือ เมื่อสร้างสัญญาณกระตุ้นตามลำดับเฟส โรเตอร์จะหมุนไปตามทิศทางของการกระตุ้น ดังแสดงในรูปที่ 3.13

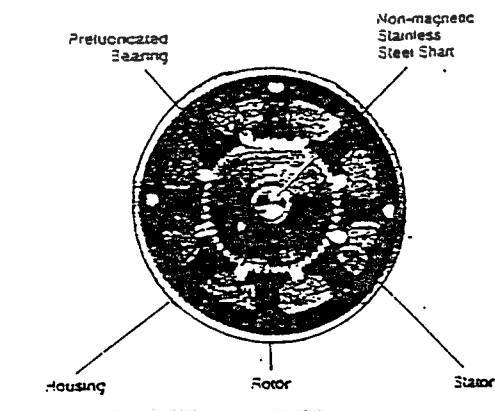
ข้อเสียของสเตปมอเตอร์แบบแม่เหล็กถาวรคือ มีขนาดมุมสเตปใหญ่ทำให้ความละเอียดของสเตปต่อรอบน้อยเนื่องจากโครงสร้างของโรเตอร์เป็นแม่เหล็กถาวร การสร้างแม่เหล็กถาวรให้มีซี่หลายซี่ทำได้ยากทำให้ไม่สามารถสร้างสเตปขนาดเล็กได้ สเตปมอเตอร์แบบแม่เหล็กถาวรส่วนใหญ่จะมีโครงสร้างขนาดเล็ก ทำให้ค่าทอร์กที่ได้ต่อหน่วยต่อปริมาตรต่ำ ถ้าต้องการปรับปรุงประสิทธิภาพในเรื่องของทอร์ก แม่เหล็กถาวรที่ใช้ต้องทำจากสารแม่เหล็กที่มีสภาพ ความเป็นแม่เหล็กสูง



รูปที่ 3.13 แสดงการทำงานของสเตปมอเตอร์แบบแม่เหล็กถาวรขนาด 4 เฟส

3) สเตปมอเตอร์แบบไฮบริดจ์

สเตปมอเตอร์ชนิดนี้มีแกน โรเตอร์เป็นแม่เหล็กถาวร โดยมีการทำงานร่วมกันของมอเตอร์แบบแม่เหล็กถาวรและมอเตอร์แบบปรับค่ารีลักแตนซ์ได้ ไฮบริดจ์สเตปมอเตอร์นี้มีโครงสร้างของสเตเตอร์คล้ายกับ โครงสร้างของสเตปมอเตอร์แบบปรับค่ารีลักแตนซ์ได้ แต่ต่างกันที่การต่อขดลวด โดยที่แต่ละเฟสของสเตปมอเตอร์แบบปรับค่ารีลักแตนซ์ได้จะมีขดลวด 2 ขด แต่แต่ละขดมีขั้วต่างกัน แต่ไฮบริดจ์สเตป มอเตอร์ขดลวดทั้งสองจะพันอยู่ที่ขั้วเดียวกัน เรียกว่า ไบ โพลาร์ (BIPOLAR) ซึ่งในการกระตุ้นแต่ละครั้งจะให้ขั้วที่แตกต่างกัน



รูปที่ 3.14 แสดงโครงสร้างของไฮบริดจ์สเตปมอเตอร์

เอกสารนี้เป็นเอกสารที่สงวนลิขสิทธิ์ของมหาวิทยาลัยเทคโนโลยีพระจอมเกล้าเจ้าคุณทหารลาดกระบัง ไม่อนุญาตให้นำไปใช้ประโยชน์ด้านการค้า ไม่ว่ากรณีใดๆ ทั้งสิ้น อีกทั้งห้ามมิให้คัดแปลงเนื้อหา และต้องอ้างอิงถึงเจ้าของเอกสารทุกครั้งที่มีการนำไปใช้



3.1 คุณสมบัติที่สำคัญของไฮบริดจ์สเตปมอเตอร์

โครงสร้างของมอเตอร์จะมีแม่เหล็กถาวรอยู่ตรงกลางระหว่างเฟสทั้งสอง การเหนี่ยวนำสนามแม่เหล็กทำได้โดยใช้สนามแม่เหล็กซึ่งสร้างจากสเตเตอร์ซึ่งเป็นสนามแม่เหล็กแบบเฮเทอโรโพลาร์ (HETEROPOLAR FIELD) ดังนั้นทอร์กเกิดจากการทำงานร่วมกันของสนามแม่เหล็ก 2 ชนิด คือ สนามจากแม่เหล็กถาวรและสนามแม่เหล็กเหนี่ยวนำที่เกิดจากการกระตุ้นของขดลวดแต่ละขด โครงสร้างของซี่ฟันของสเตเตอร์จะใหญ่กว่าซี่ฟันของโรเตอร์เล็กน้อยเพื่อเพิ่มความถูกต้องแม่นยำทางตำแหน่งของการเคลื่อนที่

หลักการทำงานของไฮบริดจ์สเตปมอเตอร์ที่แตกต่างจากสเตปมอเตอร์แบบแปรค่ารีลักแตนซ์ได้คือแรงบิดที่เกิดขึ้นจากสนามแม่เหล็กจะไม่ขึ้นอยู่กับกระแสที่ไหลผ่านขดลวดเพียงอย่างเดียวแต่ขึ้นอยู่กับโครงสร้างของซี่ฟันด้วย ซึ่งซี่ฟันถูกออกแบบเพื่อให้ได้โครงสร้างขนาดเล็ก และใช้แม่เหล็กถาวรเป็นแกนกลางเพื่อลดผลของการออสซิลเลททางแมคคานิกส์

ข้อดีของไฮบริดจ์สเตปมอเตอร์คือมีขนาดสเตปขนาดเล็กมีความละเอียดของสเตปต่อรอบสูง มีค่าทอร์กสูงกว่าสเตปมอเตอร์แบบแปรค่ารีลักแตนซ์ได้ แต่สเตปมอเตอร์แบบแปรค่ารีลักแตนซ์ได้มีแรงเฉื่อยทางแมคคานิกส์น้อยกว่าไฮบริดจ์สเตปมอเตอร์

นอกจากสเตปมอเตอร์ทั้ง 3 ชนิดที่กล่าวมาแล้วยังมีสเตปมอเตอร์ อื่นๆที่ไม่ได้กล่าวถึงอีกเช่น ลิเนียร์สเตปมอเตอร์ ซึ่งเป็นมอเตอร์ที่ได้รับการออกแบบให้มีการเคลื่อนที่แบบเป็นเชิงเส้น อิเล็กทรอนิกส์ไฮครอลิสเตปมอเตอร์ซึ่งเป็นสเตปมอเตอร์กำลังสูงที่ใช้ในงานอุตสาหกรรม เป็นต้น

3.4 การ Control Step Motor

วิธีการควบคุมการทำงานของสเตปมอเตอร์โดยการกระตุ้นเฟสมือ 3 วิธี คือ

1) การกระตุ้นแบบซิงเกิลเฟส (Single Phase Excitation)

เป็นการกระตุ้นแบบเฟสเดียวตามสัญญาณพัลส์ที่ป้อนเข้ามาที่ชุดขับสเตปมอเตอร์ ดังนี้

| PHASE | PULSE. | | | | | | | |
|-------|--------|---|---|---|---|---|---|---|
| A | 1 | 0 | 0 | 0 | 1 | 0 | 0 | 0 |
| B | 0 | 1 | 0 | 0 | 0 | 1 | 0 | 0 |
| C | 0 | 0 | 1 | 0 | 0 | 0 | 1 | 0 |
| D | 0 | 0 | 0 | 1 | 0 | 0 | 0 | 1 |

2) การกระตุ้นแบบสองเฟส (Two Phase Excitation)

เป็นการกระตุ้นแบบที่ละสองเฟสคู่พร้อมกัน ดังนี้

| PHASE | PULSE | | | | | | | |
|-------|-------|---|---|---|---|---|---|---|
| A | 1 | 0 | 0 | 1 | 1 | 0 | 0 | 1 |
| B | 1 | 1 | 0 | 0 | 1 | 1 | 0 | 0 |
| C | 0 | 1 | 1 | 0 | 0 | 1 | 1 | 0 |
| D | 0 | 0 | 1 | 1 | 0 | 0 | 1 | 1 |

3) การกระตุ้นแบบครึ่งสเตป (Half Step Excitation)

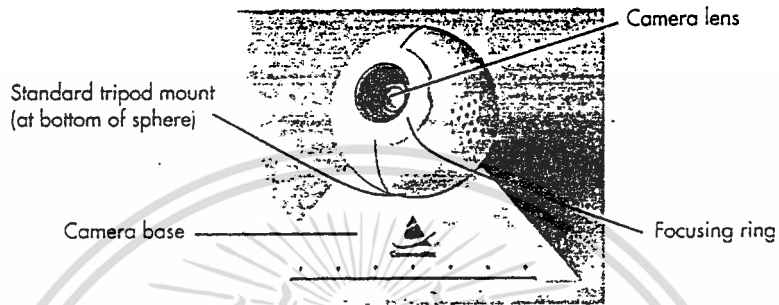
เป็นการรวมรูปแบบการหมุนของทั้งสองแบบไว้ในแบบเดียวกัน

| PHASE | PULSE | | | | | | | |
|-------|-------|---|---|---|---|---|---|---|
| A | 1 | 1 | 0 | 0 | 0 | 0 | 0 | 1 |
| B | 0 | 1 | 1 | 1 | 0 | 0 | 0 | 0 |
| C | 0 | 0 | 0 | 1 | 1 | 1 | 0 | 0 |
| D | 0 | 0 | 0 | 0 | 0 | 1 | 1 | 1 |

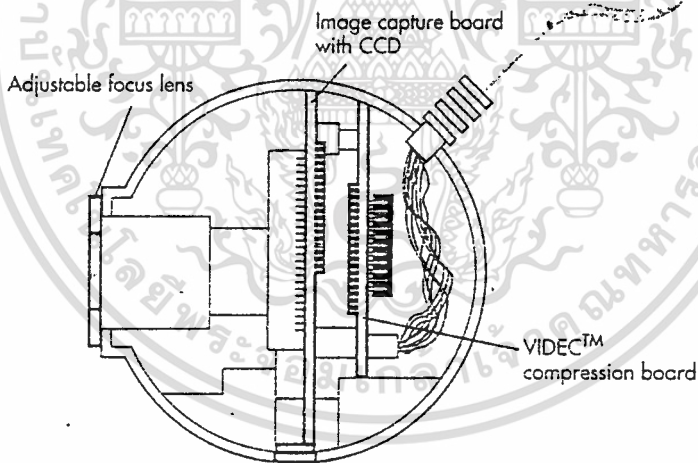
วิธีการกระตุ้นเฟสทั้ง 3 แบบนี้จะมีคุณสมบัติที่แตกต่างกัน ดังนั้นการเลือกวิธีการกระตุ้นจึงจำเป็นต้องพิจารณาเพื่อให้เหมาะสมกับงานนั้นๆ การกระตุ้นแบบเฟสเดียว จะเป็นแบบที่มีความเที่ยงตรงของตำแหน่งสูง แต่จะมีแรงบิด (Torque) น้อย ส่วนการกระตุ้นแบบ 2 เฟส มีความเที่ยงตรงของตำแหน่งน้อยกว่าแบบแรก แต่มีแรงบิดสูงกว่าและการกระตุ้นแบบครึ่งสเตปเป็นแบบที่มีความเที่ยงตรงของตำแหน่งน้อยมาก แต่จะมีแรงบิดสูงมากเช่นกัน

บทที่ 4

กล้อง Color Quick Cam



รูปที่ 4.1 แสดงลักษณะภายนอกของกล้อง Color Quick Cam



รูปที่ 4.2 แสดงลักษณะภายในของกล้อง Color Quick Cam

4.1 สิ่งที่ต้องมีในการใช้งานกล้อง Color Quick Cam ได้แก่

- เครื่อง PC ตั้งแต่รุ่น 486 ขึ้นไป
- Microsoft Windows 3.1, Windows for Workgroups 3.11, หรือ Windows 95
- หน่วยความจำ 8 MB สำหรับ Windows 3.1 หรือ 12 MB สำหรับ Windows 95
- Video for Windows 1.1e หรือ สูงกว่านั้น (รวมการติดตั้ง)

เอกสารนี้เป็นเอกสารที่สงวนลิขสิทธิ์หรือสงวนชื่อผู้จัดทำ (สงวนลิขสิทธิ์) กรุณาอย่าเผยแพร่โดยไม่ได้รับอนุญาตให้นำไปใช้ประโยชน์ด้านการค้า
ไม่ว่ากรณีใดๆ ทั้งสิ้น อีกทั้งห้ามมิให้ดัดแปลงเนื้อหา และต้องอ้างอิงถึงเจ้าของเอกสารทุกครั้งที่มีการนำไปใช้

- พอร์ทขนาน 1 พอร์ท โดยพอร์ทเป็นแบบทิศทางเดียว(unidirectional) หรือ 2 ทิศทาง (bidirectional)
- หน่วยความจำในฮาร์ดดิสก์ 2 MB สำหรับซอฟต์แวร์ ของกล้อง Color Quick Cam
- หน่วยความจำในฮาร์ดดิสก์อย่างน้อย 5 MB สำหรับสร้างภาพเคลื่อนไหว
- หน่วยความจำในฮาร์ดดิสก์ 350 KB สำหรับภาพ 24 bit color(640×480พิกเซล) หรือ ประมาณ 80KB สำหรับภาพ 320 × 240 พิกเซลในJPEG
- ไมโครโฟนสำหรับการบันทึกเสียงในภาพแบบ movie
- Sound Card ซึ่ง compatible กับ Windows

4.2 คุณสมบัติพิเศษของกล้อง Color Quick Cam

- ให้ภาพที่มีความละเอียด 640 × 480 พิกเซล 24 bit color
- frame rate 30 fps (เปลี่ยนแปลงได้ตามขนาดของ windows และ PC)
- ได้รับไฟเลี้ยงจากคีย์บอร์ดด้วยกำลังไฟอย่างน้อย 2 วัตต์
- ปรับโฟกัสได้จาก 1 นิ้วถึงอินฟินิตี้ maximum len speed = f/1.6

4.3 ความสามารถของกล้อง Color Quick Cam

1) เก็บภาพเคลื่อนไหวใน PC

การใช้งานกล้อง Color Quick Cam นั้นเป็นวิธีที่ง่ายและประหยัดวิธีหนึ่งในการเก็บภาพเคลื่อนไหวไว้ใน PC ทำให้สามารถที่จะติดต่อสื่อสารกัน โดยแสดงภาพเคลื่อนไหวได้และสามารถหลีกเลี่ยงปัญหาในขั้นตอนการติดตั้ง Hardware , การซื้อ video board ที่แพง หรือการศึกษาถึงวิธีการใช้งาน การใช้กล้อง Color Quick Cam นั้นจะช่วยให้เราสามารถที่จะ capture ภาพได้ง่ายและทำการตัดแปลงแก้ไขได้ด้วย

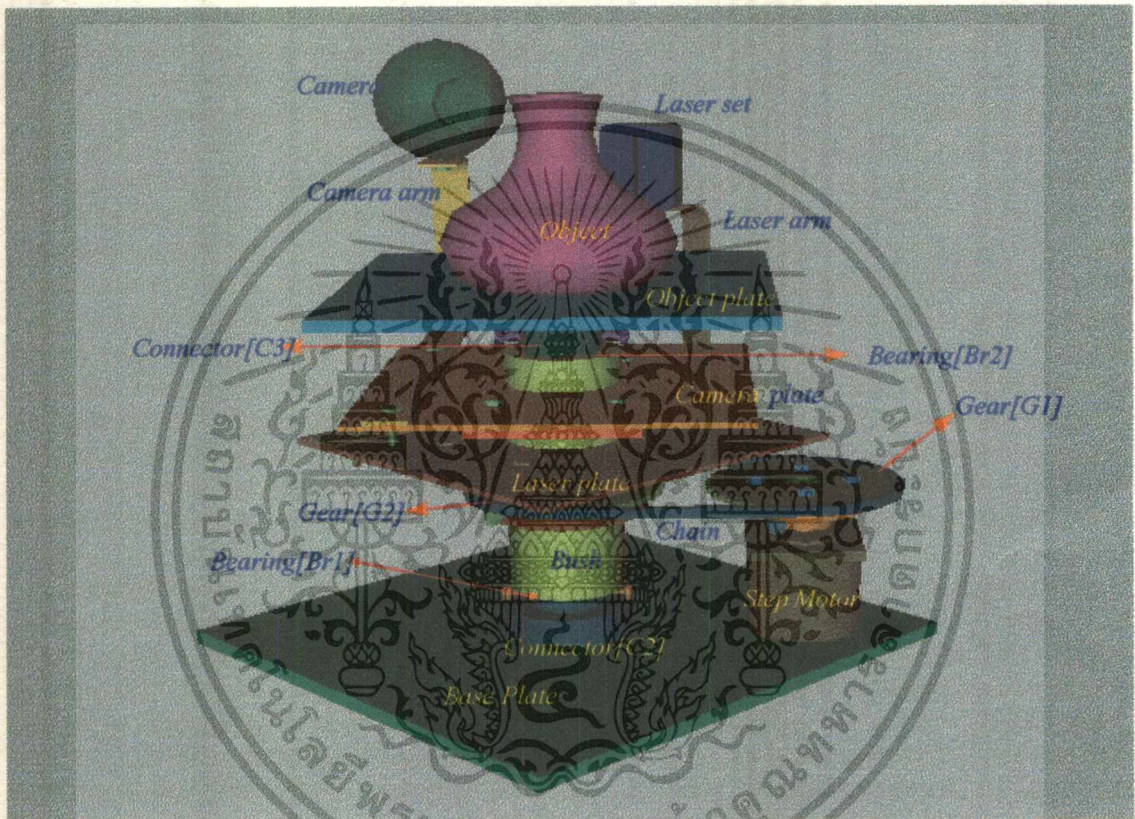
2) เก็บภาพนิ่งใน PC

กล้อง Color Quick Cam มี Software ที่ทำให้สามารถบันทึกภาพนิ่งให้อยู่ในรูปแบบ BMP, TIFF หรือ JPEG ซึ่งสามารถนำมาประมวลผลใน Word Processing , Page Layout , การ Present งาน หรือ โปรแกรม Graphics ซึ่งภาพนิ่งเหล่านั้นสามารถนำไปใช้ในการบอกตำแหน่ง , การใช้ในงานพิมพ์ Graphicsที่ต้องการคุณภาพสูง เช่น จดหมาย หรือ เอกสารสำคัญต่างๆ

บทที่ 5

ชุดทดลองต้นแบบ

5.1 โครงสร้างและส่วนประกอบของเครื่อง 3D-SCANNER



รูปที่ 5.1 โครงสร้างและส่วนประกอบโดยรวมของชุดทดลองต้นแบบ(ด้านหน้า)

5.2 หลักการทำงาน

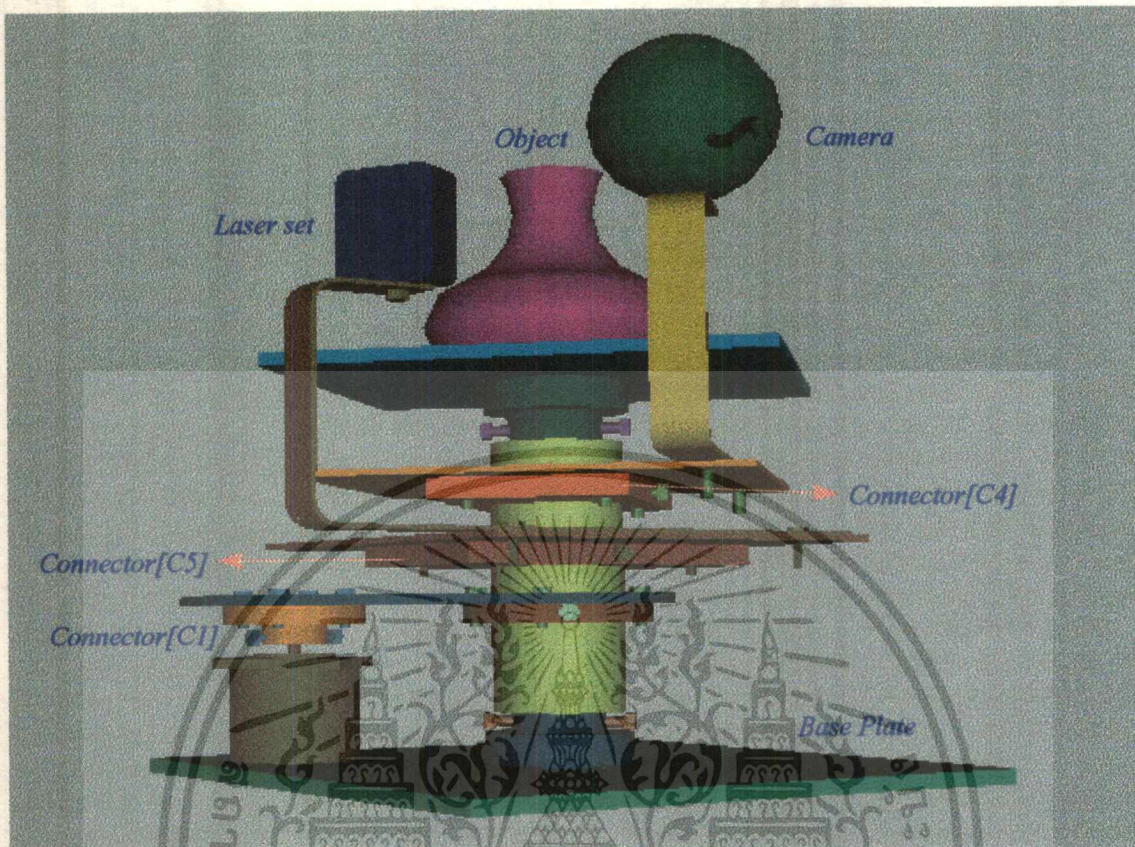
- ดันกำลังหลักของระบบหมุนกลิ้งนี้จะเป็น Motor แบบ Stepping ซึ่งจะถูกสั่งงานจาก PC
- กำลังจาก Motor จะส่งผ่าน Gear [G1] ผ่านโซ่ (Chain) ไปสู่ Gear[G2] โดยมีอัตราทดเป็น

1:1

- ส่วนที่ไม่มีการเคลื่อนที่คือ แผ่นรองวัตถุ (Object plate) จะถูกยึดติดกับเพลากลาง (Shaft) โดยผ่าน C3

-เพลากลางจะถูกยึด ติดกับฐาน (Base Plate) ผ่าน C2 ซึ่งทำให้ส่วนนี้ไม่มีการหมุนเช่นกัน

เอกสารนี้เป็นเอกสารที่สงวนไว้สำหรับการใช้งานเพื่อการศึกษาเท่านั้น ไม่นิยมนำไปใช้ประโยชน์ด้านการค้า ไม่ว่ากรณีใดๆ ทั้งสิ้น อีกทั้งห้ามมิให้ตัดแปลงเนื้อหา และต้องอ้างอิงถึงเจ้าของเอกสารทุกครั้งที่มีการนำไปใช้



รูปที่ 5.2 โครงสร้างและส่วนประกอบโดยรวมของชุดทดลองต้นแบบ(ด้านหลัง)

- แผ่นรองวัตถุ (Object plate) , Shaft , Base plate, C2 และ C3 นั้นจะทำหน้าที่รองรับน้ำหนักของวัตถุ นอกจากนี้ เพลากลาง (Shaft) ยังทำหน้าที่เป็นแกนกลางในการหมุนของกล้ออีกด้วย

- ปลอก (Bush) จะยึดติดกับเพลากลาง Shaft โดยใช้ Bearing [Br1 และ Br2] และสามารถหมุนได้อิสระจากเพลากลาง (Shaft)

- ปลอก [Bush] จะยึดติดกับ Gear [G2] ซึ่งจะหมุนตามการทำงานของ Motor

- ชุดขายึดกล้อจะเป็นแผ่นรอง [Camera plate] ยึดติดกับปลอก [Bush] โดยผ่านตัวยึด [C4] และแผ่นรองก็จะยึดติดกับแขนยึดกล้อ [Camera arm]

- ชุดขายึดเลเซอร์จะเป็นแผ่นรอง [Laser plate] ยึดติดกับปลอก [Bush] โดยผ่านตัวยึด [C5] และแผ่นรองก็จะยึดติดกับแขนยึดเลเซอร์ [Laser arm]

ดังนั้น ตัวกล้อและตัวเลเซอร์จะหมุนตามการทำงานของ Motor แต่วัตถุจะอยู่กับที่

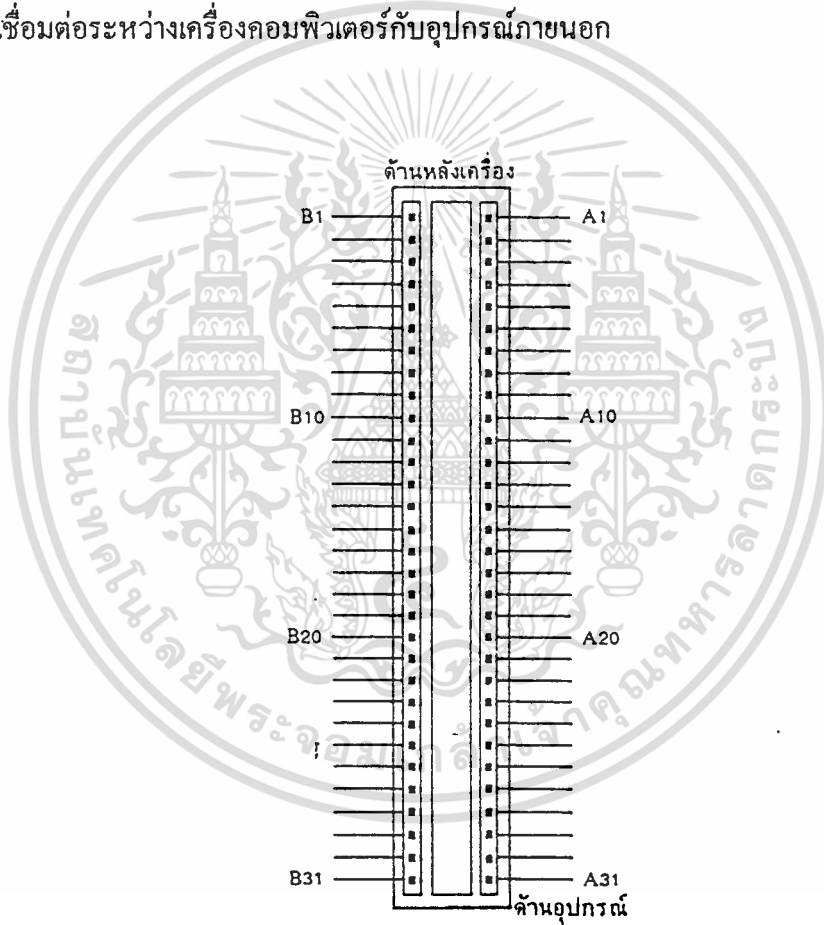
บทที่ 6

การควบคุมการหมุน Stepping Motor

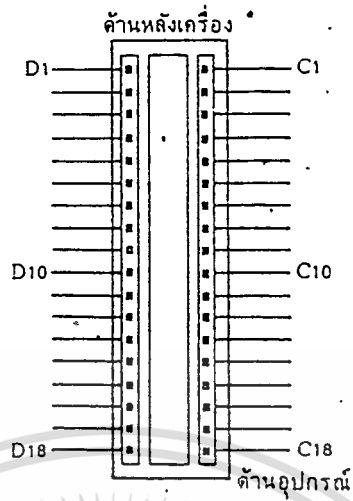
เนื่องจาก Parallel port ของ PC ถูกใช้ไปแล้วโดยกล้อง quick cam ดังนั้นการควบคุม Stepping Motor จึงจำเป็นต้องใช้ Address ของ port ใหม่ ดังนั้นจึงจำเป็นต้องสร้างการ์ดขึ้นมา

6.1 ISA slot

ที่เครื่องคอมพิวเตอร์นั้นจะมีช่องเสียบที่เรียกว่า Slot PC โดยการเอา card มาเสียบที่ Slot นี้ เพื่อเป็นการเชื่อมต่อระหว่างเครื่องคอมพิวเตอร์กับอุปกรณ์ภายนอก



รูปที่ 6.1 แสดงการนับขาของ slot แบบ 62 ขา



รูปที่ 6.2 แสดงการนับขาของ slot แบบ 36 ขา



ตารางที่ 6.1 แสดงชื่อของสัญญาณขาต่างๆของ slot

| ขาอินพุต | ชื่อสัญญาณ | อินพุต/เอาต์พุต |
|----------|-------------|-----------------|
| A1 | -I/O CH CK | I |
| A2 | SD7 | I/O |
| A3 | SD6 | I/O |
| A4 | SD5 | I/O |
| A5 | SD4 | I/O |
| A6 | SD3 | I/O |
| A7 | SD2 | I/O |
| A8 | SD1 | I/O |
| A9 | SD0 | I/O |
| A10 | -I/O CH RDY | I |
| A11 | AEN | O |
| A12 | SA19 | I/O |
| A13 | SA18 | I/O |
| A14 | SA17 | I/O |
| A15 | SA16 | I/O |
| A16 | SA15 | I/O |
| A17 | SA14 | I/O |
| A18 | SA13 | I/O |
| A19 | SA12 | I/O |
| A20 | SA11 | I/O |
| A21 | SA10 | I/O |
| A22 | SA9 | I/O |
| A23 | SA8 | I/O |
| A24 | SA7 | I/O |
| A25 | SA6 | I/O |
| A26 | SA5 | I/O |

ตารางที่ 6.1 ต่อ

| ขาอินพุท | ชื่อสัญญาณ | อินพุท/เอาต์พุท |
|----------|------------|-------------------|
| A27 | SA4 | I/O |
| A28 | SA3 | I/O |
| A29 | SA2 | I/O |
| A30 | SA1 | I/O |
| A31 | SA0 | I/O |
| B1 | GND | กราวด์ |
| B3 | +5 Vdc | แหล่งจ่ายไฟเลี้ยง |
| B4 | IRQ9 | I |
| B5 | -5 Vdc | แหล่งจ่ายไฟเลี้ยง |
| B6 | DRQ2 | I |
| B7 | -12 Vdc | แหล่งจ่ายไฟเลี้ยง |
| B8 | IOWS | I |
| B9 | +12 Vdc | แหล่งจ่ายไฟเลี้ยง |
| B10 | GND | กราวด์ |
| B11 | -SMEMW | O |
| B12 | -SMEMR | O |
| B13 | -IOW | I/O |
| B14 | -IOR | I/O |
| B15 | -DACK3 | O |
| B16 | DRQ3 | I |
| B17 | -DACK1 | O |
| B18 | -Refresh | I/O |
| B19 | CLK | O |
| B20 | IRQ7 | I |
| B21 | IRQ6 | I |
| B22 | IRQ5 | I |

ตารางที่ 6.1-ต่อ

| ขาอินพุท | ชื่อสัญญาณ | อินพุท/เอาต์พุท |
|----------|------------|-------------------|
| B23 | IRQ5 | I/O |
| B24 | IRQ4 | I/O |
| B25 | IRQ3 | I/O |
| B26 | -DACK2 | O |
| B27 | T/C | O |
| B28 | BALE | O |
| B29 | + 5 Vdc | แหล่งจ่ายไฟเลี้ยง |
| B30 | OSC | O |
| B31 | GND | กราวด์ |
| C1 | SBHE | I/O |
| C2 | LA23 | I/O |
| C3 | LA22 | I/O |
| C4 | LA21 | I/O |
| C5 | LA20 | I/O |
| C6 | LA19 | I/O |
| C7 | LA18 | I/O |
| C8 | LA17 | I/O |
| C9 | -MEMR | I/O |
| C10 | -MEMW | I/O |
| C11 | SD08 | I/O |
| C12 | SD09 | I/O |
| C13 | SD10 | I/O |
| C14 | SD11 | I/O |
| C15 | SD12 | I/O |
| C16 | SD13 | I/O |
| C17 | SD14 | I/O |

เอกสารนี้เป็นเอกสารที่สงวนไว้สำหรับการใช้งานเพื่อการศึกษาเท่านั้น ไม่อนุญาตให้นำไปใช้ประโยชน์ด้านการค้า
ไม่ว่ากรณีใดๆ ทั้งสิ้น อีกทั้งห้ามมิให้คัดแปลงเนื้อหา และต้องอ้างอิงถึงเจ้าของเอกสารทุกครั้งที่มีการนำไปใช้

ตารางที่ 6.1 ต่อ

| ขาอินพุท | ชื่อสัญญาณ | อินพุท/เอาต์พุท |
|----------|------------|-------------------|
| C18 | IRQ5 | I/O |
| D1 | IRQ4 | I |
| D2 | IRQ3 | I |
| D3 | IRQ10 | I |
| D4 | IRQ11 | I |
| D5 | IRQ12 | I |
| D6 | IRQ15 | I |
| D7 | IRQ14 | I |
| D8 | -DACK | O |
| D9 | DRQ0 | I |
| D10 | -DACK5 | O |
| D11 | DRQ5 | I |
| D12 | -DACK6 | O |
| D13 | DRQ6 | I |
| D14 | -DACK7 | O |
| D15 | DRQ7 | I |
| D16 | +5 Vdc | แหล่งจ่ายไฟเลี้ยง |
| D17 | -MASTER | I |
| D18 | GND | กราวนด์ |

สัญญาณที่ออกจาก Slot PC ที่ใช้กับ card มีดังนี้

A0-A11 : เป็นแอดเดรสของระบบที่ใช้ติดต่อกับหน่วยความจำ
และอุปกรณ์อินพุท/เอาต์พุท

D0-D7 : เป็นสัญญาณข้อมูลขนาด 8 บิตที่ใช้ติดต่อกับหน่วยความจำ
ไมโครโปรเซสเซอร์

IOW : เป็นสัญญาณเขียนข้อมูลลงบนอุปกรณ์อินพุท/เอาต์พุท

เอกสารนี้เป็นเอกสารที่สงวนไว้สำหรับสัญญาณนี้ควบคุมจากไมโครโปรเซสเซอร์ แอดที่พีที่ 0 ไปใช้ประโยชน์ด้านการค้า
ไม่ว่ากรณีใดๆ ทั้งสิ้น อีกทั้งห้ามมิให้คัดแปลงเนื้อหา และต้องอ้างอิงถึงเจ้าของเอกสารทุกครั้งที่มีการนำไปใช้

RES : สัญญาณนี้ใช้สำหรับรีเซ็ตระบบในขณะที่เปิดเครื่องหรือขณะ
ที่แหล่งจ่ายไฟเลี้ยงขาด

AEN : อีนาเบิลแอดเดรส (เป็นเอาต์พุต)

1) ส่วนประกอบของการ์ด

- ส่วนเปรียบเทียบ Address
- ส่วนรับส่งข้อมูล
- ส่วน Drive Stepping Motor

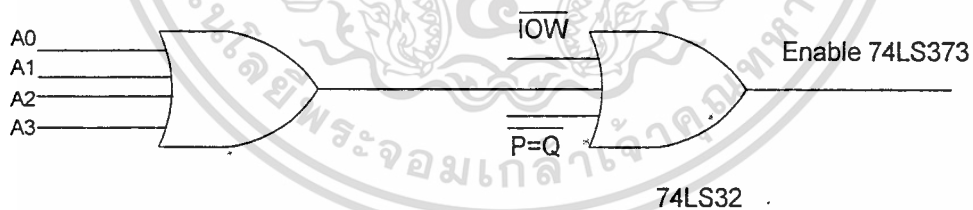
2) หลักการทำงาน

- ส่วนเปรียบเทียบ Address

จะใช้ IC 74LS688 เป็นตัวเปรียบเทียบค่า Address A4-An ของ PC กับค่า Address ที่ set ไว้ที่ DIP Switch ว่าตรงกันหรือไม่ ถ้าตรงกันก็จะให้สัญญาณ Enable ออกไป ซึ่งตัว 74LS688 จะได้รับสัญญาณ Enable จากขา A_{EN} ของ PC โดยผ่าน Buffer 74LS245

- ส่วนรับส่งข้อมูล

จะใช้ IC 74F245 ซึ่งเป็น Buffer รับข้อมูลขา DATA ของ PC แล้วส่งออกไปให้กับ ส่วน Drive Stepping Motor โดย 74F245 นี้จะถูก Enable โดย output ของ OR Gate ซึ่งการทำงานของ Gate ต่างๆแสดงดังรูป



รูปที่ 6.3 สัญญาณ Enable data buffer

โดยที่

- A0-A3, \overline{IOW} เป็นสัญญาณจาก PC โดยผ่าน Buffer 74LS245
- $\overline{P=Q}$ เป็น Output ของส่วนเปรียบเทียบ Address มีค่าเป็น 0 เมื่อ A4-An ตรงกับค่า Address ที่ตั้งไว้
ค่า Enable จะเป็น 0 ก็ต่อเมื่อ ทั้ง 3 กรณีต่อไปนี้เป็นจริง
- \overline{IOW} active (เป็น 0)
- $\overline{P=Q}$ active (เป็น 0)
- A0-A3 active (เป็น 1 ทั้งหมด)

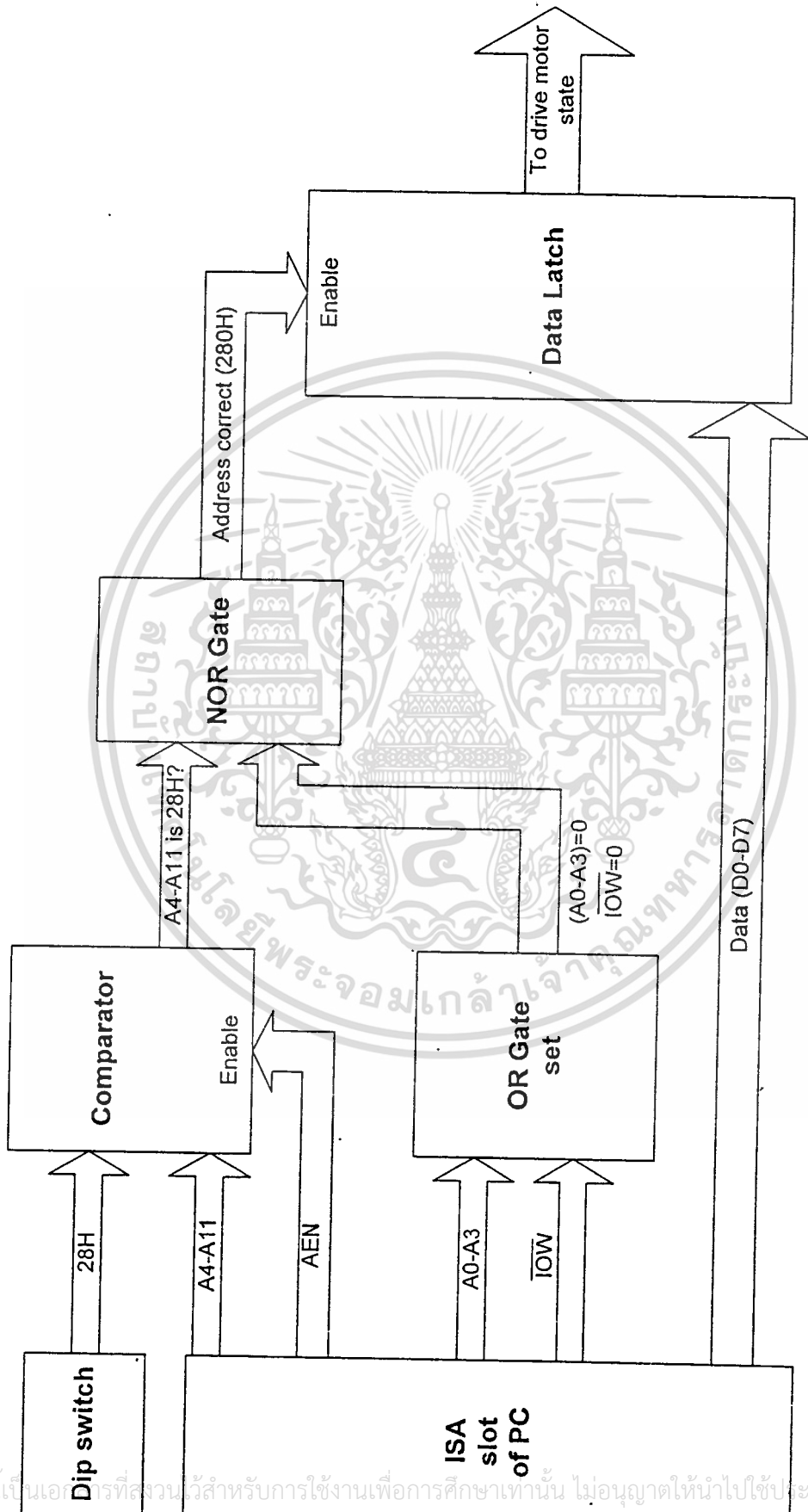
เอกสารนี้เป็นเอกสารที่สงวนไว้สำหรับการใช้งานเพื่อการศึกษาเท่านั้น ไม่อนุญาตให้นำไปใช้ประโยชน์ด้านการค้า
ไม่ว่ากรณีใดๆ ทั้งสิ้น อีกทั้งห้ามมิให้ดัดแปลงเนื้อหา และต้องอ้างอิงถึงเจ้าของเอกสารทุกครั้งที่มีการนำไปใช้

ค่า Direction ของ Buffer ทั้ง 2 ตัวคือ 74LS245 และ 74F245 ต่อกับ VCC เพราะต้องการส่งข้อมูลทางเดียวจาก A ไป B

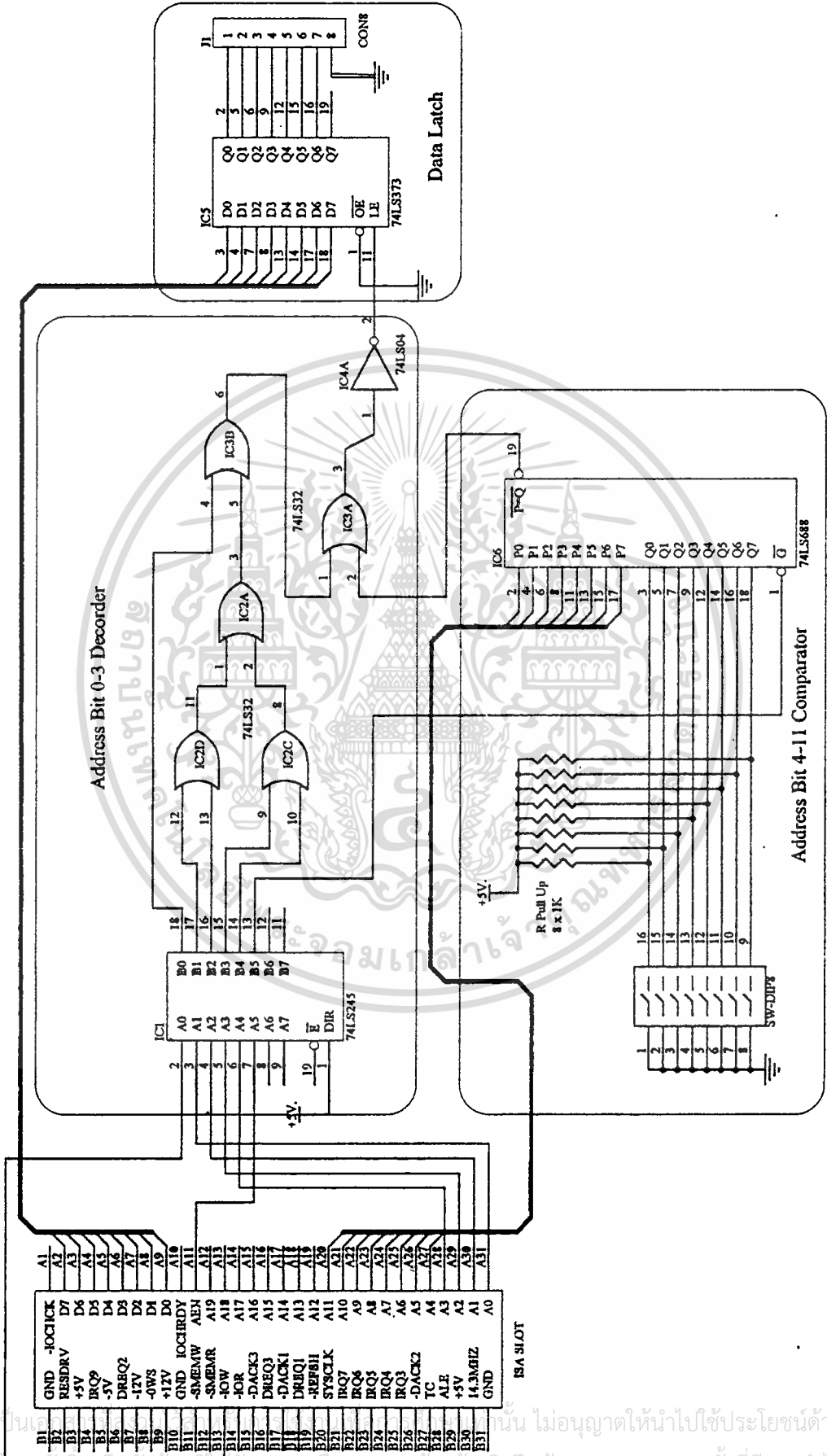
ส่วน Drive Stepping Motor

ข้อมูล 8 bit จาก PC จะถูกนำมาควบคุมการหมุนของ Stepping Motor โดย Bit 0-Bit3 ต่อเข้ากับ phase1-phase4 ของ Motor ผ่าน Opto Isolator เพื่อแยกสัญญาณ 5 V จาก PC กับแรงดันที่ใช้ขับ Stepping Motor ซึ่งจะมีค่าประมาณ 28 V นอกจากนี้จะมี LED แสดงสถานะ on/off ในแต่ละ phase อีกด้วย สัญญาณที่ผ่าน Opto Isolator จะป้อนให้กับชุด Darlington ของ Transistor เบอร์ 2222 และ Power Transistor เบอร์ 6123 เพื่อขยายกระแสให้เพียงพอที่จะนำไปขับ Motor ในแต่ละเฟส ให้มี Diode IN4001 เป็น Free Wheeling

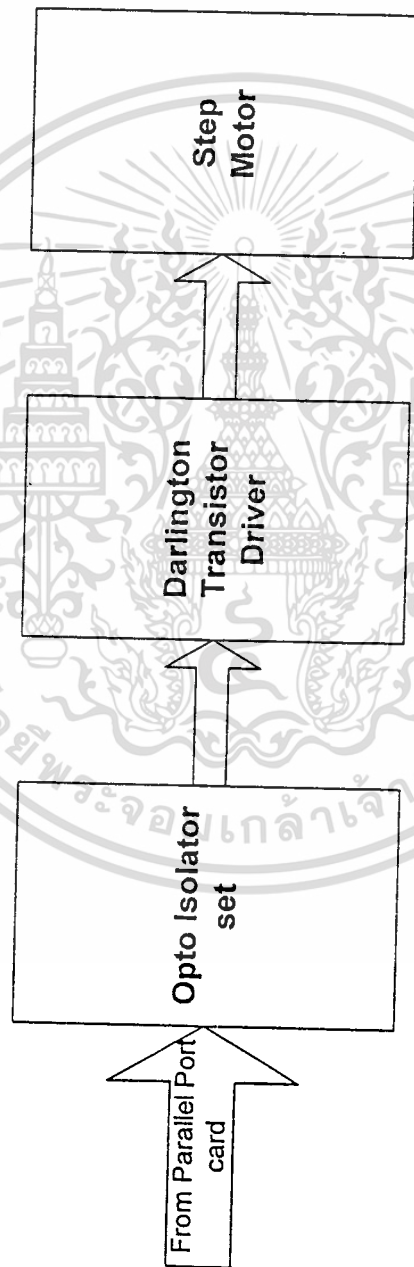




รูปที่ 6.4 แสดง Block Diagram การทำงานของวงจรการดีพอร์ทขนาน

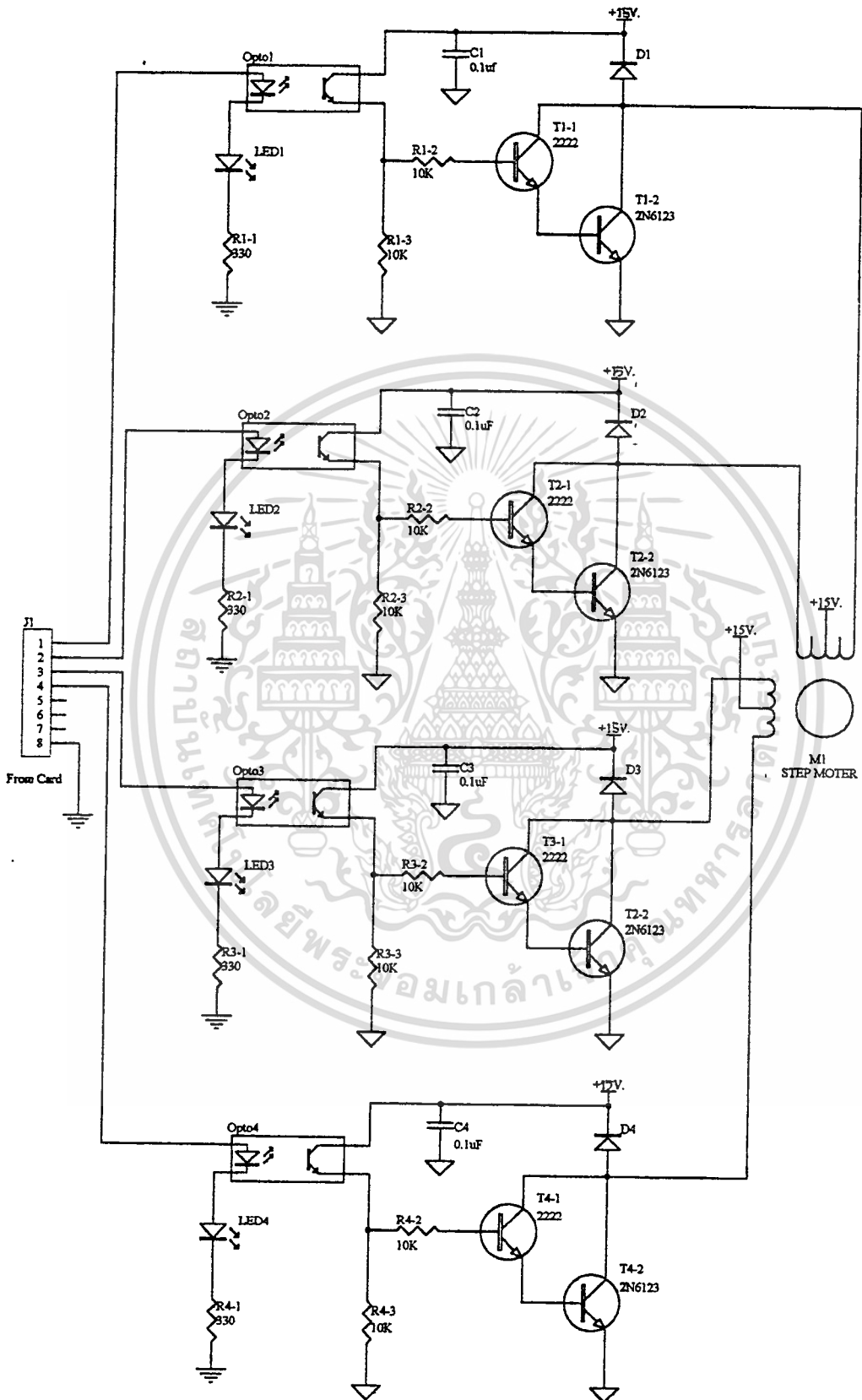


รูปที่ 6.5 แสดงวงจรการดีคอด์ทพบนาน



รูปที่ 6.6 รูปแสดง Block Diagram การทำงานของวงจร Drive Step Motor

เอกสารนี้เป็นเอกสารที่สงวนไว้สำหรับการใช้งานเพื่อการศึกษาเท่านั้น ไม่อนุญาตให้นำไปใช้ประโยชน์ด้านการค้า ไม่ว่าจะกรณีใดๆ ทั้งสิ้น อีกทั้งห้ามมิให้ดัดแปลงเนื้อหา และต้องอ้างอิงถึงเจ้าของเอกสารทุกครั้งที่มีการนำไปใช้



เอกสารนี้เป็นเอกสารที่รูปที่ 6.7 แสดงวงจร Drive Step Motor เท่านั้น ไม่อนุญาตให้นำไปใช้ประโยชน์ด้านการค้า
ไม่ว่ากรณีใดๆ ทั้งสิ้น อีกทั้งห้ามมิให้ดัดแปลงเนื้อหา และต้องอ้างอิงถึงเจ้าของเอกสารทุกครั้งที่มีการนำไปใช้

บทที่ 7

คณิตศาสตร์ในการสร้างโครงสร้าง 3 มิติ

7.1 Two – Dimensional Coordinate Geometry

ในงานด้าน Computer Graphics นั้น รูปร่างและขนาดของวัตถุที่แสดงเป็น 2 มิติจะต้องใช้ระบบ coordinate ซึ่งปกติจะใช้ x, y ในระบบ cartesian coordinate ดังนั้นการ transform รูปแบบต่างๆในทางเรขาคณิต จึงได้ถูกนำไปใช้เป็น model สำหรับการ shift , resize หรือ reorient coordinate เหล่านั้น

พื้นฐานของ model 2 มิติ คือ จุด ยกตัวอย่างเช่น เส้นก็คือจุด 2 จุดต่อกัน หรือ ระนาบจะประกอบไปด้วยจุดหลายๆจุดที่อยู่บนระนาบ ดังนั้นในระบบ 2 มิติจะถูกกำหนดขึ้นด้วยกลุ่มของ coordinate x, y หรือ จุดใดๆนั่นเอง

เราจะทำการสมมติรูป 3 เหลี่ยมในระนาบ 2 มิติซึ่งสามารถเขียนเป็น matrix ขนาด 3×2 ได้ดังนี้

$$[P] = \begin{bmatrix} x_1 & y_1 \\ x_2 & y_2 \\ x_3 & y_3 \end{bmatrix} \quad (7.1)$$

ซึ่ง x และ y นี้เป็นเวกเตอร์ตำแหน่งที่มีความสัมพันธ์กับระบบ coordinate แบบ cartesian ถ้าเราใช้ระบบ coordinate แบบ cartesian แล้วเราจะพบกับข้อจำกัดในการ transform ซึ่งในการ transform เราจะต้องเกี่ยวข้องกับ operation การคูณ ซึ่งมีข้อจำกัดในเรื่องขนาดของ matrix และเงื่อนไขของเวกเตอร์ ดังนั้นเราจึงหลีกเลี่ยงปัญหาเหล่านี้ด้วยการ transform โดยใช้ระบบ coordinate แบบ homogeneous เพื่อความเข้าใจระบบ coordinate แบบ homogeneous แล้วเราจะสมมติจุด $p(x,y)$ ให้อยู่ในระนาบ 3 มิติ ระยะห่างของจุด $p(x,y)$ กับจุด origin จะถูกแสดงโดยพารามิเตอร์ h ดังนั้นเราสามารถเขียนสมการได้คือ

$$P(x, y, z) = P(hx, hy, h) \quad (7.2)$$

ซึ่งเราจะมองจุด $p(x,y)$ นี้ในลักษณะของระนาบ 3 มิติโดย h ก็จะขึ้นค่าของ z นั้นเอง

เอกสารนี้เป็นเอกสารที่สงวนไว้สำหรับกรใช้งานเพื่อการศึกษเท่านั้น ไม่สามารถนำไปใช้ในเชิงพาณิชย์ด้านการค้า
เพราะฉะนั้นจุด 2 มิติใดๆก็สามารถแสดงเป็นจุดในระนาบ 3 มิติได้ซึ่งเราเรียกระนาบนี้ว่า
ไม่ว่ากรณีใดๆ ทั้งสิ้น อีกทั้งห้ามมีเหตุดแปลงเนื้อหา และต้องอ้างอิงถึงเจ้าของเอกสารทุกครั้งที่มีการนำไปใช้

homogeneous แต่ยกเว้นในกรณีที่จุดนั้นเป็นจุด origin (ซึ่งค่า $h=0$) ตัวอย่างเช่นเมื่อมีจุด $P(2,4)$ ใน cartesian coordinate จะทำให้เกิดจุด $P(4,8,2)$, $P(6,12,3)$, $P(2,4,1)$, $P(m,n,h)$ ใน homogeneous coordinate ดังนั้นถ้าเรามีจุดต่างๆเหล่านี้จะทำให้เราสามารถหาจุดใน cartesian coordinate ได้คือ $P(m/h, n/h, 1)$

$$\begin{aligned} \text{โดยที่ } x &= m/h \\ y &= n/h \end{aligned} \quad (7.3)$$

เมื่อใช้ homogeneous coordinate แล้วต่างๆในระนาบ 2 มิติ จะถูกแสดงในรูปของ matrix ขนาด $[n \times 3]$ ซึ่ง $n =$ จำนวนของจุดของวัตถุ ดังนั้น

$$[P] = \begin{bmatrix} x_1 & y_1 & 1 \\ x_2 & y_2 & 1 \\ x_3 & y_3 & 1 \end{bmatrix} \quad (7.4)$$

7.1.1) การ Scaling 2 มิติ

การทำ Scaling คือ การทำให้วัตถุมีขนาดที่เพิ่มขึ้น การ Scaling ในทิศทาง x และ y ด้วยค่าคงที่นั้นจะเกิดการเปลี่ยนแปลงความยาวเกิดขึ้น ถ้ามีขนาดมากกว่า 1 จะเป็นการขยาย แต่ถ้าน้อยกว่า 1 จะเป็นการลดขนาด แต่ไม่ว่าจะเป็นกรณีใดจะต้องเป็นค่าบวก เพราะถ้าเป็นค่าลบแล้วจะเกิดการ reflection ขึ้น

การ Scaling จุด $P(x,y)$ เป็น $P(x^*,y^*)$ แสดงได้ดังสมการ (7.5)

$$\begin{aligned} x^* &= x(S_x) \\ y^* &= y(S_y) \end{aligned} \quad (7.5)$$

หรือแสดงในรูป matrix ได้ดังสมการ (7.6)

$$[x^* \ y^* \ 1] = [x \ y \ 1] \begin{bmatrix} S_x & 0 & 0 \\ 0 & S_y & 0 \\ 0 & 0 & 1 \end{bmatrix} \quad (7.6)$$

ในการ Scaling นี้เป็นการ Scaling ที่ใช้จุด origin เป็นจุดอ้างอิง ซึ่งแต่ละจุดบนวัตถุนั้นจะเปลี่ยนขนาดหรือทิศทางก็ตามต้องขึ้นอยู่กับจุด origin เสมอนั้น ไม่นิยามให้นำไปใช้ประโยชน์ด้านการคำนวณว่ากรณีใดๆ ทั้งสิ้น อีกทั้งห้ามมิให้ตัดแปลงเนื้อหา และต้องอ้างอิงถึงเจ้าของเอกสารทุกครั้งที่มีการนำไปใช้

7.1.2 การ Translation 2 มิติ

การ translation นั้นจะทำให้วัตถุเปลี่ยนตำแหน่งไปในทิศทางตามค่าที่กำหนดไป ซึ่งสามารถแสดงให้เห็นตามสมการ (7.7)

$$\begin{aligned}x^* &= x + T_x \\y^* &= y + T_y\end{aligned}\quad (7.7)$$

แสดงในรูป matrix ตามสมการ (7.8)

$$[x^* \ y^* \ 1] = [x \ y \ 1] \begin{bmatrix} 1 & 0 & 0 \\ 0 & 1 & 0 \\ T_x & T_y & 1 \end{bmatrix} \quad (7.8)$$

7.1.3 การ Rotation 2 มิติ

การ rotation นั้นจะใช้สำหรับการมองวัตถุในทิศทางต่างๆกัน ในการ rotation จะต้องใช้ origin เป็นจุดอ้างอิงเช่นกัน ตามค่าของมุม θ ที่กำหนดไป ในการ rotate จุด $P(x,y)$ เป็น $P(x^*,y^*)$ ได้ดังสมการ (7.9)

$$\begin{aligned}x &= r \cos \alpha \\y &= r \sin \alpha\end{aligned}\quad (7.9)$$

ซึ่งมุม α เป็นค่าพารามิเตอร์ที่แทนค่ามุมที่กวาดไปในทิศทางตามแกน x

$$\begin{aligned}x^* &= r \cos(\alpha + \theta) = r \cos \alpha \cos \theta - r \sin \alpha \sin \theta \\y^* &= r \sin(\alpha + \theta) = r \sin \alpha \cos \theta + r \cos \alpha \sin \theta\end{aligned}\quad (7.10)$$

เมื่อแทนค่า x, y จากสมการ (7.9) จะได้สมการดังนี้

$$\begin{aligned}x^* &= x \cos \theta - y \sin \theta \\y^* &= x \sin \theta + y \cos \theta\end{aligned}\quad (7.11)$$

หรือแสดงในรูป matrix ได้ดังสมการ (7.12)

$$[x^* \ y^* \ 1] = [x \ y \ 1] \begin{bmatrix} \cos \theta & \sin \theta & 0 \\ -\sin \theta & \cos \theta & 0 \\ 0 & 0 & 1 \end{bmatrix} \quad (7.12)$$

7.2 Three - Dimentional Coordinate Geometry

ในการ design งานทางด้านวิศวกรรมส่วนมากจะเกี่ยวข้องกับวัตถุที่เป็น 3 มิติ โดยปกติรูปทรงหรือรูปแบบจำนวนมากจะถูกใช้งานในการสร้างรูปทรง 3 มิติ ซึ่งสามารถแสดงออกมาบนหน้าจอ display เช่น ผิว polygon surface หรือ framework ของเส้น สำหรับการใช้งานด้านอื่นๆ เช่น การออกแบบเครื่องจักรกล หรือ body ของเครื่องบิน เป็นการออกแบบที่พิเศษซึ่งถูกใช้เพื่อพัฒนารูปแบบของพื้นผิว 3 มิติ จนกระทั่งได้เงื่อนงำที่พอใจ

เมื่อใดที่วิธีการเหล่านี้ถูกใช้งาน วัตถุ 3 มิติก็จะถูกสร้างขึ้นในระบบ coordinate 3 มิติ และ จะทำการ map ไปในระบบ 2 มิติเพื่อที่จะทำการ display การสร้างภาพของวัตถุจำเป็นต้องใช้การ transform coordinate 3 มิติ ซึ่งแสดงได้โดย matrix 4×4 ดังนี้

$$[P] = \begin{bmatrix} 0 & 0 & 0 & 1 \\ x_B & 0 & 0 & 1 \\ 0 & y_C & 0 & 1 \\ 0 & 0 & z_D & 1 \end{bmatrix} \quad (7.13)$$

7.2.1) การ Transformation 3 มิติ

การ transform ในระบบ 3 มิติ จะถูกใช้ด้วยวิธีการเดียวกับที่ใช้ในระบบ 2 มิติดังที่อธิบายในส่วนการ Transformation 2 มิติ ข้างต้น แต่จะเพิ่ม coordinate ของ z เข้ามาด้วย ซึ่งในระบบ 2 มิติ จะประกอบไปด้วย coordinate x และ y เท่านั้น

ในระบบ homogeneous coordinate จุดต่างๆในระนาบ 3 มิติก็จะถูกแสดงเป็น matrix ขนาด 4×4 ดังนี้

$$\begin{bmatrix} a & b & c & 0 \\ d & e & f & 0 \\ g & h & i & 0 \\ j & k & l & s \end{bmatrix} \quad (7.14)$$

7.2.2) การ Scaling 3 มิติ

ในการทำ scaling transform จะทำได้โดยการใส่ค่าไปในแนวทแยงมุมของ matrix ที่ใช้ในการ transform ขนาด 4×4 ดังเช่นการ scaling จุด $P(x,y,z,1)$ ไปเป็น $P(x^*,y^*,z^*,1)$ ได้สมการดังนี้

เอกสารนี้เป็นเอกสารที่สงวนไว้สำหรับการใช้งานเพื่อการศึกษาเท่านั้น ไม่อนุญาตให้นำไปเผยแพร่หรือใช้ซ้ำโดยไม่ได้รับอนุญาต

ไม่ว่ากรณีใดๆ ทั้งสิ้น อีกทั้งห้ามมีให้คัดแปลงเนื้อหา และต้องอ้างอิงถึงเจ้าของเอกสารทุกครั้งที่มีการนำไปใช้

$$[x^*, y^*, z^*, 1] = [x, y, z, 1] \begin{bmatrix} a & 0 & 0 & 0 \\ 0 & e & 0 & 0 \\ 0 & 0 & i & 0 \\ 0 & 0 & 0 & 1 \end{bmatrix} \quad (7.15)$$

ด้วยวิธีการนี้เราจะทำการ scaling โดยใช้จุด origin เป็นจุดอ้างอิงและใช้หลักการเช่นเดียวกับการทำ scaling ใน 2 มิติ ถ้าตัวแปรในการทำ scaling คือ a, e, i มีค่าที่ไม่เท่ากันแล้วทำให้ภาพและขนาดของวัตถุที่ได้จะผิดเพี้ยนไป แต่ ถึงแม้จะเกิดการเปลี่ยนแปลงขนาดเกิดขึ้นแต่จุด origin ยังเหมือนเดิม

$$\begin{aligned} [x^*, y^*, z^*, 1] &= [x, y, z, 1] \begin{bmatrix} 1 & 0 & 0 & 0 \\ 0 & 1 & 0 & 0 \\ 0 & 0 & 1 & 0 \\ 0 & 0 & 0 & s \end{bmatrix} \\ &= [x, y, z, s] \end{aligned} \quad (7.16)$$

จากวิธีการดังกล่าว เมื่อเราใช้การ scaling วิธีนี้แล้วจะสังเกตเห็นว่าใน column ที่ 4 ของ matrix ตรงจุดที่ใช้ในการ transform อาจจะไม่เท่ากับ 1 ก็ได้ ดังเช่นหลักการของ 2 มิติที่ได้กล่าวแล้วข้างต้น ซึ่ง matrix ที่ใช้นี้อาจถูกเปลี่ยนแปลงได้เพื่อให้ค่าของ x, y, z นี้เป็นค่า coordinate ที่เป็นมาตรฐาน ซึ่งก็คือระบบ cartesian coordinate ดังนั้นสมการ (7.16) จะเขียนได้ดังนี้

$$[x, y, z, s] = [x/s, y/s, z/s, 1] \quad (7.17)$$

เมื่อค่า s มีค่ามากกว่า 1 จะเป็นการลดขนาดของวัตถุลง แต่เมื่อต้องการที่ขยายขนาดของวัตถุต้องใช้ค่า $1/s$ ใน matrix ที่ทำ scaling ซึ่งก็จะได้ค่าของ coordinate สุดท้ายเป็น

$$[sx, sy, sz, 1] \quad (7.18)$$

7.2.3) การ Translation 3 มิติ

จากสมการ (7.18) Matrix ที่ใช้ในการ transform นี้จะทำการ translate หรือเคลื่อนย้ายจุด (x, y, z) เป็นจุดใหม่ (x^*, y^*, z^*) โดยใช้ (j, k, l)

$$[x^*, y^*, z^*, 1] = [x, y, z, 1] \begin{bmatrix} 1 & 0 & 0 & 0 \\ 0 & 1 & 0 & 0 \\ 0 & 0 & 1 & 0 \\ j & k & l & 1 \end{bmatrix} \quad (7.19)$$

ค่าของ j, k, l นี้ จะแสดงความสัมพันธ์ของการเคลื่อนย้ายจุดไปตามทิศทางของ x, y, z ยกตัวอย่างเช่นเราจะทำการ translate รูปลูกบาศก์ขนาด 1 หน่วยซึ่งมีจุดยอดจุดหนึ่งอยู่ที่ตำแหน่ง origin ไปที่ตำแหน่งใหม่ในระนาบที่เราพิจารณา โดยใช้ matrix ที่ใช้สำหรับการทำ translation ดังสมการ (7.19) แต่ละจุดยอดจะถูก translate ไปตามค่าที่กำหนดใน matrix ดังนั้นค่า coordinate ที่ถูก transform ของลูกบาศก์นี้จะมีค่าดังสมการ (7.20)

$$[P^*]_{\text{CUBE}} = \begin{bmatrix} 0 & 0 & 0 & 1 \\ 1 & 0 & 0 & 1 \\ 1 & 0 & 1 & 1 \\ 0 & 0 & 1 & 1 \\ 0 & 1 & 1 & 1 \\ 1 & 1 & 1 & 1 \\ 1 & 1 & 0 & 1 \\ 0 & 1 & 0 & 1 \end{bmatrix} \begin{bmatrix} 1 & 0 & 0 & 0 \\ 0 & 1 & 0 & 0 \\ 0 & 0 & 1 & 0 \\ J & K & L & 1 \end{bmatrix} = \begin{bmatrix} 2 & 2 & 0 & 1 \\ 3 & 2 & 0 & 1 \\ 3 & 2 & 1 & 1 \\ 3 & 2 & 1 & 1 \\ 2 & 3 & 1 & 1 \\ 3 & 3 & 1 & 1 \\ 3 & 3 & 0 & 1 \\ 2 & 3 & 0 & 1 \end{bmatrix} \quad (7.20)$$

7.2.4) การ Rotation 3 มิติ

การ Rotation ในระบบ 3 มิติเป็นเรื่องที่สำคัญสำหรับการทำความเข้าใจรูปร่างของวัตถุ หรือ การพิจารณางานที่ถูกออกแบบมาในมุมที่แตกต่างกัน ซึ่งเป็นสิ่งที่ซับซ้อนมากกว่าการ rotation ในระบบ 2 มิติ เพราะในระบบ 3 มิติคือระนาบแกนในการทำ rotation ด้วยในขณะที่ระบบ 2 มิติใช้เพียงจุดในการทำ rotation เท่านั้น ในการทำ rotation ตามแกนใดๆก็ตาม เราสามารถที่จะคิดอย่างง่ายๆ โดยคิดแยกเป็นการหมุนตามแกนหลักทั้ง 3 แกนคือ แกน x, y และ z แล้วนำมาสร้างตามวิธีการเดียวกันกับที่ใช้ในการ rotation 2 มิติ ทำให้เราได้ matrix สำหรับการ rotation ตามแกน z ดังสมการ (7.21)

$$[T_R]_z^\theta = \begin{bmatrix} \cos\theta & \sin\theta & 0 & 0 \\ -\sin\theta & \cos\theta & 0 & 0 \\ 0 & 0 & 1 & 0 \\ 0 & 0 & 0 & 1 \end{bmatrix} \quad (7.21)$$

ซึ่งจะได้ผลลัพธ์ของการ mapping ดังสมการ (7.22)

$$\begin{aligned} x^* &= x \cos\theta - y \sin\theta \\ y^* &= x \sin\theta + y \cos\theta \\ z^* &= z \end{aligned} \quad (7.22)$$

ในวิธีการเดียวกันเมื่อเราทำการ rotate เป็นมุม θ ไปตามแกน y จะได้สมการ (7.23)

$$[T_R]_y^\theta = \begin{bmatrix} \cos\theta & 0 & -\sin\theta & 0 \\ 0 & 1 & 0 & 0 \\ \sin\theta & 0 & \cos\theta & 0 \\ 0 & 0 & 0 & 1 \end{bmatrix} \quad (7.23)$$

ซึ่งจะได้ผลลัพธ์ของการ mapping ดังสมการ (7.24)

$$\begin{aligned} x^* &= x \cos\theta + z \sin\theta \\ y^* &= y \\ z^* &= -x \sin\theta + z \cos\theta \end{aligned} \quad (7.24)$$

เมื่อ rotate ไปตามแกน x จะได้ผลดังสมการ (7.25)

$$[T_R]_x^\theta = \begin{bmatrix} 1 & 0 & 0 & 0 \\ 0 & \cos\theta & \sin\theta & 0 \\ 0 & -\sin\theta & \cos\theta & 0 \\ 0 & 0 & 0 & 1 \end{bmatrix} \quad (7.25)$$

$$\begin{aligned}
 x^* &= x \\
 y^* &= y \cos \theta - z \sin \theta \\
 z^* &= y \sin \theta + z \cos \theta
 \end{aligned}
 \tag{7.26}$$

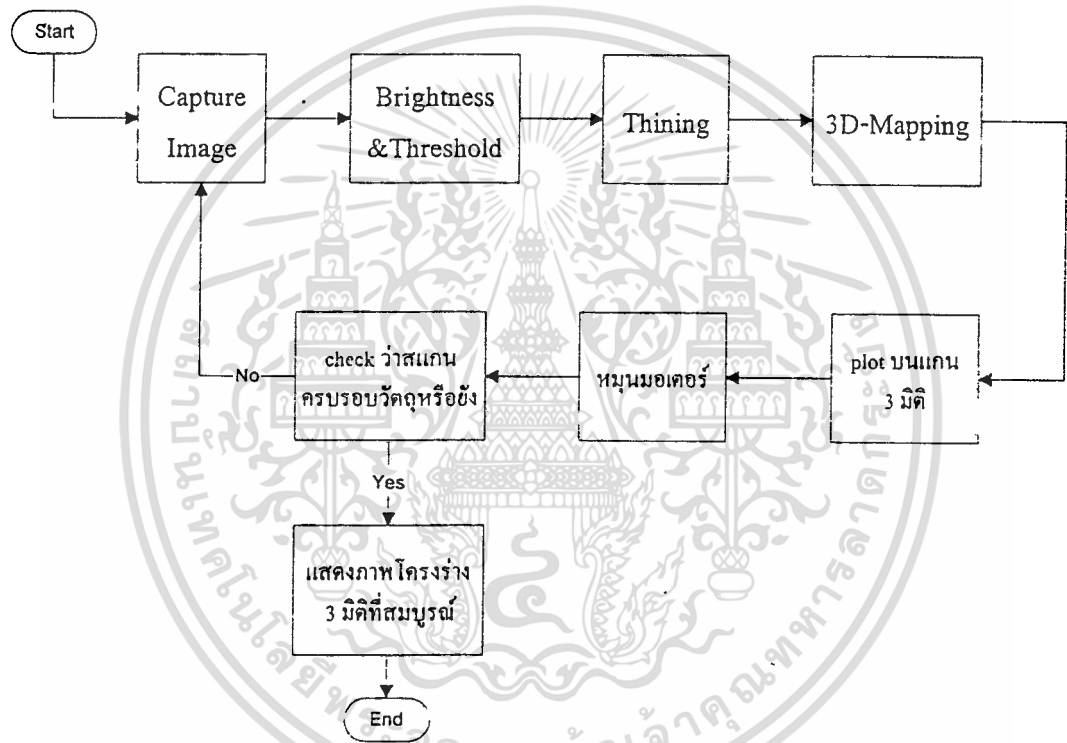
ข้อสังเกตที่สำคัญคือเครื่องหมายในเทอม sine ใน matrix $[T_R]_y^\theta$ ซึ่งจะมีค่าตรงกันข้ามกับ matrix $[T_R]_z^\theta$, $[T_R]_x^\theta$ เนื่องจากผลลัพธ์ของการใช้กฎมือขวา



บทที่ 8

โปรแกรมควบคุมการทำงานของ 3D-SCANNER

8.1 โครงสร้างการทำงานของ 3D-SCANNER



รูปที่ 8.1 Block diagram การทำงานของ 3D-SCANNER

การทำงานของ 3D-SCANNER ในแต่ละขั้นตอนหลักๆมีดังนี้

1) Capture Image

คือขั้นตอนการรับภาพจากกล้องวิดีโอมาเก็บไว้ใน memory เพื่อไปทำการประมวลผลในขั้นต่อไป

2) Brightness & Threshold

เป็นการนำภาพที่ได้จากขั้นตอนแรก ซึ่งเป็นภาพสีจริงมาแปลงให้เป็นภาพที่อยู่ในรูปแบบของความสว่าง แล้วทำการ Threshold คือ เลือกเอาเฉพาะส่วนที่มีความสว่างอยู่ในช่วงที่เราต้องการ เอกสารนี้เป็นเอกสารที่สงวนไว้สำหรับการใช้งานเพื่อการศึกษาเท่านั้น ไม่นิยมนำไปใช้ประโยชน์ด้านการค้า ไม่ว่าจะกรณีใดๆ ทั้งสิ้น อีกทั้งห้ามมิให้ดัดแปลงเนื้อหา และต้องอ้างอิงถึงเจ้าของเอกสารทุกครั้งที่มีการนำไปใช้

3) Thining

เป็นการนำภาพที่ได้จากการ Threshold มาทำให้ส่วนที่เลือกมาบางลง เพื่อให้ทำให้ง่ายต่อการประมวลผลต่อไป

4) 3D-Mapping

เป็นการนำภาพจากการ Thining แล้วมาทำการเลือกเฉพาะจุดต่างๆที่ทำ Thining แล้วนำ coordinate ของจุดเหล่านั้นมาทำการแปลงจากรูปแบบ 2 มิติให้เป็น 3 มิติ

5) Plot บนแกน 3 มิติ

คือการนำเอาจุดที่ได้จากขั้นตอน 3D-Mapping มาทำการ plot บนแกนจำลอง 3 มิติ ที่จะแสดงบนหน้าจอคอมพิวเตอร์

6) Check ว่าครบรอบหรือยัง

ถ้ายังไม่ครบก็วนกลับไปทำซ้ำอีกครั้ง โดยเริ่มที่การ Capture Image ถ้าครบแล้วก็จะเข้าสู่ขั้นตอนสุดท้ายของการทำงาน

7) แสดงภาพโครงร่าง 3 มิติ ที่สมบูรณ์

เป็นขั้นตอนสุดท้ายของการทำงาน โดยจะแสดงภาพที่ได้จากการ plot coordinate ทั้งหมดจากการสแกนจนครบรอบวัตถุ ดังนั้นภาพที่ได้ในขั้นตอนนี้จึงเป็นภาพที่สมบูรณ์ใกล้เคียงกับวัตถุจริง

8.2 โครงสร้างโปรแกรม

ในส่วนของโปรแกรมที่ควบคุมการทำงานของเครื่อง 3D-SCANNER นี้จะแบ่งการควบคุมออกเป็น 2 ส่วนใหญ่ๆ คือ

1. ส่วนของโปรแกรมที่ควบคุมฮาร์ดแวร์ภายนอก คือ ควบคุมการหมุนของ Stepping Motor ซึ่งจะควบคุมผ่านทางการ์ดจอร์พอร์ทขนานที่ต่อเพิ่มเติมเข้ามา โดยมีรูปแบบและวงจรการทำงานตามที่ได้กล่าวมาแล้ว รูปแบบของคำสั่งจะเป็นการส่งค่าลอจิก 1/0 ออกไปทางพอร์ทเพื่อ on/off ทรานซิสเตอร์ที่ต่ออยู่กับแต่ละเฟสของ Stepping Motor เพื่อเหนี่ยวนำให้เกิดการหมุนตามที่ต้องการ.

2. ส่วนของโปรแกรมการ capture ภาพและประมวลผล เป็นโปรแกรมการรับภาพจากกล้อง quick cam มาแสดงผลที่จอ monitor โดยจะทำงานสัมพันธ์กับโปรแกรมควบคุมการหมุนของ Stepping Motor คือ ในแต่ละตำแหน่งที่จะทำการ capture ภาพ จะต้องรอให้กล้องอยู่นิ่งก่อน (ซึ่งการหมุนของขากล้องถูกควบคุมจาก Stepping Motor) เมื่อกล้องหยุดนิ่งแล้วก็จะทำการ capture ภาพ ณ ตำแหน่งนั้นเพื่อนำไปประมวลผลแล้ว display มาที่จอ monitor ทันที จากนั้นก็ควบคุมให้เอกสารนี้เป็นเอกสารที่สงวนไว้สำหรับการใช้งานเพื่อการศึกษาเท่านั้น ไม่นอนุญาตให้นำไปใช้ประโยชน์ด้านการค้าไม่ว่ากรณีใดๆ ทั้งสิ้น อีกทั้งห้ามมิให้คัดลอกเนื้อหา และต้องอ้างอิงถึงเจ้าของเอกสารทุกครั้งที่มีการนำไปใช้

มอเตอร์หมุนเพื่อเปลี่ยนตำแหน่งในการ capture ประมวลผลและ display ต่อไปเรื่อยๆจนครบรอบวัตถุ

ภาษาที่ใช้เขียน โปรแกรมนี้จะใช้ MFC VISUAL C++ ซึ่งเป็นภาษาที่ run บน windows ทำให้ไม่มีปัญหาเรื่องหน่วยความจำไม่เพียงพอ เนื่องจากการประมวลผลเกี่ยวกับรูปภาพเป็นกระบวนการที่ต้องใช้หน่วยความจำมากพอสมควร

โครงสร้างการทำงานของโปรแกรมควบคุมนี้ จะอยู่บนพื้นฐานของ Interrupt Service Routine 2 อย่างคือ

1. Interrupt Service Routine ของเวลาซึ่งเป็นลักษณะของการนับเวลาจนครบ เมื่อเวลาครบแล้วไม่ว่าโปรแกรมจะทำตรงไหนอยู่ก็ตามมันจะกระโดดไปทำงานที่โปรแกรมบริการอินเตอร์รัปต์ชนิดนี้ทันทีซึ่งใน โปรแกรมนี้ ก็คือ ส่วนของฟังก์ชัน OnTimer

2. Interrupt Service Routine ของการรับ Frame ภาพใหม่เข้ามา ซึ่งคล้ายกับ Interrupt Service Routine ของเวลา แต่โปรแกรมจะกระโดดไปทำตรงส่วนบริการอินเตอร์รัปต์ก็ต่อเมื่อมี Frame ของภาพเข้ามาใหม่ โปรแกรมบริการอินเตอร์รัปต์ชนิดนี้ ก็คือ ฟังก์ชัน OnFrameCallback

การรับ Frame ของภาพมานั้น นอกจากจะได้ข้อมูลภาพจริงๆมาแล้ว เรายังได้รายละเอียดเกี่ยวกับภาพด้วย ตัวอย่างเช่น

- ความสูงของภาพ ในหน่วย Pixel
- ความกว้างของภาพ ในหน่วย Pixel
- ความละเอียดของภาพในหน่วย Bit/Pixel

ซึ่งรายละเอียดต่างๆเหล่านี้ จะทำให้สามารถสร้าง Bitmap file ขึ้นมาใหม่ได้ แล้วนำข้อมูลภาพเหล่านั้นมาทำการประมวลผล ซึ่งในส่วนนี้จะเป็นขั้นตอนที่อยู่ใน Routine ของฟังก์ชัน OnFrameCallback ทั้งสิ้น การประมวลผลภาพในแต่ละเฟรมจะถูกแบ่งออกได้ตามขั้นตอนดังนี้คือ

2.1) Display Capture Bitmap เป็นการแสดงภาพหนึ่งที่ได้จากการถ่ายภาพวัตถุในแต่ละมุม โดยการสร้าง Bitmap file ขึ้นมาแล้ว Copy ข้อมูลภาพจากกล้องมาไว้ที่ file นั้น ภาพที่ Capture ได้จะแสดงบนหน้าจอ monitor ทางด้านมุมบนซ้าย ส่วนภาพที่รับมาจากกล้องนั้นจะแสดงตรงตำแหน่งกึ่งกลางของหน้าต่างแสดงผล หลักการทางโปรแกรมในการรับจากกล้องวิดีโอและ capture ภาพมาแสดงบนหน้าจอเป็นไปตาม flowchart ในรูปที่ 8.4 และ 8.5

2.2) Threshold Bitmap จากการออกแบบในส่วนเครื่อง 3D-SCANNER นี้จะมีข้อจำกัดอยู่บางประการคือ จะต้องทำการสแกนวัตถุในที่มืด ซึ่งอันที่จริงแล้วไม่จำเป็นต้องทำเช่นนี้ก็ได้ เพราะวิธีการที่จะเลือกส่วนที่ต้องการจากภาพนั้นอาจใช้วิธีการทำ Edge detection , Gradient , Laplacian และอื่นๆ อีกหลายวิธี โดยไม่ต้องทำในที่มืดก็ได้ แต่วิธีต่างๆ เหล่านี้จะยุ่งยากมาก

เพราะต้องอาศัยการพิจารณาจาก pixel รอบๆ ด้วย เพื่อความแตกต่าง ดังนั้นจึงเลือกใช้วิธีการทำ threshold เพราะเป็นการตรวจสอบทีละ pixel เทียบกับค่าคงที่ที่เราต้องการ ซึ่งในที่นี้ก็คือค่าความสว่างที่เราต้องการนั่นเอง เพราะฉะนั้นการเขียนโปรแกรมจะง่ายขึ้นมาก ถ้าเราทำให้พื้นที่ที่ทดลองมีค่านั่นที่สว่างชัดเจน ดังนั้นจึงต้องมีข้อจำกัดตรงส่วนนี้ด้วย ขั้นตอนของการ Threshold นี้จะเป็นการ detect ภาพในส่วนที่เป็นแสงเลเซอร์เท่านั้น ซึ่งจะใช้การ detect โดยดูจากความสว่างของภาพในแต่ละ pixel ตามสูตร

$$\text{Brightness} = (R+G+B) / 3 \quad (8.1)$$

Brightness : ความสว่างของแต่ละ pixel

R : Red Component เป็นองค์ประกอบสีแดงในแต่ละ pixel

G : Green Component เป็นองค์ประกอบสีเขียวในแต่ละ pixel

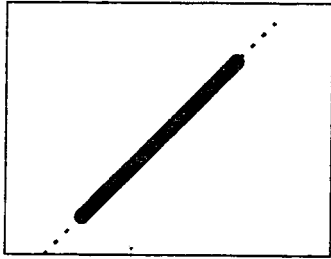
B : Blue Component เป็นองค์ประกอบสีน้ำเงินในแต่ละ pixel

หลักการทางโปรแกรมในการเปลี่ยนภาพให้อยู่ในรูปแบบของความสว่างเป็นไปตาม flow chart ในรูปที่ 8.6

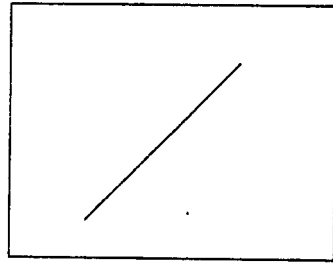
หลังจากคำนวณความสว่างของแต่ละ pixel ออกมาแล้ว ก็เลือก detect เฉพาะส่วนที่มีความสว่างมากซึ่งจะเป็นในส่วนของเส้นเลเซอร์ที่ต้องการ ทำให้ได้ภาพที่เป็น Threshold Bitmap ออกมาแสดงที่หน้าจอ monitor ทางด้านมุมล่างซ้าย ซึ่งจะแสดงตรงส่วนที่ detect เลเซอร์ได้เป็นสีขาวและส่วนอื่นเป็นสีดำ

หลักการทางโปรแกรมในการ threshold เอาเฉพาะส่วนที่ต้องการเป็นไปตาม flowchart ในรูปที่ 8.7

2.3) Thining Bitmap เป็นขั้นตอนที่ทำหลังจาก Threshold Bitmap ออกมาได้แล้วซึ่งหลักการในขั้นตอนนี้ก็คือ จะทำให้เส้นเลเซอร์ที่ detect ได้นั้นบางลง เพื่อให้ได้เส้นที่คมชัดและแน่นอน โดยตามโปรแกรมนี้อาจ Thining ให้เหลือความบางของเส้นเพียง 1 pixel นั่นคือถ้าหากเจอแถบสีขาวของเลเซอร์ในแนวนอนก็จะเลือกเอาเฉพาะ pixel ที่อยู่ตรงกลาง หรือถ้าเจอเพียง 1 pixel ก็ให้เลือก pixel นั้นเลย ทำตามขั้นตอนนี้ไปจนครบแถวในแนวนอนก็จะทำให้ได้ Thining Bitmap ออกมาแสดงที่หน้าจอ monitor ทางด้านมุมบนขวา โดย pixel ที่ได้จากการ Thining แล้วจะเป็นสีขาว และส่วนอื่นเป็นสีดำ ส่วนรูปที่ 8.2 จะแสดงให้เห็นถึง algorithm ของการทำ thining ได้อย่างชัดเจน



ก)



ข)

รูปที่ 8.2 แสดง algorithm ของการทำ Thining

ก) ก่อนการทำ Thining ข) หลังการทำ Thining

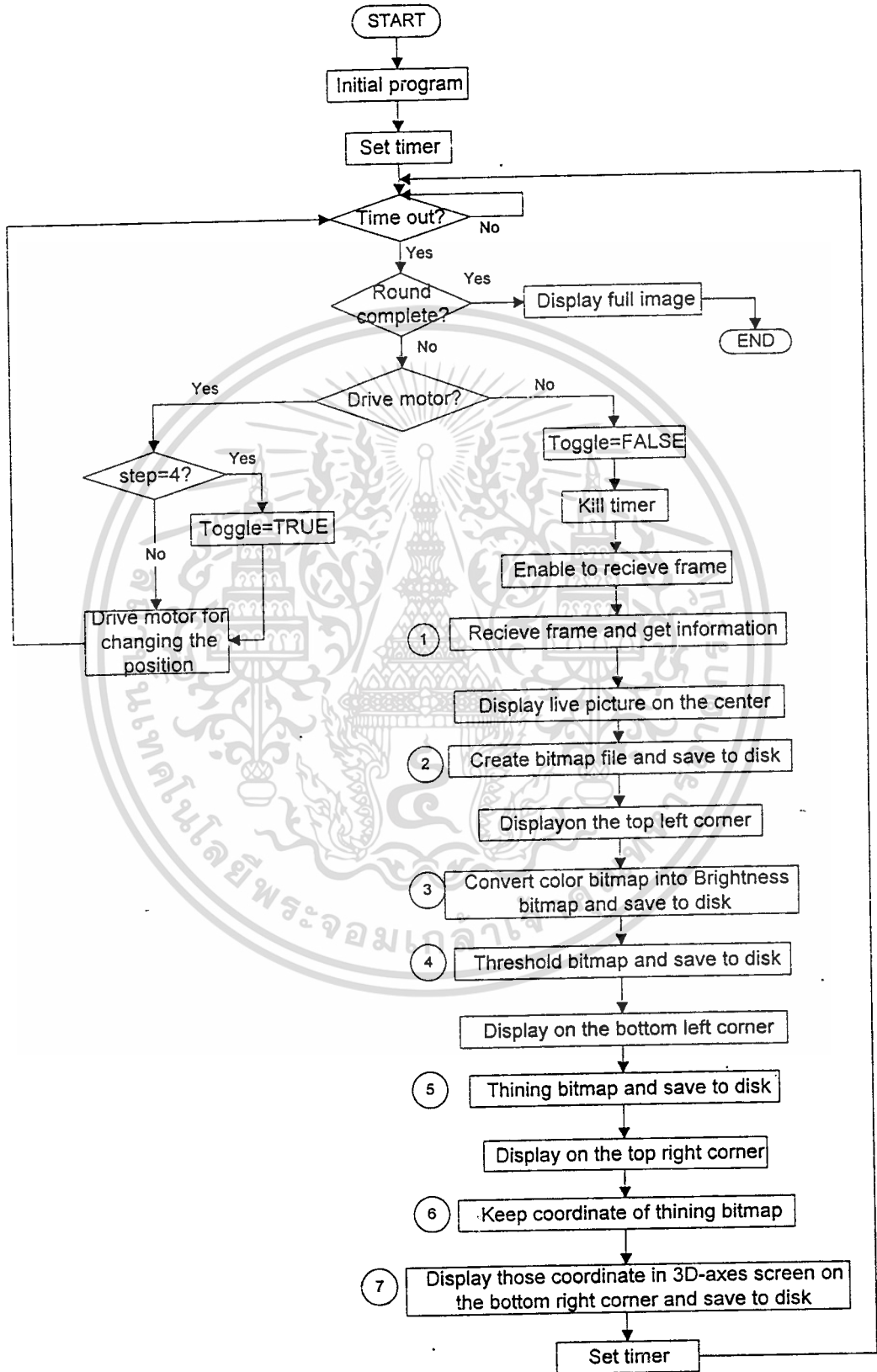
ส่วนหลักการทางโปรแกรมในการทำ thinning เป็นไปตาม flow chart ในรูปที่ 8.8

2.4) Mapping Coordinate เป็นส่วนของการนำจุดหรือ pixel ที่ได้จากการ Thining แล้วไปทำการคำนวณในเชิง graphics 3 มิติ เนื่องจากจุดที่ได้จากภาพนั้นเป็นการรับมาจากกล้องที่ได้ตั้งในลักษณะได้ฉากกับแนวลำแสงของเลเซอร์ และรวมถึงระยะจากวัตถุมาอย่างส่วนที่รับภาพคือกล้องนั่นเอง ดังนั้นจึงต้องมีการ Mapping ให้เป็น Coordinate ที่ถูกต้องในการมองเห็นจริง หลักการในการเก็บ coordinate ของข้อมูลภาพจาก thinning bitmap เป็นไปตาม flow chart ในรูปที่ 8.8 ส่วนการ Mapping coordinate จาก 2 มิติ ไปเป็น 3 มิติ นั้นจะเป็นขั้นตอนก่อนที่จะ display ภาพบนแกนจำลอง 3 มิติ ซึ่งหลักการทางคณิตศาสตร์ในการ Mapping ได้แสดงไว้ในหัวข้อ 8.3

2.5) โครงร่างบนแกนจำลอง 3 มิติ เป็นการนำจุดที่ได้จากภาพที่ทำการ Mapping coordinate แล้วมา plot บนแกนจำลอง 3 มิติ แล้วแสดงผลบนจอ monitor ทางด้านมุมล่างขวา หลักการ plot ภาพ 3 มิติ เป็นไปตาม flow chart ในรูปที่ 8.10

ทั้ง 5 ขั้นตอนนี้จะทำทุกๆครั้งที่มีการรับ Frame ภาพใหม่เข้ามา ดังนั้นจึงสามารถแสดงให้เห็นถึงการประมวลผลภาพทุกๆภาพได้บนหน้าจอ monitor หลังจากนั้นโปรแกรมก็จะถูกตั้งเวลาแล้วให้มีการเรียกโปรแกรม Interrupt ของเวลาอีกครั้งสลับกับ Interrupt ของการรับ Frame ภาพ จนกระทั่งจนเก็บภาพจนครบวัตถุแล้ว ก็จะนำผลรวมของการประมวลผลทั้งหมดมาแสดงอีกครั้ง ในลักษณะโครงร่างของวัตถุบนแกนจำลอง 3 มิติ ซึ่งหลักการของการสร้างโครงร่าง 3 มิติได้มีการอธิบายต่อไปหลังจากผ่านขั้นตอนนี้แล้วก็จะเสร็จขั้นตอนของโปรแกรมทั้งหมด

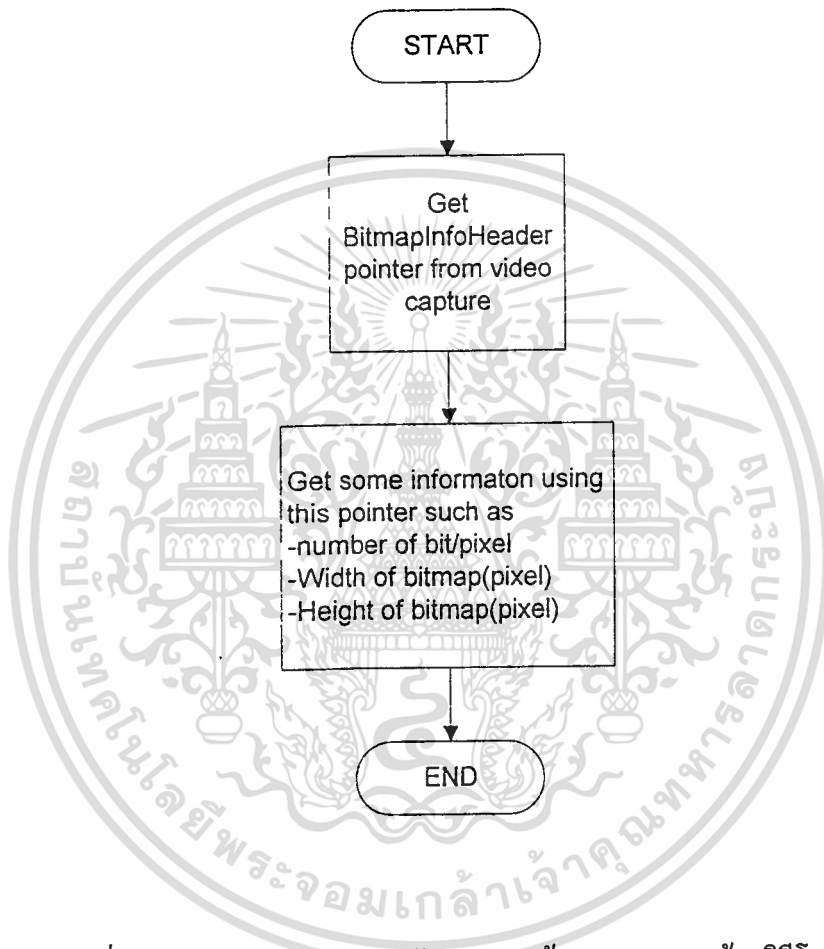
การทำงานของโปรแกรมควบคุมฮาร์ดแวร์ภายนอกและโปรแกรมการ capture ภาพและประมวลผลจะทำงานอย่างสัมพันธ์กันตามโครงสร้างโปรแกรม และ Flow Chart ดังรูปที่ 8.3



รูปที่ 8.3 Flow chart แสดงโครงสร้างโดยรวมของโปรแกรม

เอกสารนี้เป็นเอกสารที่สงวนไว้สำหรับการใช้งานเพื่อการศึกษาเท่านั้น ไม่อนุญาตให้นำไปใช้ประโยชน์ด้านการค้า
ไม่ว่ากรณีใดๆ ทั้งสิ้น อีกทั้งยังขอสงวนสิทธิ์ในข้อมูลและข้อมูลเชิงลึกของเอกสารทุกครั้งที่มีการนำไปใช้

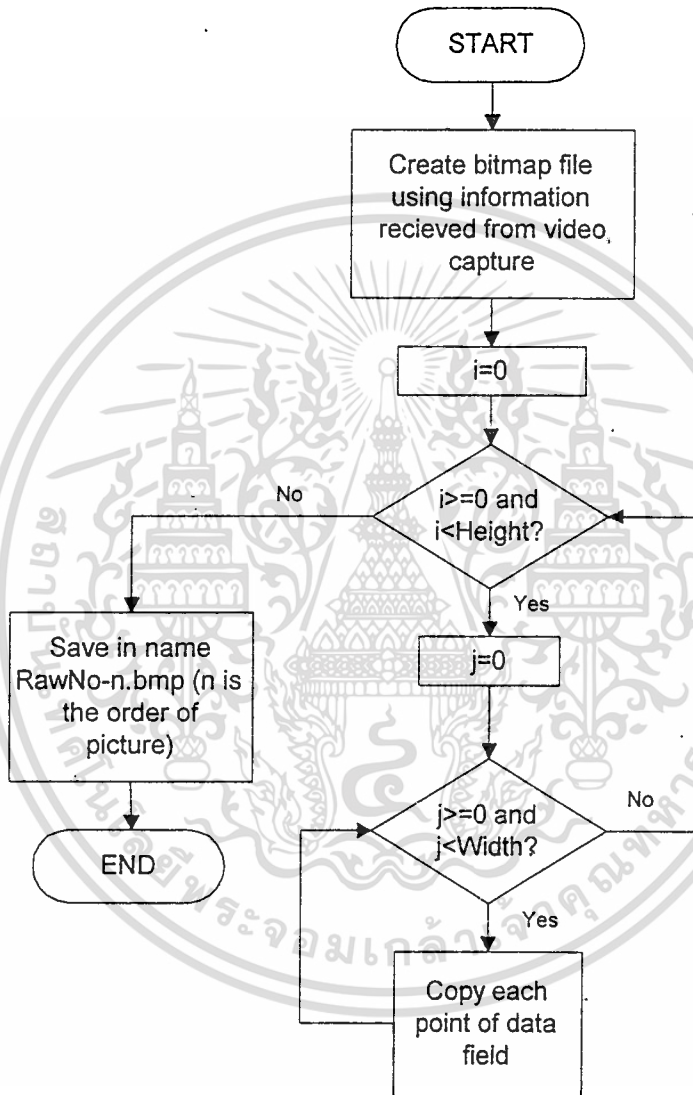
1 Receive Frame and Get Information



รูปที่ 8.4 Flow chart แสดงการรับภาพและข้อมูลภาพจากกล้องวิดีโอ

เอกสารนี้เป็นเอกสารที่สงวนไว้สำหรับการใช้งานเพื่อการศึกษาเท่านั้น ไม่อนุญาตให้นำไปใช้ประโยชน์ด้านการค้าไม่ว่ากรณีใดๆ ทั้งสิ้น อีกทั้งห้ามมิให้ตัดแปลงเนื้อหา และต้องอ้างอิงถึงเจ้าของเอกสารทุกครั้งที่มีการนำไปใช้

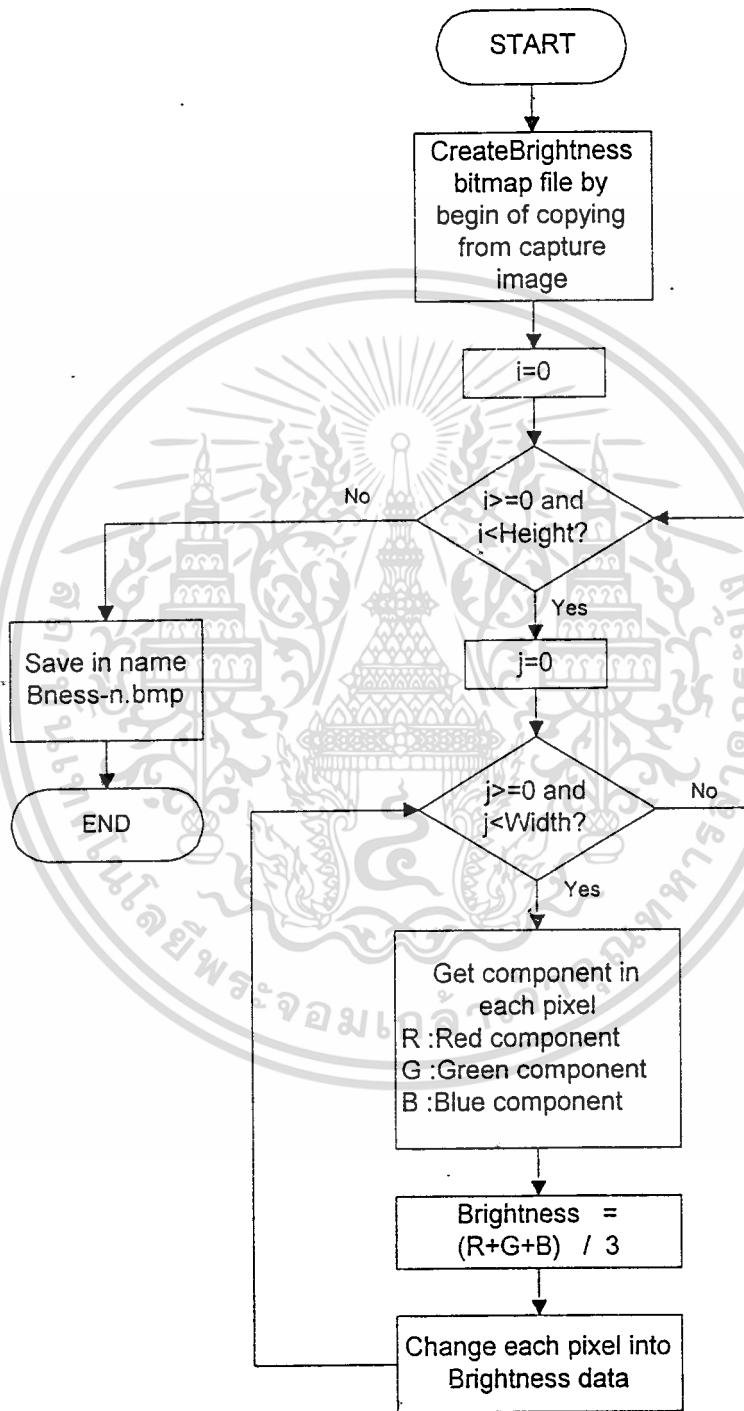
2 Create Bitmap File and Save to Disk



รูปที่ 8.5 Flow chart แสดงการสร้าง bitmap file จากภาพที่ Capture มาแล้วแสดงผล

เอกสารนี้เป็นเอกสารที่สงวนไว้สำหรับการใช้งานเพื่อการศึกษาเท่านั้น ไม่อนุญาตให้นำไปใช้ประโยชน์ด้านการค้า ไม่ว่าจะกรณีใดๆ ทั้งสิ้น อีกทั้งห้ามมิให้ดัดแปลงเนื้อหา และต้องอ้างอิงถึงเจ้าของเอกสารทุกครั้งที่มีการนำไปใช้

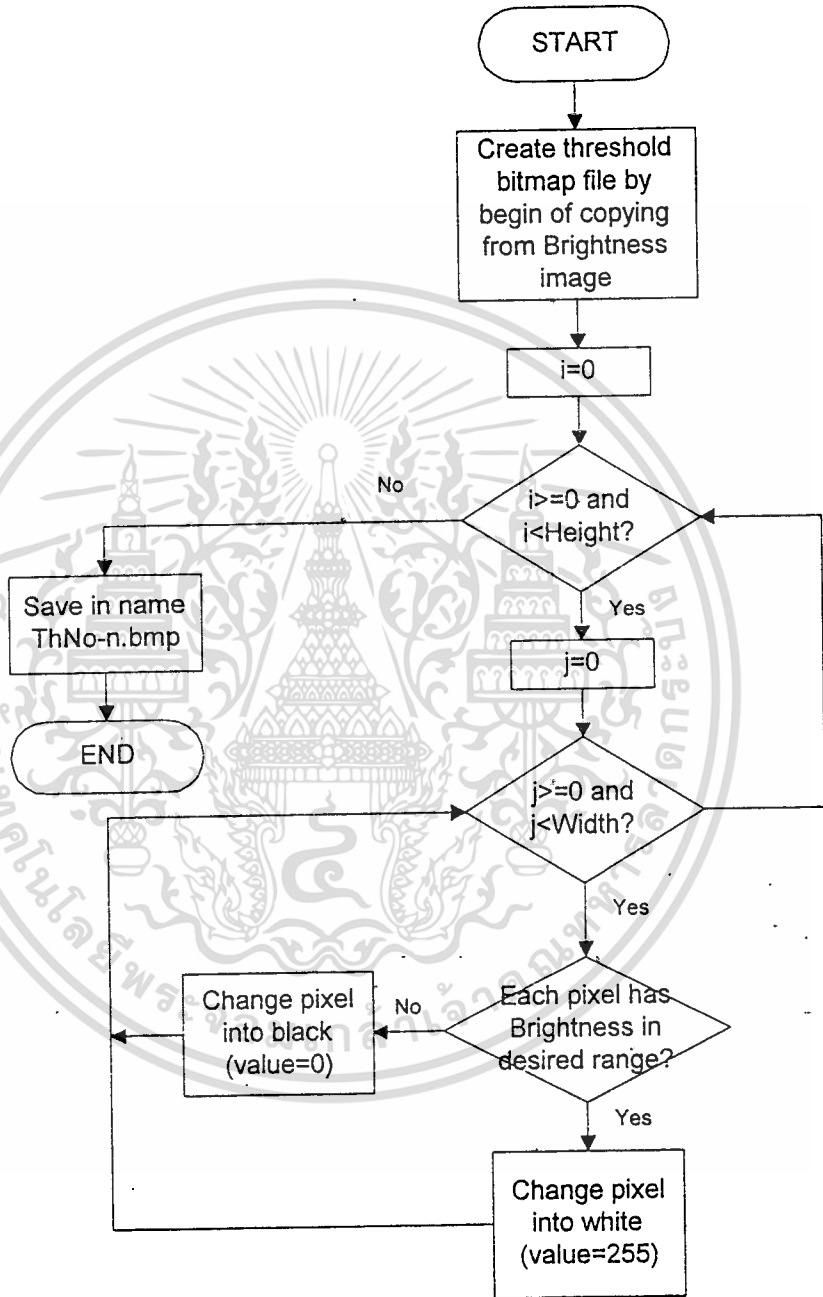
3 Convert Color Bitmap into Brightness Bitmap and Save to Disk



รูปที่ 8.6 Flowchart แสดงการ convert ภาพจาก color bmp เป็น brightness bmp

เอกสารนี้เป็นเอกสารที่สงวนไว้สำหรับการใช้งานเพื่อการศึกษาเท่านั้น ไม่อนุญาตให้นำไปใช้ประโยชน์ด้านการค้า
ไม่ว่ากรณีใดๆ ทั้งสิ้น อีกทั้งห้ามมิให้ตัดแปลงเนื้อหา และต้องอ้างอิงถึงเจ้าของเอกสารทุกครั้งที่มีการนำไปใช้

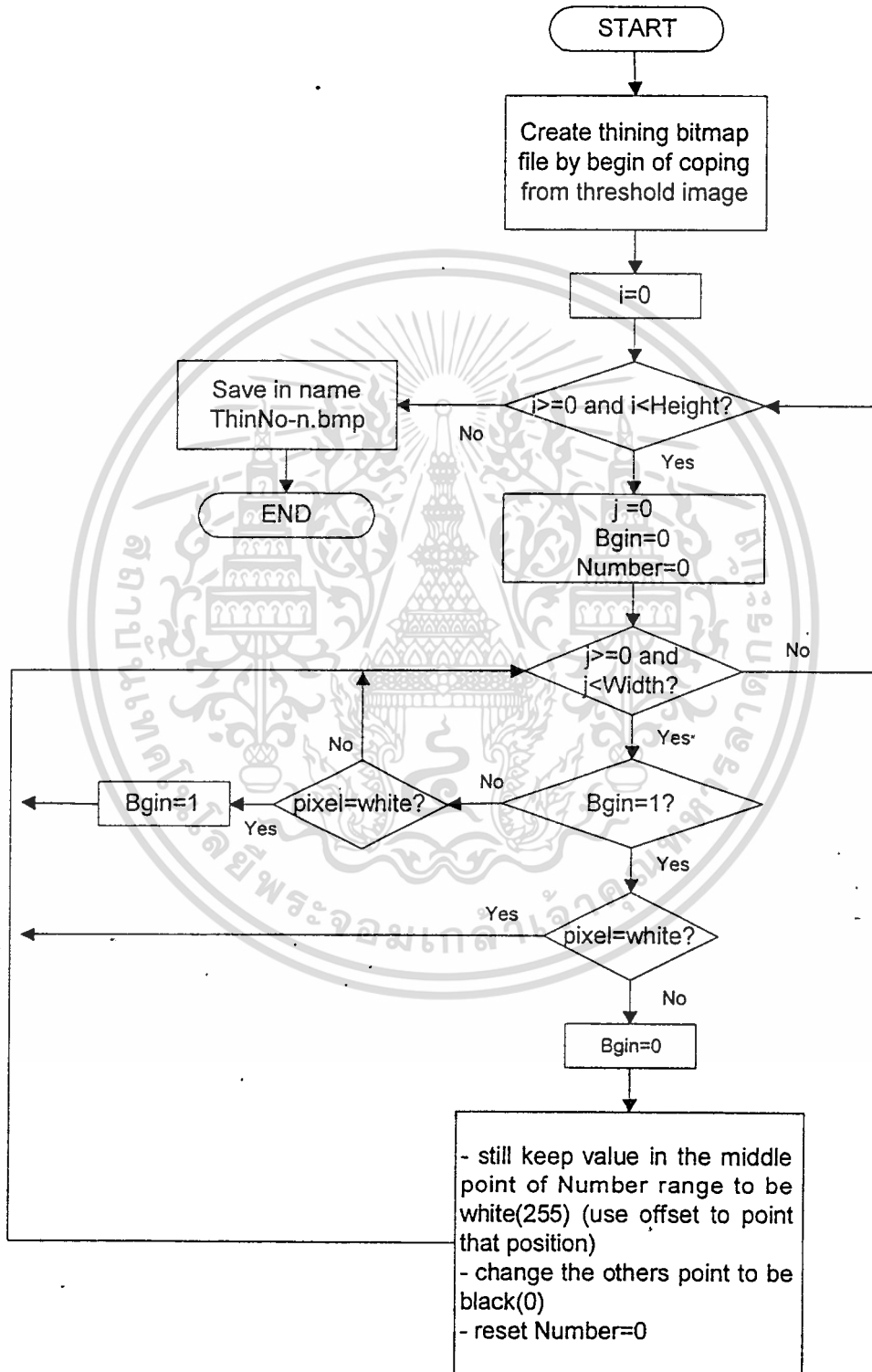
4 Threshold Bitmap and Save to Disk



รูปที่ 8.7 Flow chart แสดงขั้นตอนการทำ threshold

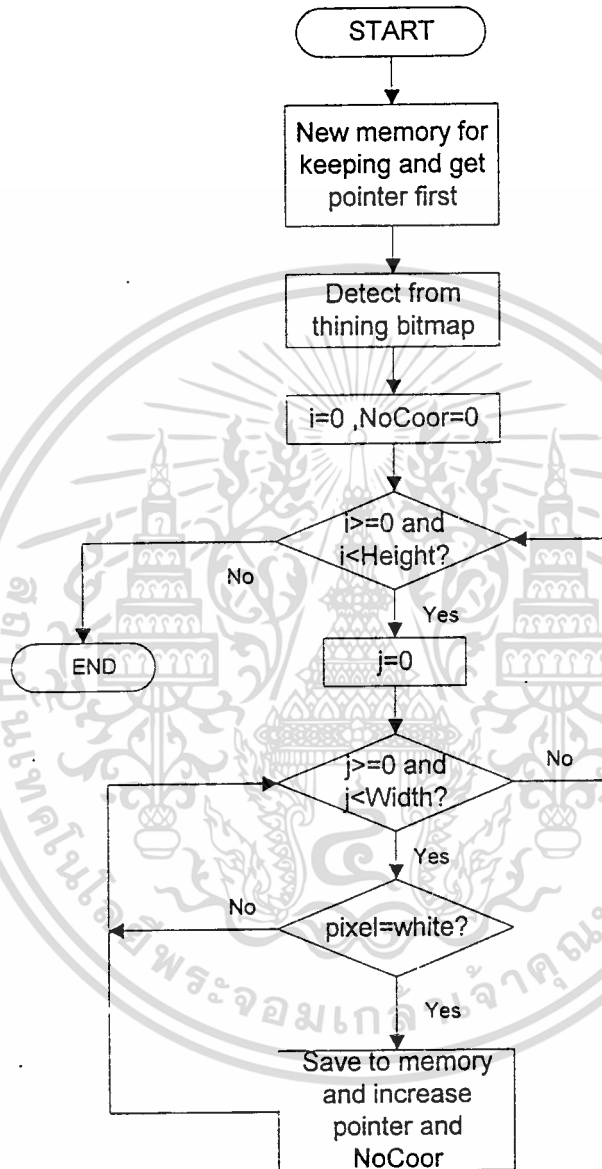
เอกสารนี้เป็นเอกสารที่สงวนไว้สำหรับการใช้งานเพื่อการศึกษาเท่านั้น ไม่อนุญาตให้นำไปใช้ประโยชน์ด้านการค้า ไม่ว่าจะกรณีใดๆ ทั้งสิ้น อีกทั้งห้ามมิให้ดัดแปลงเนื้อหา และต้องอ้างอิงถึงเจ้าของเอกสารทุกครั้งที่มีการนำไปใช้

5 Thining Bitmap and Save to Disk



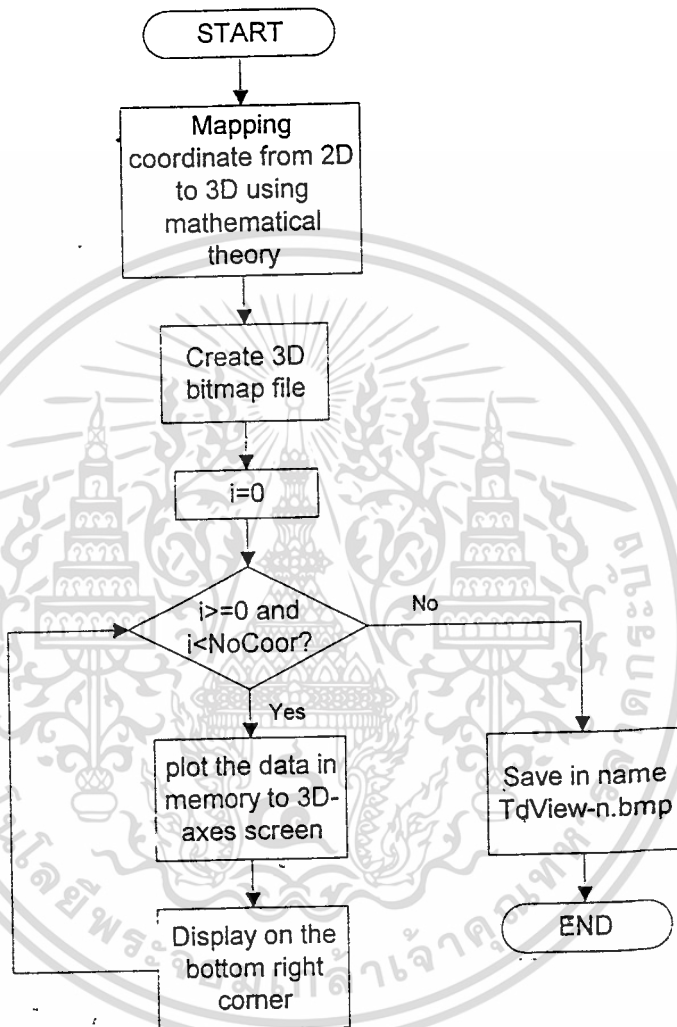
เอกสารนี้เป็นเอกสารที่สงวนไว้สำหรับรูปที่ 8.8 Flow chart แสดงขั้นตอนการทำ thinning นำไปใช้ประโยชน์ด้านการค้า
 ไม่ว่าจะกรณีใดๆ ทั้งสิ้น อีกทั้งห้ามมิให้คัดแปลงเนื้อหา และต้องอ้างอิงถึงเจ้าของเอกสารทุกครั้งที่มีการนำไปใช้

6 Keep Coordinate of Thining Bitmap



รูปที่ 8.9 Flow chart แสดงขั้นตอนการเก็บ coordinate ของข้อมูลภาพจาก thining bmp

7 Display those coordinate 3D-axes screen on the bottom right corner and Save to disk



รูปที่ 8.10 Flow chart แสดงการ plot ภาพบนแกน 3 มิติ

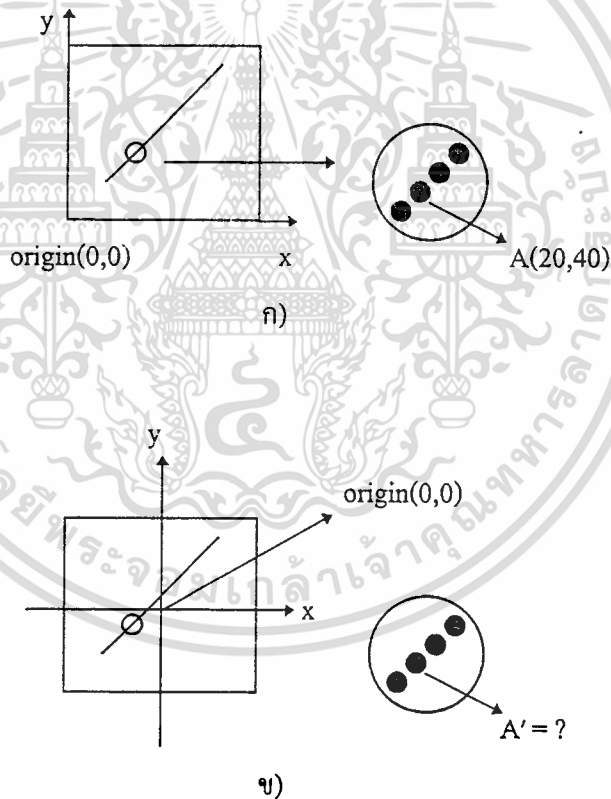
เอกสารนี้เป็นเอกสารที่สงวนไว้สำหรับการใช้งานเพื่อการศึกษาเท่านั้น ไม่อนุญาตให้นำไปใช้ประโยชน์ด้านการค้า ไม่ว่าจะกรณีใดๆ ทั้งสิ้น อีกทั้งห้ามมิให้ดัดแปลงเนื้อหา และต้องอ้างอิงถึงเจ้าของเอกสารทุกครั้งที่มีการนำไปใช้

8.3 หลักการของการสร้างโครงสร้าง 3 มิติ

8.3.1) การหาตำแหน่งของวัตถุในระนาบตั้งฉาก

โดยอาศัยหลักการทางคณิตศาสตร์ในการหาจุดตัดระหว่างระนาบของเลเซอร์กับสมการเส้นตรงซึ่งได้จากภาพที่รับจากกล้องกับจุดสังเกต (แทนจุดโฟกัสของกล้อง) ซึ่งจุดตัดนั้น ก็คือ จุดบนวัตถุที่เราต้องการนั่นเอง

- 1) จากขั้นตอนการทำ Thining ทำให้ได้ภาพ 2 มิติในแต่ละมุมของวัตถุซึ่งภาพที่ได้เหล่านี้มีจุด origin (0,0) ที่มุมล่างซ้ายของภาพ ดังนั้นจึงทำการ translate จุด origin ไปอยู่ที่จุดกึ่งกลางของภาพ เพื่อใช้หลักการทางคณิตศาสตร์คำนวณ ซึ่งแสดงได้ดังรูป 8.11



รูปที่ 8.11 แสดงการ translate จุด origin ของภาพ 2 มิติ

ก) ภาพ 2 มิติที่ได้จากกล้อง ข) ภาพ 2 มิติที่ translate จุด origin แล้ว

2) การ translate จุด origin ในขั้นตอนที่ 1 จะใช้หลักการ translation 2 มิติ ซึ่งได้อธิบายในหัวข้อ 7.1.2 โดยใช้ matrix ดังสมการ (8.2)

$$[X^* \ Y^* \ 1] = [X \ Y \ 1] \begin{bmatrix} 1 & 0 & 0 \\ 0 & 1 & 0 \\ -W/2 & -H/2 & 1 \end{bmatrix} \quad (8.2)$$

เมื่อ (x,y) เป็นจุดบนภาพที่รับจากกล้องซึ่งมี Origin อยู่ที่มุมล่างซ้ายของภาพ

เมื่อ (x^*,y^*) เป็นจุดที่เกิดจากการ translate (x,y) หลังจากการย้าย Origin

W เป็นความกว้างของภาพตามแนวแกน x

H เป็นความสูงของภาพตามแนวแกน y

ซึ่งภาพที่รับมาจากกล้องมี $W=160$ pixels และ $H=120$ pixels ดังนั้นเมื่อ translate origin ตามสมการ (8.2) แล้ว จะได้ Coordinate ใหม่ของจุด A คือ A'

3) กำหนด Z_C และ Z_E บนแกน Z (เพื่อสะดวกในการคำนวณ) โดยให้

Z_C เป็นระยะทางจากวัตถุมายังภาพ

Z_E เป็นระยะทางจากภาพมายังจุดสังเกต

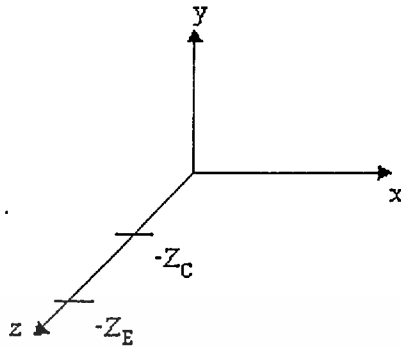
ทำให้เราได้ตำแหน่ง origin ของภาพที่รับมาซึ่งในขณะนี้อยู่ที่จุดกึ่งกลางภาพแล้ว คือ

$$P_{OC} = (0, 0, -Z_C)$$

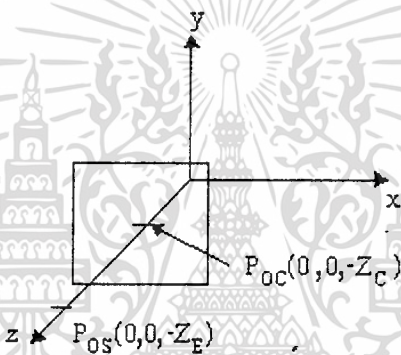
และได้ตำแหน่งของจุดสังเกต คือ

$$P_{OS} = (0, 0, -Z_E)$$

ผังรูปที่ 8.12



ก)



ข)

รูปที่ 8.12 รูปแสดงตำแหน่งของ Z_E, Z_C และระนาบของภาพบนแกน 3 มิติ

ก) แสดงตำแหน่งของ Z_E, Z_C ข) ระนาบของภาพ

4) หาสมการเส้นตรงระหว่างจุดสังเกตกับจุดบนภาพใดๆ P_i

กำหนดให้ $P_i = (X_i, Y_i, -Z_C)$ เป็นพิกัดของจุด A' บนระนาบ

การหาสมการเส้นตรงระหว่างจุด 2 จุดคือ $P_1 (X_1, Y_1, Z_1)$ และ $P_2 (X_2, Y_2, Z_2)$

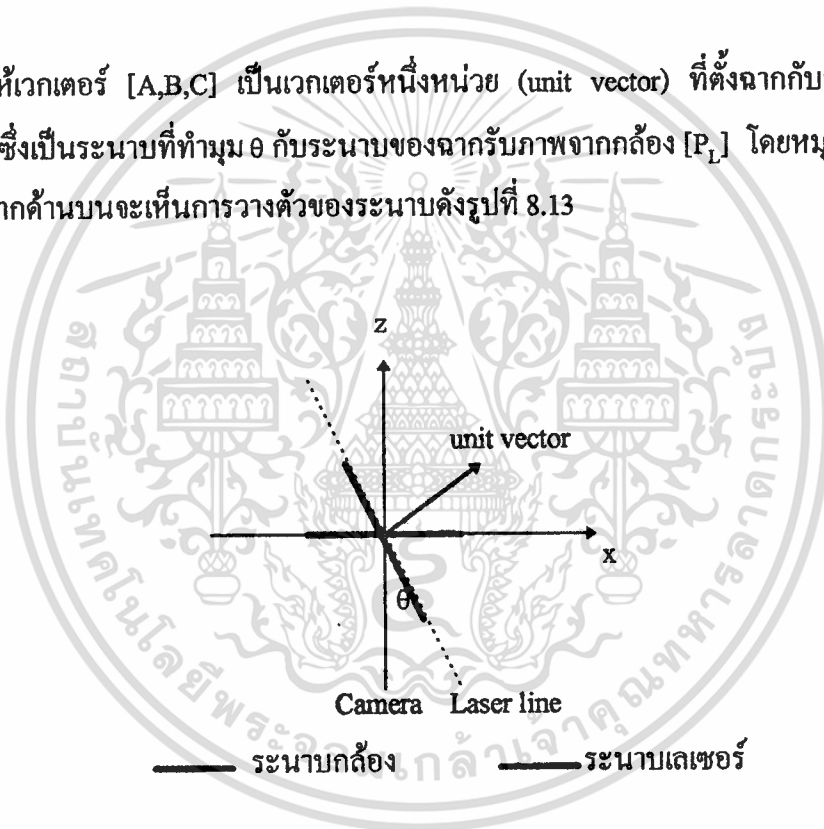
ในระบบ 3 มิติ จะได้สมการเส้นตรง คือ

$$L_i = \begin{bmatrix} X = X_1 + t(X_2 - X_1) \\ Y = Y_1 + t(Y_2 - Y_1) \\ Z = Z_1 + t(Z_2 - Z_1) \end{bmatrix}$$

จากรูปที่ 8.12 จุด P_1 ก็คือจุด $P_{OS}(0, 0, -Z_E)$ และจุด P_2 ก็คือจุด $P_{OC}(0, 0, -Z_C)$ ดังนั้น เอกสารนี้เป็นเอกสารที่สงวนไว้สำหรับการใช้งานเพื่อการศึกษาเท่านั้น ไม่อนุญาตให้นำไปใช้ประโยชน์ด้านการค้า ไม่ว่ากรณีใดๆ ทั้งสิ้น อีกทั้งห้ามมิให้ตัดแปลงเนื้อหา และต้องอ้างอิงถึงเจ้าของเอกสารทุกครั้งที่มีการนำไปใช้

$$\begin{aligned}
 Li &= \begin{bmatrix} X = 0 + tX_i \\ Y = 0 + tY_i \\ Z = -Z_E + t(-Z_C + Z_E) \end{bmatrix} \\
 &= \begin{bmatrix} X = tX_i \\ Y = tY_i \\ Z = -Z_E + (Z_E - Z_C)t \end{bmatrix}
 \end{aligned} \tag{8.3}$$

5) ให้เวกเตอร์ $[A, B, C]$ เป็นเวกเตอร์หนึ่งหน่วย (unit vector) ที่ตั้งฉากกับระนาบของเลเซอร์ $[V_L]$ ซึ่งเป็นระนาบที่ทำมุม θ กับระนาบของฉากรับภาพจากกล้อง $[P_L]$ โดยหมุนรอบแกน y ซึ่งถ้ามองจากด้านบนจะเห็นการวางตัวของระนาบดังรูปที่ 8.13



รูปที่ 8.13 แสดงการวางตัวของระนาบกล้องและระนาบเลเซอร์

ดังนั้น unit vector ที่ตั้งฉากกับระนาบเลเซอร์ที่ได้คือ $(\sin\theta, 0, \cos\theta)$ จากสมการระนาบใด ๆ

$$AX + BY + CZ = D \tag{8.4}$$

โดยที่ (A, B, C) คือ unit vector ที่ตั้งฉากกับระนาบ ดังนั้นจะได้ว่า

เอกสารนี้เป็นเอกสารที่สงวนไว้สำหรับการใช้งานเพื่อการศึกษาเท่านั้น ไม่อนุญาตให้นำไปใช้ประโยชน์ด้านการค้า ไม่ว่ากรณีใดๆ ทั้งสิ้น อีกทั้งห้ามมิให้ดัดแปลงเนื้อหา และต้องอ้างอิงถึงเจ้าของเอกสารทุกครั้งที่มีการนำไปใช้

$$A = \sin \theta$$

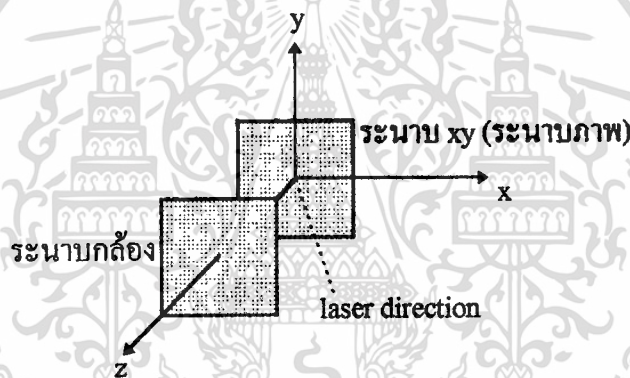
$$B = 0$$

$$C = \cos \theta$$

ดังนั้น unit vector $V_L = [\sin \theta, 0, \cos \theta]$

$$\text{และระนาบของเลเซอร์ } [P_L] \text{ คือ } X \sin \theta + Z \cos \theta = 0 \quad (8.5)$$

6) หาระนาบของเลเซอร์ $[P_L]$ เนื่องจากภาพที่รับมาได้ในแต่ละมุมของวัตถุเป็นภาพที่กล้องได้ถ่ายในลักษณะที่เอียงทำมุม θ กับจุดกำเนิดเลเซอร์ ซึ่งตำแหน่งของเส้นเลเซอร์ในภาพที่ได้มาจากการ Capture ภาพนั้นยังไม่เป็นตำแหน่งที่ถูกต้อง จึงต้องหาตำแหน่งบนระนาบของเลเซอร์ที่ถูกต้องโดยวิธีการดังนี้



รูปที่ 8.14 แสดงระนาบ xy ที่จุด origin

- 6.1) กำหนดให้แสงเลเซอร์ตัดผ่านจุด origin (0,0,0) ในแกน 3 มิติ
 - 6.2) กำหนดระนาบ xy ที่ origin (0,0,0) ดังรูปที่ 8.14 จะได้สมการระนาบที่ $Z=0$ และเวกเตอร์หนึ่งหน่วยตั้งฉากกับระนาบ (unit vector) คือ (0,0,1)
 - 6.3) หามุมระหว่างระนาบของกล้องกับระนาบของเลเซอร์ที่ได้จากการทดลองจากการวัด
 - 6.4) ทำการหมุนระนาบ xy ไปเป็นมุม θ โดยใช้สมการทางคณิตศาสตร์ที่กล่าวถึงในบทที่ 7
- 7) หาจุดของภาพจริงในระบบ 3 มิติ โดยแทนสมการเชิงเส้น (8.3) ลงในสมการระนาบของเลเซอร์ (8.5) เพื่อหาค่า t จะได้

$$t X_i \sin \theta + [- Z_E \cos \theta + (Z_E - Z_C) t \cos \theta] = 0$$

$$t [(Z_E - Z_C) \cos \theta + X_i \sin \theta] = Z_E \cos \theta$$

เอกสารนี้เป็นเอกสารที่สงวนไว้สำหรับการใช้งานเพื่อการศึกษาเท่านั้น ไม่อนุญาตให้นำไปใช้ประโยชน์ด้านการค้า ไม่ว่ากรณีใดๆ ทั้งสิ้น อีกทั้งห้ามมิให้ดัดแปลงเนื้อหา และต้องอ้างอิงถึงเจ้าของเอกสารทุกครั้งที่มีการนำไปใช้

$$\text{จะได้ } t = Z_E \cos \theta / (Z_E - Z_C) \cos \theta + X_i \sin \theta \quad (8.6)$$

นำค่า t ที่ได้จากสมการ (8.6) แทนในสมการ (8.3) จะได้จุดของภาพจริงที่จะนำมาแสดงในแต่ละองศาของการหมุนกล้องถ่ายภาพ

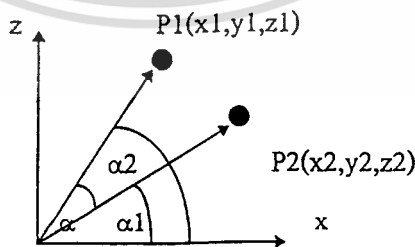
จากขั้นตอน 1-6 เราจะได้ระนาบเลเซอร์ระนาบแรกเป็นระนาบอ้างอิงซึ่งได้จากการรับภาพจากกล้องในขณะที่กล้อง ยังไม่ได้หมุนไปตามมุมต่างๆ และหลังจากขั้นตอน 7 ทำให้ได้จุดต่างๆ ในระนาบเลเซอร์ระนาบแรก ซึ่งจุดเหล่านี้เป็นจุดที่แสดงตำแหน่งของเส้นเลเซอร์ที่เรา detect ได้ อย่างถูกต้อง ทั้ง 7 ขั้นตอนนี้จะใช้เป็นอัลกอริทึมในการหาระนาบเลเซอร์ในทุกๆครั้งที่กล้องรับภาพมา แต่เมื่อกำลังหมุนไปเป็นมุมต่างๆเพื่อทำการรับภาพรอบวัตถุนั้น ระนาบเลเซอร์ของภาพที่รับมาจึงต้องหมุนไปตามมุมที่กล้องหมุนด้วยเพื่อเป็นระนาบจริง มิฉะนั้นภาพที่ display ออกมาที่มุมต่างๆ จะเกิดการซ้อนทับกันที่ตำแหน่งของระนาบอ้างอิง ดังนั้นขั้นตอนต่อไปจึงต้องหาตำแหน่งของวัตถุในระนาบจริงที่มุมใดๆ

8.3.2) การหาตำแหน่งของวัตถุในระนาบจริง

โดยการ rotate จุดบนระนาบตั้งฉากซึ่งผ่านกระบวนการทั้ง 7 ขั้นตอนในข้อ 8.3.1) ไปตามองศาการหมุนของกล้องในแต่ละสเตป

- ในการทดลองเราใช้การหมุนทั้งหมด 50 สเตป จึงครบรอบ(360°) ดังนั้นจะได้แต่ละสเตปเท่ากับ $360/50 = 7.2$ องศา

- ให้จุด P1 เป็นจุดที่อยู่บนระนาบ $y = y_1$ และต้องการจะหมุนรอบแกน y ตามเข็มนาฬิกาไปเป็นมุม α เราจะได้จุดใหม่ คือ P2



รูปที่ 8.15 แสดงการ rotate จุดบนระนาบรอบแกน y

- เนื่องจาก จุด P1 และ P2 อยู่บนระนาบ y_1 เหมือนกันจึงเปรียบเทียบเป็นการ rotation

ในระนาบ 2 มิติ

เอกสารนี้เป็นเอกสารที่สงวนไว้สำหรับการใช้งานเพื่อการศึกษาเท่านั้น ไม่อนุญาตให้นำไปใช้ประโยชน์ด้านการค้า

ไม่ให้ α_1 เป็นมุมที่ P1 ทำกับแกน x และต้องอ้างอิงถึงเจ้าของเอกสารทุกครั้งที่มีการนำไปใช้

$$\begin{aligned}x_1 &= r \cos \alpha_1 \\z_1 &= r \sin \alpha_1\end{aligned}\quad (8.7)$$

- ต้องการหมุนรอบแกน y ไปเป็นมุม เพราะฉะนั้นจะได้ P_2 ทำมุม $\alpha_2 = \alpha_1 - \alpha$ องศา

$$\begin{aligned}x_2 &= r \cos \alpha_2 = r \cos(\alpha_1 - \alpha) \\z_2 &= r \sin \alpha_2 = r \sin(\alpha_1 - \alpha)\end{aligned}$$

กระจายพจน์ $\cos(\alpha_1 - \alpha)$ และ $\sin(\alpha_1 - \alpha)$ ได้

$$\begin{aligned}x_2 &= r \cos \alpha_1 \cos \alpha_2 + r \sin \alpha_1 \sin \alpha_2 \\z_2 &= r \sin \alpha_1 \cos \alpha_2 - r \cos \alpha_1 \sin \alpha_2\end{aligned}\quad (8.8)$$

จากสมการ (8.7) จะได้

$$\begin{aligned}x_2 &= x_1 \cos \alpha_2 + z_1 \sin \alpha_2 \\z_2 &= z_1 \cos \alpha_2 - x_1 \sin \alpha_2\end{aligned}\quad (8.9)$$

- นำค่า x_1, z_1 ของแต่ละจุดที่ได้จากระนาบตั้งฉากมาแทนในสมการ (8.9) จะได้จุดบนวัตถุจริงออกมา

- เป็นค่า α ตามสเตปการหมุน โดยเริ่มที่ $0, 7.2, 14.4, \dots, 352.8$

$$\alpha_n = 7.2(n-1)\quad (8.10)$$

- นำจุดบนวัตถุจริงของแต่ละสเตปมา plot รวมกันก็จะได้โครงร่าง 3 มิติออกมา

บทที่ 9

ผลการทดลอง

9.1 การ Set อุปกรณ์

- 1) จัดให้มุมระหว่างกล้องกับเลเซอร์มีขนาดประมาณ 25 องศา
- 2) ต่อ Connector จากการ์ดพอร์ทขนานที่เสียบอยู่กับ ISA Slot เข้ากับชุดควบคุมการหมุนของสเตปมอเตอร์
- 3) จ่ายไฟเลี้ยงให้กับชุดเลเซอร์และชุดควบคุมการหมุนสเตปมอเตอร์
- 4) จำลองพื้นที่มีดในการทดลอง โดยในที่นี้จะใช้กล่องขนาดใหญ่ครอบชุดmechanicทั้งหมด

9.2 วิธีทดลอง

- 1) นำวัตถุที่จะสแกนมาวางบนแท่นสแกน
- 2) ปิดฝาครอบกล่องที่นำมาจำลองเป็นพื้นที่มีดในการทดลอง
- 3) ทำการRun โปรแกรม 3D-Scanner
- 4) สังเกตผลการทดลองที่ได้ในแต่ละสเตปการหมุนบนหน้าจอมอนิเตอร์

9.3 ผลการทดลอง

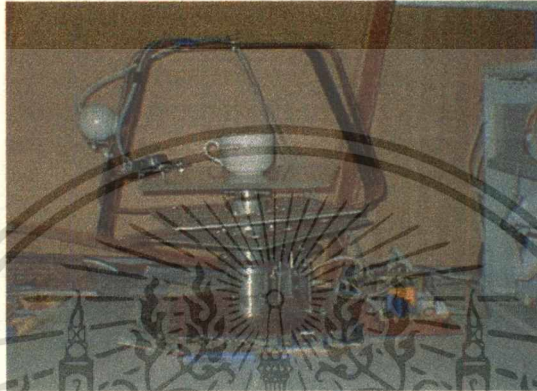
สำหรับผลการทดลองในภาคเรียนที่ 2 นี้ จะเป็นผลที่เสร็จสมบูรณ์ทั้งหมดของโครงการนี้ ซึ่งมีเป้าหมาย คือ นำภาพที่ได้จากกล้องมาประมวลผลภาพแล้วนำไป plot ให้ออกมาเป็นรูปแบบของภาพ 3 มิติบนหน้าจอมอนิเตอร์ โดยในส่วนของ การประมวลผลนั้นก็ ได้แก่ การ detect แนวเส้นเลเซอร์จากภาพ (การทำ threshold) จากนั้นก็ทำ thinning แนวเส้นเลเซอร์นั้นๆ แล้วนำมา plot เพื่อแสดงบนหน้าจอมอนิเตอร์ ทำเช่นนี้ทุกสเตปของการหมุนจนครบรอบวัตถุก็จะได้ภาพที่สมบูรณ์ของวัตถุนั้น

การหมุนของสเตปมอเตอร์จะขึ้นอยู่กับลอจิกที่ส่งออกมาที่การ์ดพอร์ทขนาน ซึ่งจะทำให้มอเตอร์หมุนไปในมุมต่างๆของวัตถุออกมาซึ่งสเตปมอเตอร์ที่ใช้จะหมุนด้วยมุม 1.8 องศา/สเตป แต่ในโครงการนี้จะทำการสแกนโดยหมุนไปครั้งละ 7.2 องศาแล้วทำการ capture ภาพ เนื่องจากใน

เอกสารนี้เป็นเอกสารที่สงวนไว้สำหรับการใช้งานเพื่อการศึกษาเท่านั้น ไม่อนุญาตให้นำไปใช้ประโยชน์ด้านการค้า ไม่ว่ากรณีใดๆ ทั้งสิ้น อีกทั้งห้ามมิให้คัดแปลงเนื้อหา และต้องอ้างอิงถึงเจ้าของเอกสารทุกครั้งที่มีการนำไปใช้

การประมวลผลภาพนั้นใช้เวลาค่อนข้างนานจึงทำการสแกนเพียง 7.2 องศาต่อ 1 ครั้งหรือ 50 ครั้งต่อ 1 รอบวัตถุนั่นเอง

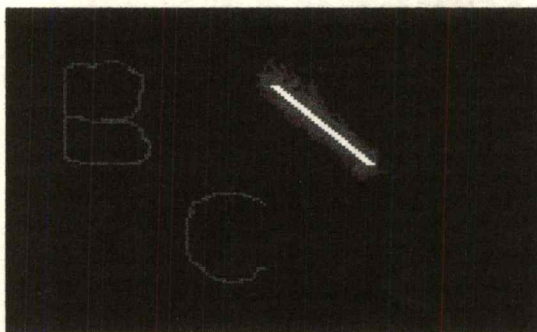
ภาพต่อไปนี้เป็นภาพตัวอย่างที่ได้จากการทดลอง Run โปรแกรม ซึ่งจะแสดงการประมวลผลภาพทุกขั้นตอนในแต่ละสเตปของการหมุนกล้อง



รูปที่ 9.1 แสดง โครงสร้างของ 3D-SCANNER

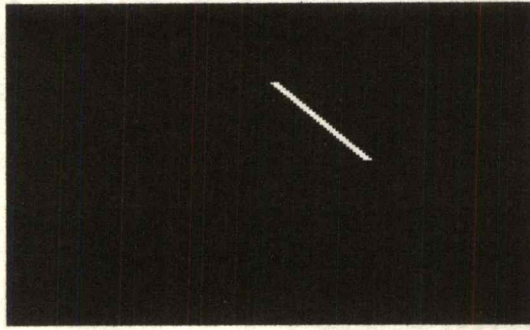


รูปที่ 9.2 แสดงภาพที่สร้างขึ้นเองเพื่อนำมาทดสอบกับ โปรแกรมในทุกๆสเตป



รูปที่ 9.3 แสดงภาพที่ผ่านการแปลงเป็นภาพ Brightness แล้ว

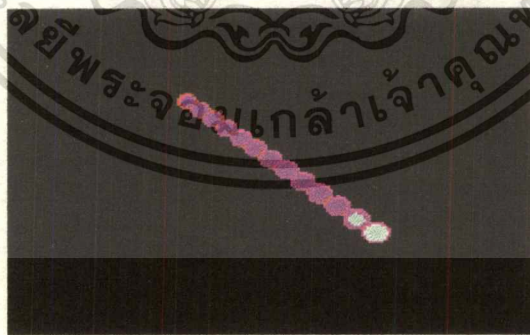
เอกสารนี้เป็นเอกสารที่สงวนไว้สำหรับการใช้งานเพื่อการศึกษาเท่านั้น ไม่อนุญาตให้นำไปใช้ประโยชน์ด้านการค้าไม่ว่ากรณีใดๆ ทั้งสิ้น อีกทั้งห้ามมิให้คัดแปลงเนื้อหา และต้องอ้างอิงถึงเจ้าของเอกสารทุกครั้งที่มีการนำไปใช้



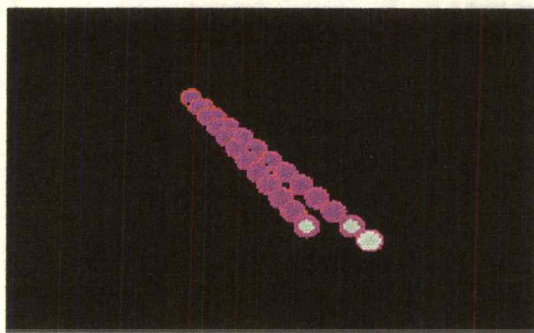
รูปที่ 9.4 แสดงภาพที่ได้จากการทำ Threshold



รูปที่ 9.5 แสดงภาพที่ได้จากการทำ Thining



รูปที่ 9.6 แสดงภาพโครงร่าง 3 มิติที่ได้จากการประมวลผลภาพที่สร้างขึ้นในสเตปที่ 1



รูปที่ 9.7 แสดงภาพ โครงร่าง 3 มิติที่ได้จากการประมวลผลภาพที่สร้างขึ้นในสแตปที่ 2

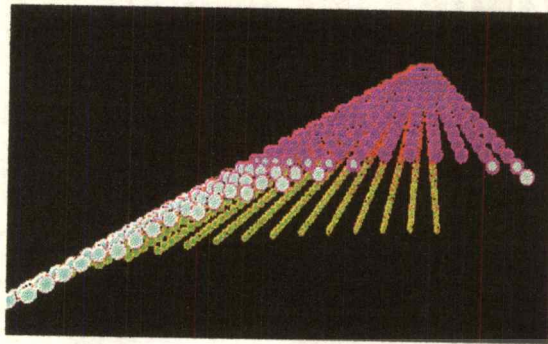


รูปที่ 9.8 แสดงภาพ โครงร่าง 3 มิติที่ได้จากการประมวลผลภาพที่สร้างขึ้นในสแตปที่ 5



รูปที่ 9.9 แสดงภาพ โครงร่าง 3 มิติที่ได้จากการประมวลผลภาพที่สร้างขึ้นในสแตปที่ 15

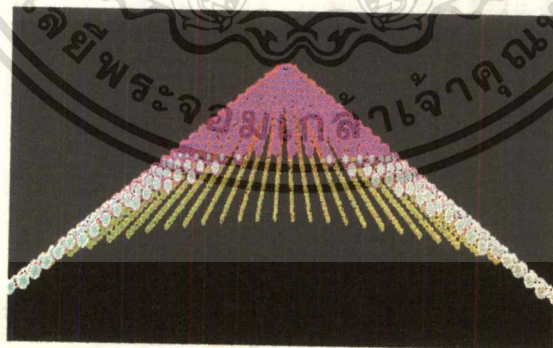
เอกสารนี้เป็นเอกสารที่สงวนไว้สำหรับการใช้งานเพื่อการศึกษาเท่านั้น ไม่อนุญาตให้นำไปใช้ประโยชน์ด้านการค้า
ไม่ว่ากรณีใดๆ ทั้งสิ้น อีกทั้งห้ามมิให้ดัดแปลงเนื้อหา และต้องอ้างอิงถึงเจ้าของเอกสารทุกครั้งที่มีการนำไปใช้



รูปที่ 9.10 แสดงภาพโครงร่าง 3 มิติที่ได้จากการประมวลผลภาพที่สร้างขึ้นในสไลด์ที่ 30

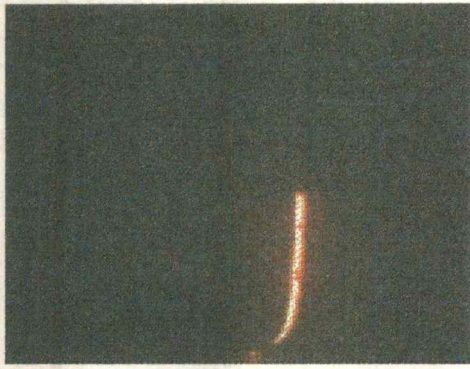


รูปที่ 9.11 แสดงภาพโครงร่าง 3 มิติที่ได้จากการประมวลผลภาพที่สร้างขึ้นในสไลด์ที่ 40

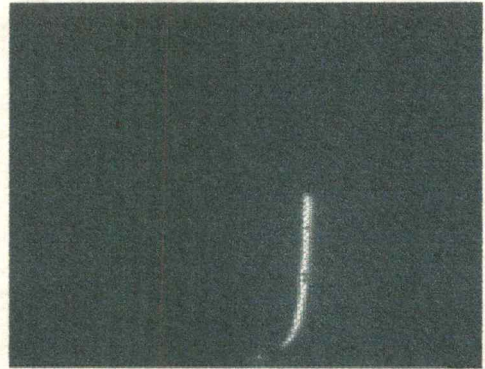


รูปที่ 9.12 แสดงภาพโครงร่าง 3 มิติที่ได้จากการประมวลผลภาพที่สร้างขึ้นในสไลด์ที่ 50

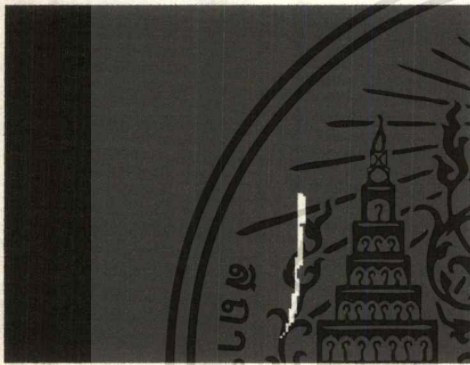
เอกสารนี้เป็นเอกสารที่สงวนไว้สำหรับการใช้งานเพื่อการศึกษาเท่านั้น ไม่อนุญาตให้นำไปใช้ประโยชน์ด้านการค้า
ไม่ว่ากรณีใดๆ ทั้งสิ้น อีกทั้งห้ามมิให้ดัดแปลงเนื้อหา และต้องอ้างอิงถึงเจ้าของเอกสารทุกครั้งที่มีการนำไปใช้



(a)



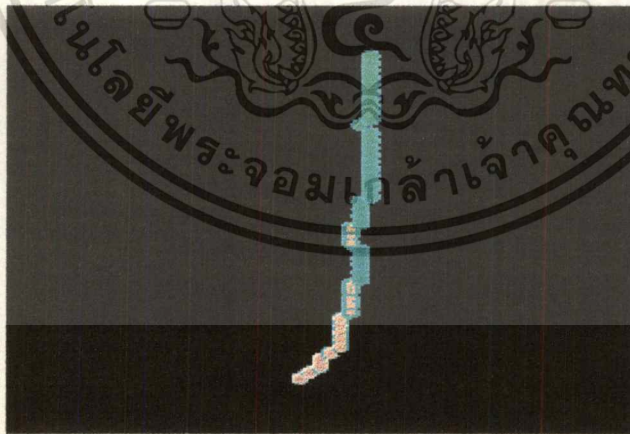
(b)



(c)



(d)



(e)

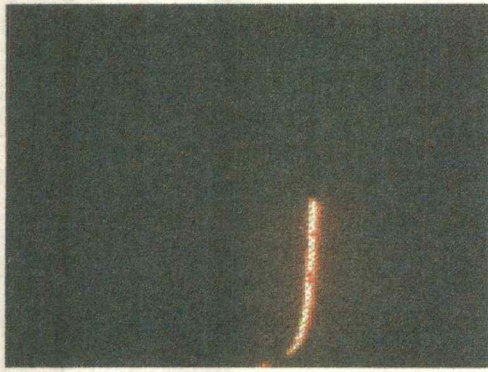
รูปที่ 9.13 แสดงภาพที่ได้จากการประมวลผลของภาพที่รับจากกล้องสเตปที่ 1

(a) ภาพที่ได้จากการ Capture (b) ภาพที่ได้จากการทำ Brightness

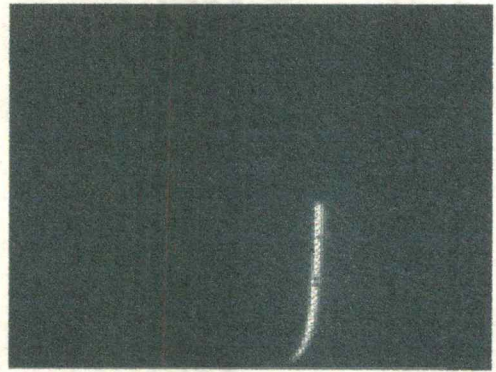
(c) ภาพที่ได้จากการทำ Threshold (d) ภาพที่ได้จากการทำ Thining

(e) ภาพโครงร่าง 3 มิติที่สร้างได้

เอกสารนี้เป็นเอกสารที่สงวนไว้สำหรับการใช้งานเพื่อการศึกษาเท่านั้น ไม่อนุญาตให้นำไปใช้ประโยชน์ด้านการค้า
ไม่ว่ากรณีใดๆ ทั้งสิ้น อีกทั้งห้ามมิให้ดัดแปลงเนื้อหา และต้องอ้างอิงถึงเจ้าของเอกสารทุกครั้งที่มีการนำไปใช้



(a)



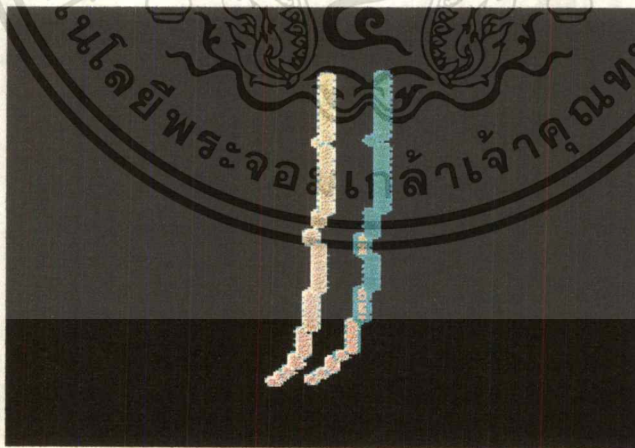
(b)



(c)



(d)



(e)

รูปที่ 9.14 แสดงภาพที่ได้จากการประมวลผลของภาพที่รับจากกล้องสเตปที่ 2

(a) ภาพที่ได้จากการ Capture

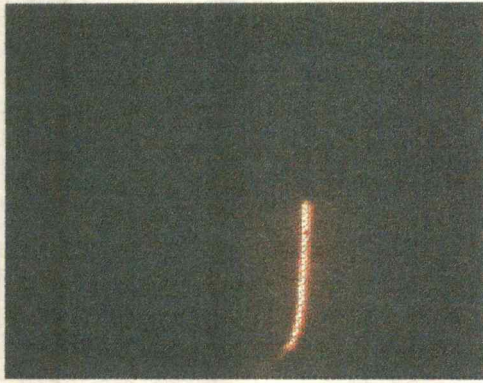
(b) ภาพที่ได้จากการทำ Brightness

(c) ภาพที่ได้จากการทำ Threshold

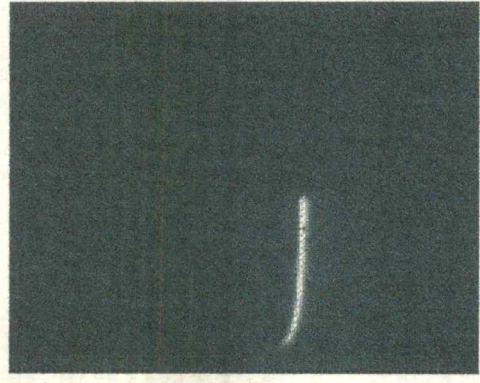
(d) ภาพที่ได้จากการทำ Thining

(e) ภาพโครงร่าง 3 มิติที่สร้างได้

เอกสารนี้เป็นเอกสารที่สงวนลิขสิทธิ์ของมหาวิทยาลัยเทคโนโลยีพระจอมเกล้าเจ้าคุณทหารลาดกระบัง ไม่อนุญาตให้นำไปใช้ประโยชน์ด้านการค้า ไม่ว่ากรณีใดๆ ทั้งสิ้น อีกทั้งห้ามมิให้ตัดแปลงเนื้อหา และต้องอ้างอิงถึงเจ้าของเอกสารทุกครั้งที่มีการนำไปใช้



(a)

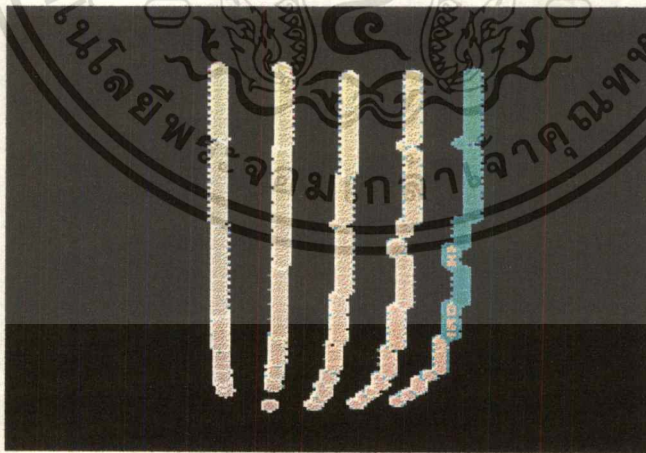


(b)



(c)

(d)



(e)

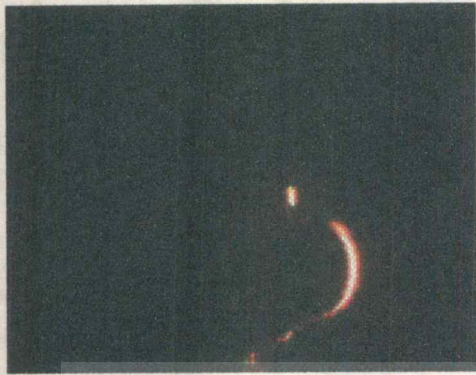
รูปที่ 9.15 แสดงภาพที่ได้จากการประมวลผลของภาพที่รับจากกล้องสเตปที่ 5

(a) ภาพที่ได้จากการ Capture (b) ภาพที่ได้จากการทำ Brightness

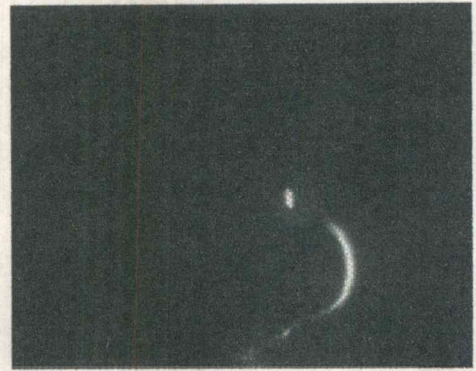
(c) ภาพที่ได้จากการทำ Threshold (d) ภาพที่ได้จากการทำ Thining

(e) ภาพโครงร่าง 3 มิติที่สร้างได้

เอกสารนี้เป็นเอกสารที่สงวนไว้สำหรับการใช้งานเพื่อการศึกษาเท่านั้น ไม่อนุญาตให้นำไปใช้ประโยชน์ด้านการค้า
ไม่ว่ากรณีใดๆ ทั้งสิ้น อีกทั้งห้ามมิให้ดัดแปลงเนื้อหา และต้องอ้างอิงถึงเจ้าของเอกสารทุกครั้งที่มีการนำไปใช้



(a)

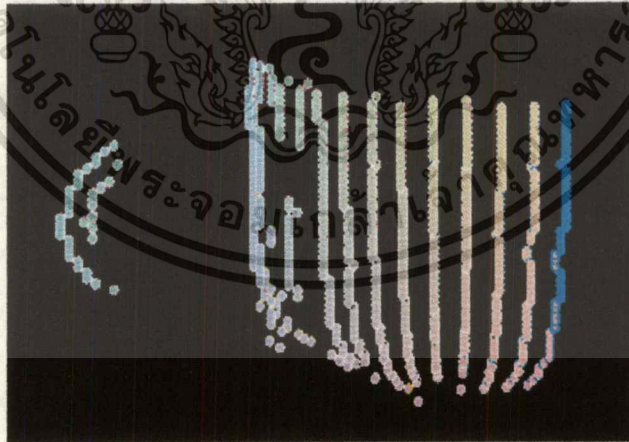


(b)



(c)

(d)

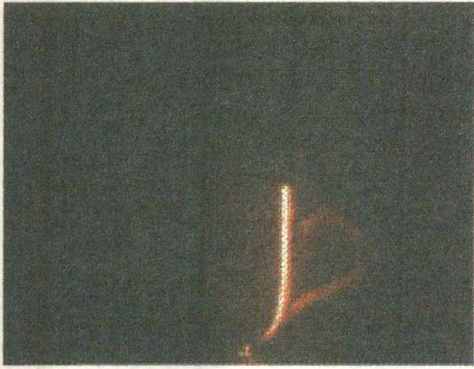


(e)

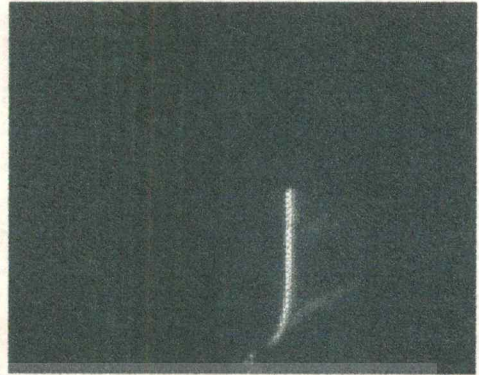
รูปที่ 9.16 แสดงภาพที่ได้จากการประมวลผลของภาพที่รับจากกล้องสเตปที่ 13

- (a) ภาพที่ได้จากการ Capture (b) ภาพที่ได้จากการทำ Brightness
 (c) ภาพที่ได้จากการทำ Threshold (d) ภาพที่ได้จากการทำ Thining
 (e) ภาพโครงร่าง 3 มิติที่สร้างได้

เอกสารนี้เป็นเอกสารที่สงวนไว้สำหรับการใช้งานเพื่อการศึกษาเท่านั้น ไม่อนุญาตให้นำไปใช้ประโยชน์ด้านการค้า
 ไม่ว่ากรณีใดๆ ทั้งสิ้น อีกทั้งห้ามมิให้ตัดแปลงเนื้อหา และต้องอ้างอิงถึงเจ้าของเอกสารทุกครั้งที่มีการนำไปใช้



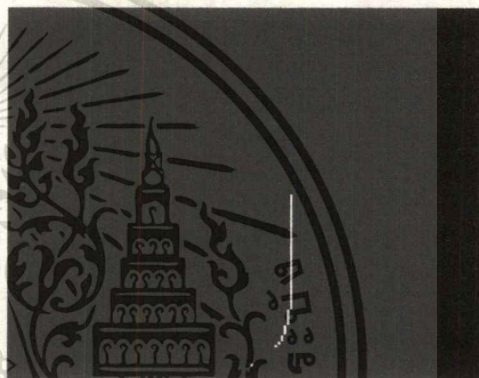
(a)



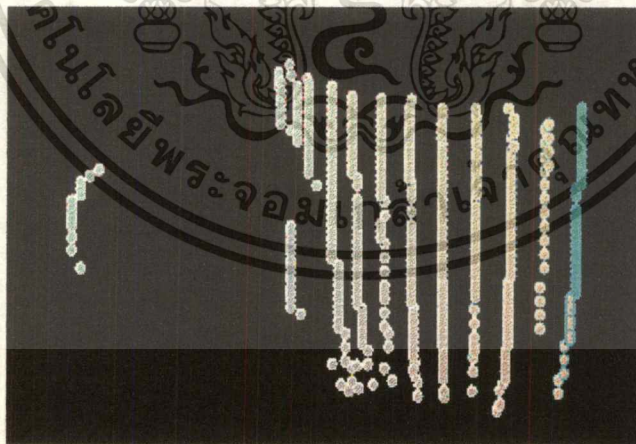
(b)



(c)



(d)



(e)

รูปที่ 9.17 แสดงภาพที่ได้จากการประมวลผลของภาพที่รับจากกล้องสเตปที่ 15

(a) ภาพที่ได้จากการ Capture

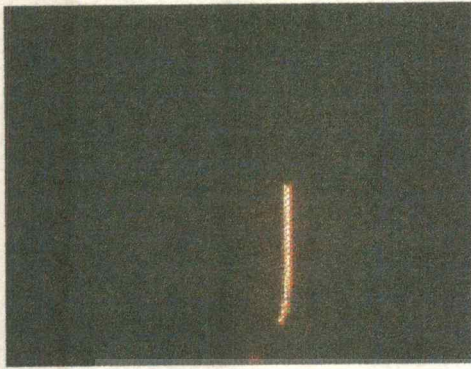
(b) ภาพที่ได้จากการทำ Brightness

(c) ภาพที่ได้จากการทำ Threshold

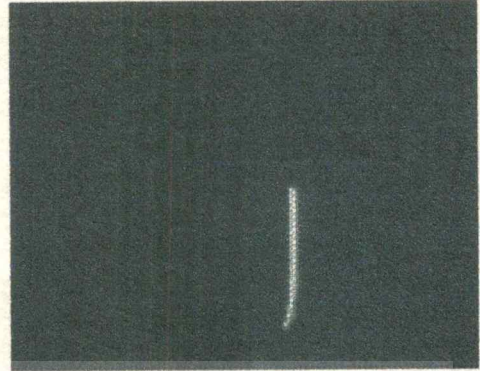
(d) ภาพที่ได้จากการทำ Thining

(e) ภาพโครงร่าง 3 มิติที่สร้างได้

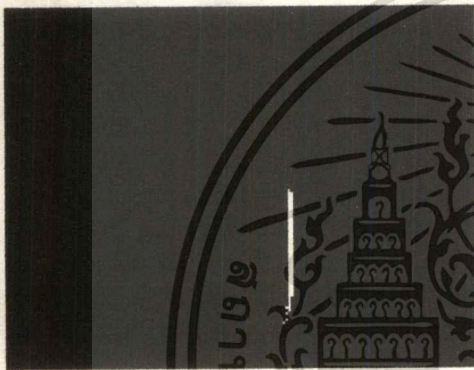
เอกสารนี้เป็นเอกสารที่สงวนไว้สำหรับการใช้งานเพื่อการศึกษาเท่านั้น ไม่อนุญาตให้นำไปใช้ประโยชน์ด้านการค้า ไม่ว่าจะกรณีใดๆ ทั้งสิ้น อีกทั้งห้ามมิให้ดัดแปลงเนื้อหา และต้องอ้างอิงถึงเจ้าของเอกสารทุกครั้งที่มีการนำไปใช้



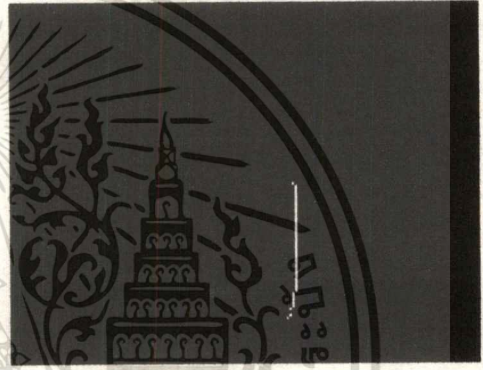
(a)



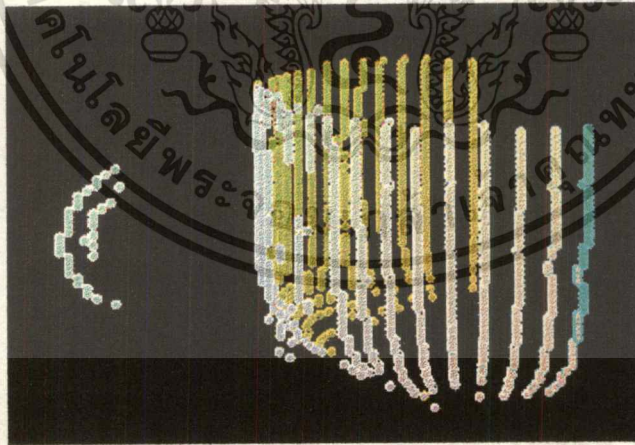
(b)



(c)



(d)

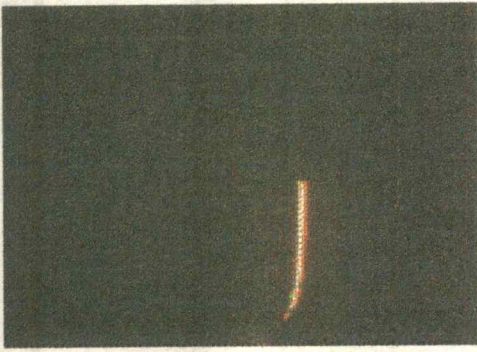


(e)

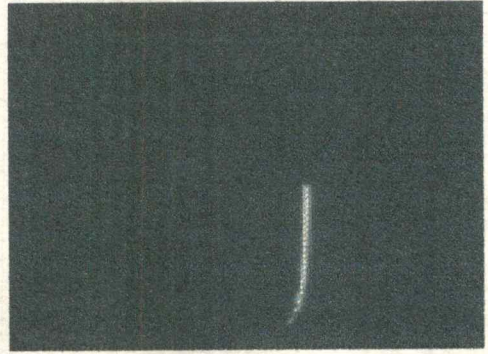
รูปที่ 9.18 แสดงภาพที่ได้จากการประมวลผลของภาพที่รับจากกล้องสเตปที่ 30

- (a) ภาพที่ได้จากการ Capture (b) ภาพที่ได้จากการทำ Brightness
 (c) ภาพที่ได้จากการทำ Threshold (d) ภาพที่ได้จากการทำ Thining
 (e) ภาพโครงร่าง 3 มิติที่สร้างได้

เอกสารนี้เป็นเอกสารที่สงวนไว้สำหรับการใช้งานเพื่อการศึกษาเท่านั้น ไม่อนุญาตให้นำไปใช้ประโยชน์ด้านการค้า
 ไม่ว่ากรณีใดๆ ทั้งสิ้น อีกทั้งห้ามมิให้ตัดแปลงเนื้อหา และต้องอ้างอิงถึงเจ้าของเอกสารทุกครั้งที่มีการนำไปใช้



(a)



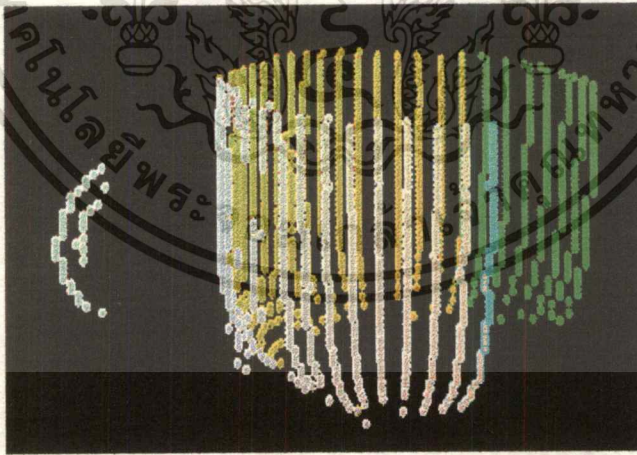
(b)



(c)



(d)



(e)

รูปที่ 9.19 แสดงภาพที่ได้จากการประมวลผลของภาพที่รับจากกล้องสเตปที่ 40

(a) ภาพที่ได้จากการ Capture

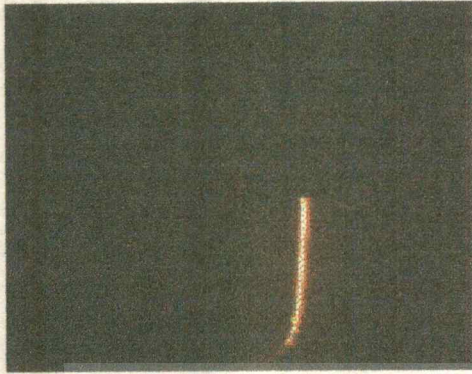
(b) ภาพที่ได้จากการทำ Brightness

(c) ภาพที่ได้จากการทำ Threshold

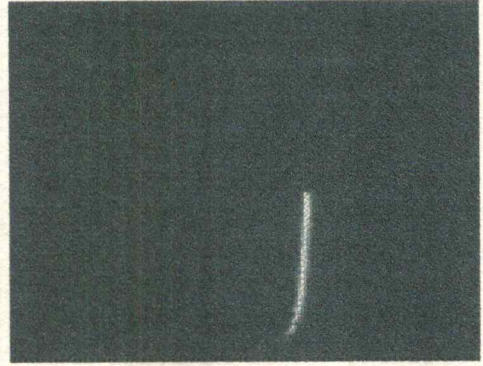
(d) ภาพที่ได้จากการทำ Thining

(e) ภาพโครงร่าง 3 มิติที่สร้างได้

เอกสารนี้เป็นเอกสารที่สงวนไว้สำหรับการใช้งานเพื่อการศึกษาเท่านั้น ไม่อนุญาตให้นำไปใช้ประโยชน์ด้านการค้า ไม่ว่าจะกรณีใดๆ ทั้งสิ้น อีกทั้งห้ามมิให้คัดแปลงเนื้อหา และต้องอ้างอิงถึงเจ้าของเอกสารทุกครั้งที่มีการนำไปใช้



(a)



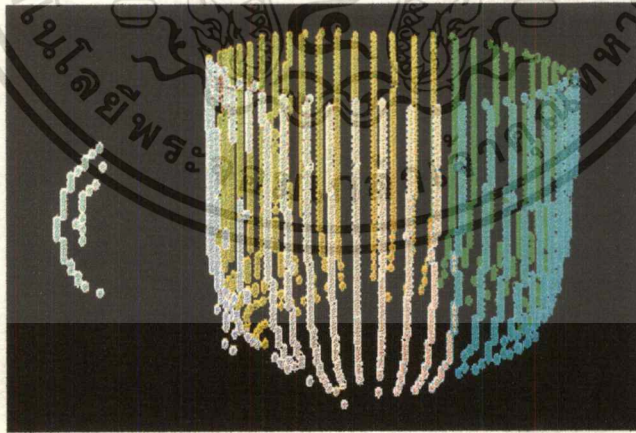
(b)



(c)



(d)



(e)

รูปที่ 9.20 แสดงภาพที่ได้จากการประมวลผลของภาพที่รับจากกล้องสเตปที่ 50

(a) ภาพที่ได้จากการ Capture

(b) ภาพที่ได้จากการทำ Brightness

(c) ภาพที่ได้จากการทำ Threshold

(d) ภาพที่ได้จากการทำ Thining

(e) ภาพโครงร่าง 3 มิติที่สร้างได้

เอกสารนี้เป็นเอกสารที่สงวนลิขสิทธิ์เพื่อการเรียนเพื่อการศึกษาเท่านั้น ไม่อนุญาตให้นำไปใช้ประโยชน์ด้านการค้า
ไม่ว่ากรณีใดๆ ทั้งสิ้น อีกทั้งห้ามมิให้ดัดแปลงเนื้อหา และต้องอ้างอิงถึงเจ้าของเอกสารทุกครั้งที่มีการนำไปใช้

บทที่ 10

สรุปผลและวิจารณ์ผลการทดลอง

10.1 สรุปผลและวิจารณ์ผลการทดลอง

จากการใช้วัตถุที่นำมาสแกน คือ ถ้วยกาแฟ เมื่อนำมาทำตามขั้นตอนต่างๆในวิธีการทดลองแล้วผลการทดลองสุดท้ายจะออกมาเป็นรูปร่างของถ้วยกาแฟซึ่งคล้ายกับวัตถุจริงมาก ดังรูปที่ 10.1



รูปที่ 10.1 แสดงการเปรียบเทียบภาพวัตถุจริงกับภาพจากการสแกน
ก) ภาพวัตถุจริงที่รับมาจากกล้อง ข) ภาพจากการสแกน

ซึ่งผลที่ได้ในภาพจากการสแกนจะพบว่ามีบางเส้นที่ควรจะเป็นเส้นในแนวตรง แต่มันไม่เป็นเช่นนั้นเนื่องจากเราไม่สามารถควบคุมความกว้างของแนวลำแสงเลเซอร์ที่ยังออกมาได้ จึงเป็นผลให้แนวเส้นเลเซอร์ที่ได้ออกมาจากการ Threshold และ Thining นั้นไม่เป็นเส้นตรงทีเดียว อาจจะมี error ในตำแหน่งต่างๆของ pixel บ้าง แต่ภาพโดยรวมที่ออกมาก็ยังคงความเป็นวัตถุจริงนั้นอยู่ซึ่งหากนำไปพัฒนาต่อไปไม่ว่าจะเป็นการทำ wireframe , rendering และอื่นๆ ก็อาจจะทำให้ภาพสแกนนั้นดูเสมือนวัตถุจริงมากยิ่งขึ้น

ผลการทดลองที่ได้เป็นไปตามขั้นตอนที่ต้องการ คือ ได้ภาพที่แต่ละมุมของวัตถุออกมาจากการควบคุมโดยโปรแกรมผ่านทางการ์ดพอร์ทขนานและวงจรจับสเตปมอเตอร์ทำให้สเตปมอเตอร์หมุนกล็องวิติโอเพื่อ capture ภาพในแต่ละมุมจนครบรอบวัตถุ การออกแบบให้ใช้เลเซอร์ยิง

วัตถุจะทำให้การหาขอบภาพง่ายขึ้นแต่เนื่องจากแมงยิงเลเซอร์นั้นมีราคาค่อนข้างสูงใน 3D-SCANNER เครื่องนี้จึงใช้ laser pointer มาดัดแปลงให้ได้เป็นแผงของลำแสงออกมา

10.2 สิ่งที่ต้องดำเนินการในภาคเรียนที่ 1

1) ส่วนของ hardware

- ชุด Machanic สำหรับทางวัตถุที่จะสแกน
- ชุดกล้องวิดีโอ
- การ์ดควบคุม step motor

2) ส่วนของ software

- โปรแกรมควบคุมการหมุนของสเตปมอเตอร์
- โปรแกรมรับภาพจากกล้องและแสดงผล

10.3 สิ่งที่ต้องดำเนินการในภาคเรียนที่ 2

1) ส่วนของ hardware

- ปรับปรุงชุด Machanic ให้มีโครงสร้างที่สมบูรณ์
- สร้างชุด Laser

2) ส่วนของ software

- โปรแกรม Threshold เพื่อ detect แนวเส้นเลเซอร์จากภาพ
- โปรแกรม Thining ให้เส้นเลเซอร์บางเท่ากัน
- โปรแกรม Keep Coordinate เพื่อเก็บพิกัดของเส้นเลเซอร์
- โปรแกรม 3DBubbleRender เพื่อนำ Coordinate ที่ได้มา plot แล้วแสดงผลบนหน้าจอ มอนิเตอร์

10.4 ข้อจำกัดของโครงการ

1) ความสูงของวัตถุ

เนื่องจากชุด Machanic นี้ต้องมีโครงสร้างที่มั่นคง เพื่อแก้ปัญหาการสั่นของชุด Machanic และปัญหาต่างๆที่จะเกิดตามมา อีกทั้งข้อจำกัดของกล้องในการรับภาพด้วย เพราะถ้าหากต้องการรับภาพของวัตถุที่มีความสูงมาก จะต้องให้ตำแหน่งของกล้องอยู่ห่างจากวัตถุพอสมควร ซึ่งต้องต่อแขนของกล้องออกไปอีกเป็นผลให้โครงสร้างมีขนาดใหญ่มาด ไม่สะดวกต่อการทดลอง ดังนั้นรูปแบบของโครงสร้างที่ใช้ในโครงการนี้จึงมีข้อจำกัดในด้านความสูงของวัตถุด้วย งบประมาณในการดำเนินการก็ไม่ว่ากรณีใดๆทั้งสิ้น อีกทั้งห้ามมิให้ดัดแปลงเนื้อหา และต้องอ้างอิงถึงเจ้าของเอกสารทุกครั้งที่มีการนำไปใช้

2) ความมืดในพื้นที่ของการทดลอง

เนื่องจากในโครงการนี้ ต้องการ detect แนวเส้นเลเซอร์ที่ตกกระทบบนวัตถุ ซึ่งจะทำให้
ง่ายและเร็วหากมีแสงสว่างบริเวณที่ทดลองน้อยหรือไม่มีเลย เพราะจะทำให้กล้องสามารถจับภาพ
แนวเส้นเลเซอร์นั้นได้อย่างชัดเจนและประมวลผลได้ง่าย ดังนั้นในโครงการนี้จึงได้จำลองพื้นที่
ของการทดลองให้มีมืดโดยการนำกล่องขนาดใหญ่มาครอบไว้

3) สีของวัตถุที่นำมาสแกน

เนื่องจากการทดลองนี้อยู่ในพื้นที่มืด ดังนั้นถ้าใช้วัตถุที่มีสีดำหรือสีที่ดูดกลืนแสงได้ดีก็จะ
ทำให้ลำแสงเลเซอร์ที่ไปตกกระทบถูกดูดกลืนไปด้วย เป็นผลให้ไม่สามารถ detect แนวเส้นเลเซอร์
จากภาพได้ ดังนั้นวัตถุที่จะนำมาสแกนควรจะเป็นสีขาวหรือสีอื่นๆ ที่ดูดกลืนแสงได้น้อยๆ

4) ความโค้ง-เว้าของวัตถุ

ถ้าวัตถุมีความโค้ง-เว้ามากเกินไปเกินกว่ามุมของกล้องกับเลเซอร์ ก็อาจจะเป็นผลให้แนวเส้น
เลเซอร์ถูกบังทำให้กล้องไม่สามารถรับภาพตรงส่วนที่ถูกบังได้ ดังนั้นจึงอาจทำให้แนวเส้นเลเซอร์
ที่ได้จากการทำ Threshold และ Thining นั้นขาดหายไปเป็นผลให้เกิดความไม่สมบูรณ์ของรูปโครง
ร่าง 3 มิติได้



เอกสารนี้เป็นเอกสารที่สงวนไว้สำหรับการใช้งานเพื่อการศึกษาเท่านั้น ไม่อนุญาตให้นำไปใช้ประโยชน์ด้านการค้า
ไม่ว่ากรณีใดๆ ทั้งสิ้น อีกทั้งห้ามมิให้ดัดแปลงเนื้อหา และต้องอ้างอิงถึงเจ้าของเอกสารทุกครั้งที่มีการนำไปใช้

โปรแกรมควบคุมการทำงานของเครื่องเก็บข้อมูลภาพ 3 มิติ

```

////////////////////////////////////
////////////////////////////////////
// sampleView.cpp : implementation of the CSampleView class
////////////////////////////////////

```

```

#include "stdafx.h"
#include "sample.h"
#include "VidCap.h"
#include <math.h>
#include "3DClass.h"
#include "Camera.h"
#include "cdib.h"
#include "cdibtrue.h"
#include "cdibpsuedo.h"
#include "3DBubbleRender.h"
#include "sampleDoc.h"
#include "sampleView.h"
#include <stdio.h>
#include <conio.h>
#include "Conop.h"
#ifdef _DEBUG
#define new DEBUG_NEW
#undef THIS_FILE
static char THIS_FILE[] = __FILE__;
#endif

```

```

unsigned short port=0x280;
int icount=0;
int i;
int value=0x09;

```

```

bool Toggle=TRUE;

```

เอกสารนี้เป็นเอกสารลิขสิทธิ์ไว้สำหรับการใช้งานเพื่อการศึกษาเท่านั้น ไม่อนุญาตให้นำไปใช้ประโยชน์ด้านการค้า
ไม่ว่ากรณีใดๆ ทั้งสิ้น อีกทั้งห้ามมิให้ดัดแปลงเนื้อหา และต้องอ้างอิงถึงเจ้าของเอกสารทุกครั้งที่มีการนำไปใช้

```

bool Round=FALSE;

bool Frame=TRUE;

CDC* hDC;

double result;

LPBITMAPINFO PicInfo;

LPVIDEOHDR lpVhr;

DWORD InfoHDRSize;

int Width;

int Height;

UINT BitPerPixel;

UINT Plane;

Conop Opob;

CFrameData FrameData[50];
////////////////////////////////////
//LPBITMAPINFOHEADER bmih;
////////////////////////////////////
// CSampleView
IMPLEMENT_DYNCREATE(CSampleView, CView)
BEGIN_MESSAGE_MAP(CSampleView, CView)
   //{{AFX_MSG_MAP(CSampleView)
    ON_WM_TIMER()
    ON_WM_LBUTTONDOWN()
    //}}AFX_MSG_MAP
END_MESSAGE_MAP()
////////////////////////////////////
// CSampleView construction/destruction
CSampleView::CSampleView()
{
}

CSampleView::~CSampleView()
{
}

```

เอกสารนี้เป็นเอกสารของบริษัทเอกชนที่อนุญาตให้นำไปใช้ประโยชน์ด้านการค้า
 ไม่ว่าจะกรณีใดๆ ทั้งสิ้น อีกทั้งห้ามมิให้ดัดแปลงเนื้อหา และต้องอ้างอิงถึงเจ้าของเอกสารทุกครั้งที่มีการนำไปใช้

```

// TODO: Modify the Window class or styles here by modifying
// the CREATESTRUCT cs
return CView::PreCreateWindow(cs);
}

////////////////////////////////////

// CSampleView drawing
void CSampleView::OnDraw(CDC* pDC)
{
    if (icount==50)
    {
        LPBITMAPFILEHEADER bmfh3 = m_p3DView->GetView()->ReceiveBMPFileHeader();
        LPBITMAPINFOHEADER bmih3 = m_p3DView->GetView()->ReceiveBMPInfoHeader();
        LPBYTE Dbmp = m_p3DView->GetView()->ReceivePic();
        int ColorTableEntries3 = 0;
        CString FileName3;
        FileName3.Format("c:\\Tdvview\\Tdv-%d.bmp",icount);
        CFile WFile3(FileName3,CFile::modeCreate | CFile::modeWrite );
        int nSizeHdr3 = sizeof(BITMAPINFOHEADER) + sizeof(RGBQUAD) * ColorTableEntries3;
        WFile3.Write((LPVOID) bmfh3, sizeof(BITMAPFILEHEADER));
        WFile3.Write((LPVOID) bmih3,nSizeHdr3);
        WFile3.Write((LPVOID) Dbmp,bmih3->biSizeImage);
        //////////////////////////////////////

        KillTimer(2);
        VidCap.DriverDisconnect();
        m_p3DView->GetView()->Display(pDC,CPoint(0,0));
    }
    else
    {
        if (icount != 0)
        {
            BMP->Display(pDC,CPoint(0,50));
            Pic1->Display(pDC,CPoint(0,200));
            Pic2->Display(pDC,CPoint(400,50));
            //m_p3DView->SetZoom(4.0f);
        }
    }
}

```

```

        m_p3DView->GetView()->Stretch(pDC.CPoint(400,200),CSize(160,160));
        //save to disk//

LPBITMAPFILEHEADER bmfh3 = m_p3DView->GetView()->ReceiveBMPFileHeader();
LPBITMAPINFOHEADER bmih3 = m_p3DView->GetView()->ReceiveBMPInfoHeader();
LPBYTE Dbmp = m_p3DView->GetView()->ReceivePic();
int ColorTableEntries3 = 0;

CString FileName3;
FileName3.Format("c:\\Tdvview\\Tdv-%d.bmp",icount);
CFile WFile3(FileName3,CFile::modeCreate | CFile::modeWrite );
int nSizeHdr3 = sizeof(BITMAPINFOHEADER) + sizeof(RGBQUAD) * ColorTableEntries3;

WFile3.Write((LPVOID) bmfh3, sizeof(BITMAPFILEHEADER));
WFile3.Write((LPVOID) bmih3,nSizeHdr3);
WFile3.Write((LPVOID) Dbmp,bmih3->biSizeImage);

        }
        char String[80];
        wsprintf(String,"Capture = %d",icount);
        pDC->TextOut(1,1,String);
    }
}
///////////////////////////////////////////////////////////////////
// CSampleView diagnostics
#ifdef _DEBUG
void CSampleView::AssertValid() const
{
    CView::AssertValid();
}
/////////////////////////////////////////////////////////////////
void CSampleView::Dump(CDumpContext& dc) const

```

```

    CView::Dump(dc);
}
CSampleDoc* CSampleView::GetDocument() // non-debug version is inline
{
    ASSERT(m_pDocument->IsKindOf(RUNTIME_CLASS(CSampleDoc)));
    return (CSampleDoc*)m_pDocument;
}
#endif // _DEBUG
////////////////////////////////////
// CSampleView message handlers
void CSampleView::OnInitialUpdate()
{
    CView::OnInitialUpdate();
    //////////////////////////////////
    VidCap.SetView((CView*)this);
    VidCap.Create(WS_CHILD | WS_VISIBLE, CRect(200, 130, 360, 250), this);
    VidCap.DriverConnect(0);
    VidCap.AutoSize();
    VidCap.Preview(TRUE);
    //VidCap.CenterWindow();
    VidCap.SetCallbackOnFrame(FALSE);
    LPBITMAPINFO PicInfo;
    PicInfo = VidCap.GetVideoFormat();
    long Size;
    Width = PicInfo->bmiHeader.biWidth;
    Height = PicInfo->bmiHeader.biHeight;
    WORD BitPerPixel = PicInfo->bmiHeader.biBitCount;
    switch(BitPerPixel)
    {
    case 24:
        BMP = (CDib*) new CDibTrue(Width, Height);
        Size = sizeof(BITMAPINFOHEADER);
        break;

```

เอกสารนี้เป็นเอกสารที่สงวนไว้สำหรับการใช้งานเพื่อการศึกษาเท่านั้น ไม่อนุญาตให้นำไปใช้ประโยชน์ด้านการค้า
 ไม่ว่ากรณีใดๆ ทั้งสิ้น อีกทั้งห้ามมิให้ดัดแปลงเนื้อหา และต้องอ้างอิงถึงเจ้าของเอกสารทุกครั้งที่มีการนำไปใช้

```

        BMP = (CDib*) new CDibPsuedo(Width,Height);
        Size = sizeof(BITMAPINFOHEADER) + 1024;
        break;
    }
    LPBITMAPINFO bmi = BMP->ReceiveBMI();
    Pic1 = (CDib*) new CDibPsuedo(Width,Height,GRAY);
    Pic2 = (CDib*) new CDibPsuedo(Width,Height,GRAY);
    Lght = (CDib*) new CDibPsuedo(Width,Height,GRAY);
    //////////////////////////////////////
    C3DVector EPoint(-28.0f,0.0f,-500.0f);
    C3DVector EDir(0.0f,0.0f,200.0f);
    C3DVector XAxeScreen(1.0f,0.0f,0.0f);
    C3DVector YAxeScreen(0.0f,1.0f,0.0f);
    CCamera Cam(EPoint,EDir,XAxeScreen,YAxeScreen,8.0f);
    m_p3DView = new C3DBubbleRender(640,640,Cam,FIXRADIUS,1.0f);
/*
    LPBYTE IData = m_p3DView->GetView()->ReceivePic();
    LPBITMAPINFOHEADER lbmih = m_p3DView->GetView()->ReceiveBMPInfoHeader();
    int num = lbmih->biSizeImage;
    for (int t=1;t<num;t++)
    {
        *IData = 100;
        IData++;
    }
*/
    m_p3DView->ChangeToNormalDisplay();
    SetTimer(2,100,NULL);
}

void CSampleView::UpdateScreen(void)
{
    delete BMP;
    delete Pic1;
    delete Pic2;
    //////////////////////////////////////
    CString t1;

```

```

t1.Format("Finished...Please strike any key!!!");
AfxMessageBox(t1);
Invalidate();
//InvalidateRect(CRect(1,1,100,20),TRUE);
}
void MyVidClass::OnFrameCallback(LPVIDEOHDR lpVidHdr)
{
    SetCallbackOnFrame(FALSE);
    Preview(FALSE);
    KillTimer(2);
    icount++;
    CDib* BMP = ((CSampleView*) View)->GetBitmap(); //return CDib* Pic
    CDib* Pic1 = ((CSampleView*) View)->GetBitmap1(); //return CDib* Pic1
    CDib* Pic2 = ((CSampleView*) View)->GetBitmap2(); //return CDib* Pic2
    CDib* Lght = ((CSampleView*) View)->GetBitmapLght();
    unsigned char* Des = BMP->ReceivePic();
    unsigned char* Src = lpVidHdr->lpData;
    unsigned char* SrcOld = Des;
    long Size;
    if(BMP->Is24Bit())
        Size = BMP->ReceiveBMPInfoHeader()->biSizeImage;
    else
        Size = BMP->ReceiveWidth()*BMP->ReceiveHeight();
/*
////////////////////////////////////
//Read from disk////////////////////////////////////
BITMAPFILEHEADER filehd;
LPBITMAPINFOHEADER infohd;
CFile file;
CString fName;
fName.Format("c:\\Tdvew\\Testpic.bmp");
file.Open(fName,CFile::modeRead);
file.Read((LPVOID) &filehd,sizeof(BITMAPFILEHEADER));
if (filehd.bfType != 0x4d42)

```

```

AfxMessageBox("This is not BMP file");
}
int nSize = filehd.bfOffBits - sizeof(BITMAPFILEHEADER);
infohd = (LPBITMAPINFOHEADER) new char[nSize];
file.Read(infohd,nSize);
if(infohd->biSize != sizeof(BITMAPINFOHEADER))
{
    AfxMessageBox("Not valid Windows BITMAP");
}
int Size = 57600;//infohd->biSizeImage;
if(Size == 0)
{
    DWORD dwBytes = ((DWORD) infohd->biWidth * infohd->biBitCount) / 32;
    if(((DWORD) infohd->biWidth * infohd->biBitCount) % 32)
    {
        dwBytes++;
    }
    dwBytes *= 4;
//    lSize = dwBytes * infohd->biHeight; // no compression
}
LPBYTE Src = new unsigned char[57600];
file.Read(Src,Size);
file.Close();
*/

////////Threshold Section//////////
unsigned char* Threshold;
unsigned char* Original;
unsigned char* LprtOld;
Threshold = new unsigned char[Width*Height];
// LightData = new unsigned char[Width*Height];
unsigned char* Lprt = Lght->ReceivePic();
LprtOld = Lprt;
Original = Threshold;
int i;

```

```

for(i=0;i<Size;i++) //copy Image
{
    *Des = *Src;
    Des++;
    Src++;
}
Des = SrcOld;

////////////////////////////////////

///Save to disk///
BITMAPFILEHEADER bmfh;
LPBITMAPINFOHEADER bmih = new BITMAPINFOHEADER;
bmih->biSize=40;
bmih->biWidth=160;
bmih->biHeight=120;
bmih->biPlanes=1;
bmih->biBitCount=24;
bmih->biCompression=0;
bmih->biSizeImage=57600;
bmih->biXPelsPerMeter=0;
bmih->biYPelsPerMeter=0;
bmih->biClrUsed=0;
bmih->biClrImportant=0;
int ColorTableEntries = 0;

CString FileName;
FileName.Format("c:\\Rawpic\\RawNo-%d.bmp",icount);
CFile WFile(FileName,CFile::modeCreate | CFile::modeWrite );
bmfh.bfType = 0x4d42;
int nSizeHdr = sizeof(BITMAPINFOHEADER) + sizeof(RGBQUAD) * ColorTableEntries;
bmfh.bfSize = 0;
bmfh.bfReserved1 = bmfh.bfReserved2 = 0;
bmfh.bfOffBits = sizeof(BITMAPFILEHEADER) + sizeof(BITMAPINFOHEADER) +

```

เอกสารนี้เป็นเอกสารที่สงวนไว้สำหรับใช้ภายในเท่านั้น อนุญาตให้นำไปใช้ประโยชน์ด้านการค้า
 ไม่ว่ากรณีใดๆ ทั้งสิ้น อีกทั้งห้ามมิให้ดัดแปลงเนื้อหา และต้องอ้างอิงถึงเจ้าของเอกสารทุกครั้งที่มีการนำไปใช้

```
WFile.Write((LPVOID) &bmfh, sizeof(BITMAPFILEHEADER));
```

```
WFile.Write((LPVOID) bmih.nSizeHdr);
```

```
WFile.Write((LPVOID) Des,Size);
```

```
delete bmih;
```

```
Des = SrcOld;
```

```
////////////////////////////////////
```

```
BYTE Red;
```

```
BYTE Green;
```

```
BYTE Blue;
```

```
unsigned char Lightness;
```

```
int j;
```

```
for (j=0;j<(Size/3);j++) //Lightness convert
```

```
{
```

```
Red = *Des;
```

```
Des++;
```

```
Green = *Des;
```

```
Des++;
```

```
Blue = *Des;
```

```
Des++;
```

```
Lightness = (Red+Green+Blue)/3;
```

```
*Lprt = Lightness;
```

```
Lprt++;
```

```
if ((Lightness>=0)&&(Lightness<200))
```

```
{
```

```
    *Threshold = 0;
```

```
}
```

```
else
```

```
    *Threshold = 255;
```

```
Threshold++;
```

เอกสารนี้เป็นเอกสารที่สงวนไว้สำหรับการใช้งานเพื่อการศึกษาเท่านั้น ไม่อนุญาตให้นำไปใช้ประโยชน์ด้านการค้า
ไม่ว่ากรณีใดๆ ทั้งสิ้น อีกทั้งห้ามมิให้ดัดแปลงเนื้อหา และต้องอ้างอิงถึงเจ้าของเอกสารทุกครั้งที่มีการนำไปใช้

```

Threshold = Original;
Des = SrcOld;
Lprt = LprtOld;
unsigned char* Des1 = Pic1->ReceivePic();
unsigned char* Src1 = Threshold;
unsigned char* Des2 = Pic2->ReceivePic();
unsigned char* OldDes1 = Des1;
unsigned char* OldDes2 = Des2;
long n;
for(n=0;n<(Size/3);n++) //copy threshold Image
{
    *Des1 = *Src1;
    *Des2 = *Src1;
    Des1++;
    Des2++;
    Src1++;
}
Des1 = OldDes1;
Des2 = OldDes2;
delete Threshold;
////////////////////
///Save to disk Lightness///
LPBITMAPFILEHEADER Lghtfh = Lght->ReceiveBMPFileHeader();
LPBITMAPINFOHEADER Lghtih = Lght->ReceiveBMPInfoHeader();
int ColorTable = 256;

CString LghtFileName;
LghtFileName.Format("c:\\Light\\Lght-%d.bmp",icount);
CFile LghtFile(LghtFileName,CFile::modeCreate | CFile::modeWrite );

int SizeHdr = sizeof(BITMAPINFOHEADER) + sizeof(RGBQUAD) * ColorTable;
LghtFile.Write((LPVOID) Lghtfh, sizeof(BITMAPFILEHEADER));

```

```

LghtFile.Write((LPVOID) Lghtih,SizeHdr);

LghtFile.Write((LPVOID) Lprt,19200);

////////////////////////////////////

///Save to disk Treshold///

LPBITMAPFILEHEADER bmfh1 = Pic1->ReceiveBMPFileHeader();
LPBITMAPINFOHEADER bmih1 = Pic1->ReceiveBMPInfoHeader();
int ColorTableEntries1 = 256;

CString FileName1;
FileName1.Format("c:\\Thold\\ThNo-%d.bmp",icount);
CFile WFile1(FileName1,CFile::modeCreate | CFile::modeWrite );
// bmfh.bfType = 0x4d42;
int nSizeHdr1 = sizeof(BITMAPINFOHEADER) + sizeof(RGBQUAD) * ColorTableEntries1;
// bmfh.bfSize = 0;
// bmfh.bfReserved1 = bmfh.bfReserved2 = 0;
// bmfh.bfOffBits = sizeof(BITMAPFILEHEADER) + sizeof(BITMAPINFOHEADER) +
// sizeof(RGBQUAD) * ColorTableEntries;

WFile1.Write((LPVOID) bmfh1, sizeof(BITMAPFILEHEADER));

WFile1.Write((LPVOID) bmih1.nSizeHdr1);

WFile1.Write((LPVOID) Des1,19200);

Des1 = OldDes1;

////////////////////////////////////

//////////Thinning Section//////////

long x,y,z;

long WhitePoint=0;

bool White;

int LaserPoint = 0;

unsigned char* StartPoint;

```

```

int MidDes2;
for (y=0;y<Height;y++)
{
    White = FALSE;
    for(x=0;x<Width;x++)
    {
        if(*Des2==255)
        {
            White = TRUE;
            LaserPoint++;
            if(LaserPoint==1)
            {
                StartPoint=Des2;
                StartCoor = x;
            }
            else
            White = FALSE;
            if(((LaserPoint>1)&&(White==FALSE))|((LaserPoint>1)&&(x==Width-1)))
            {
                MidDes2 = LaserPoint/2;
                for(z=0;z<LaserPoint;z++)
                    if(z!=MidDes2)
                        *(StartPoint+z) = 0;
                WhitePoint++;
                LaserPoint = 0;
            }
        }
        if((LaserPoint==1)&&(White==FALSE))
        {

```

เอกสารนี้เป็นเอกสารที่สงวนไว้สำหรับการใช้งานเพื่อการศึกษาเท่านั้น ไม่อนุญาตให้นำไปใช้ประโยชน์ด้านการค้า
ไม่ว่ากรณีใดๆ ทั้งสิ้น อีกทั้งห้ามมิให้ดัดแปลงเนื้อหา และต้องอ้างอิงถึงเจ้าของเอกสารทุกครั้งที่มีการนำไปใช้

```

    }
    Des2++;
}
}
Des2 = OldDes2;
////////////////////////////////////
///Save to disk///
LPBITMAPFILEHEADER bmfh2 = Pic2->ReceiveBMPFileHeader();
LPBITMAPINFOHEADER bmih2 = Pic2->ReceiveBMPInfoHeader();
int ColorTableEntries2 = 256;

CString FileName2;
FileName2.Format("c:\\Thin\\ThinNo-%d.bmp",icount);
CFile WFile2(FileName2,CFile::modeCreate | CFile::modeWrite );
// bmfh.bfType = 0x4d42;
int nSizeHdr2 = sizeof(BITMAPINFOHEADER) + sizeof(RGBQUAD) * ColorTableEntries2;
// bmfh.bfSize = 0;
// bmfh.bfReserved1 = bmfh.bfReserved2 = 0;
// bmfh.bfOffBits = sizeof(BITMAPFILEHEADER) + sizeof(BITMAPINFOHEADER) +
// sizeof( RGBQUAD) * ColorTableEntries;

WFile2.Write((LPVOID) bmfh2, sizeof(BITMAPFILEHEADER));

WFile2.Write((LPVOID) bmih2,nSizeHdr2);

WFile2.Write((LPVOID) Des2,19200);//Size
Des2 = OldDes2;

////////////////////////////////////
//////////Store in Array//////////
LPBYTE Thsorce=Des2;
BYTE ThImage[160][120];
BYTE MapImage[160][120];

```

เอกสารนี้เป็นเอกสารเพื่อการศึกษาเท่านั้น ไม่อนุญาตให้นำไปใช้ประโยชน์ด้านการค้า
ไม่ว่ากรณีใดๆ ทั้งห้ามมิให้ดัดแปลงเนื้อหา และต้องอ้างอิงถึงเจ้าของเอกสารทุกครั้งที่มีการนำไปใช้

```

for (H=0;H<Height;H++)
{
    for (W=0;W<Width;W++)
    {
        ThImage[W][H] = *Thsorce;
        MapImage[W][H]=0;
        Thsorce++;
    }
}

Thsorce=Des2;
////////////////////////////////////
int Zc=40;
int Ze=300;
double pi = 3.14159265359;
double CLAngle=(pi/180.0)*(90-25);
double StepAngle = (pi/180.0)*(360.0/50.0)*(icount-1);
C3DVector* Coor = new C3DVector[WhitePoint];
FrameData[icount-1].CoorMap(Coor);
int NoWhP=0;
////////////////////////////////////Keep Coordinate////////////////////////////////////
for (H=0;H<Height;H++)
{
    for (W=0;W<Width;W++)
    {
        if (ThImage[W][H] ==255)
        {
            int TrX1,TrY1;
            double TA,Vx,Vy,Vz,RtX1,RtY1,RtZ1;
            //////////////////////////////////////Translate origin to center of image////////////////////////////////////
            TrX1=W-Width/2;
            TrY1=H-Height/2;
            /*CString s;
            s.Format("W=%d,H=%d,TrX1=%d,TrX2=%d",W,H,TrX1,TrY1);การคำ
            AfxMessageBox(s);*/อิงถึงเจ้าของเอกสารทุกครั้งที่มีการนำไปใช้

```

```

////////////////////////////////////Find constant of line funtion////////////////////////////////////
TA = (Ze*cos(CLAngle))/(((Ze-Zc)*cos(CLAngle))+(TrX1*sin(CLAngle)));

Vx = TA*TrX1;
Vy = TA*TrY1;
Vz = ((TA-1)*Ze)-(TA*Zc);

////////////////////////////////////Rotate about y axis follow motor step////////////////////////////////////
RtX1 = Vx*cos(StepAngle)+Vz*sin(StepAngle);
RtY1 = Vy;
RtZ1 = Vz*cos(StepAngle)-Vx*sin(StepAngle);

////////////////////////////////////Store coordinate////////////////////////////////////
/*CString s1;

s1.Format("W=%d,H=%d,TrX1=%d,TrX2=%d,TA=%f,Vx=%f,Vy=%f,Vz=%f,RtX1=%f,RtY1=
%f,RtZ1=%f",W,H,TrX1,TrY1,TA,Vx,Vy,Vz,RtX1,RtY1,RtZ1);

AfxMessageBox(s1);*/

////////////////////////////////////
double crx=RtX1-20;
double cry=RtY1-5;
double crz=RtZ1;

////////////////////////////////////
((CSampleView*)View)->m_p3DView->ComputeRender(crx,cry,crz);
FrameData[icount-1].IncCoor(Coor,NoWhP);
//FrameData[icount-1].PutCoor(RtX1,RtY1,RtZ1,Coor,NoWhP);
NoWhP++;

}

}

}

////////////////////////////////////
////////////////////////////////////3DViewTest////////////////////////////////////
/*
double Xvalue,Yvalue,Zvalue;
for(x=0;x<WhitePoint;x++)
{

```

```

Zvalue = (FrameData[icount-1]).GetVectorZ();
////////////////////////////////////

CString s2;
s2.Format("Xvalue=%f,Yvalue=%f,Zvalue=%f",Xvalue,Yvalue,Zvalue);
AfxMessageBox(s2);
////////////////////////////////////

((CSampleView*)View)->m_p3DView->ComputeRender(Xvalue,Yvalue,Zvalue);
FrameData[icount-1].IncCoor(Coor,x);

}*/
FrameData[icount-1].CoorMap(Coor);
(((CSampleView*) View)->InvalidateRect(NULL,FALSE);
Preview(TRUE);
////////////////////////////////////
if (icount==50)
{
((CSampleView*) View)->InvalidateRect(NULL,FALSE);
((CSampleView*) View)->UpdateScreen();
KillTimer(2);
}
else
{
((CSampleView*) View)->InvalidateRect(NULL,FALSE);
SetTimer(2,50,NULL);
}
}

void CSampleView::OnTimer(UINT nIDEvent)
{
if(icount==50)
{
KillTimer(2);
VidCap.SetCallbackOnFrame(FALSE);
VidCap.Preview(TRUE);

```

เอกสารนี้เป็นเอกสารที่ส่ง GetDC()->TextOut(10,20,"End Task...เท่านั้น...ไม่ละ:"); ขนาดให้นำไปใช้ประโยชน์ได้; การค้า
ไม่ว่ากรณีใดๆ ทั้งสิ้น อีก return; นี้ให้ตัดแปลงเนื้อหา และต้องอ้างอิงถึงเจ้าของเอกสารทุกครั้งที่มีการนำไปใช้


```

        break;
    case(0x08):
        value=0x09;
        break;
    case(0x09):
        value=0x01;
        Round=TRUE;
    }
}
else
{
    Toggle = FALSE;
    KillTimer(2);
    GetDC()->TextOut(10,20,"CAPTURE!!!!");
    VidCap.SetCallbackOnFrame(TRUE);
    SetTimer(2,50,NULL);
}
}
CView::OnTimer(nIDEvent);
}

```

```

////////////////////////////////////
// sampleView.h : interface of the CSampleView class
////////////////////////////////////

class CFrameData
{
private:
    C3DVector* Coorprte;

public:
    void CoorMap(C3DVector* Coorprt){Coorprte = Coorprt;}
    void PutCoor(double x,double y,double z,C3DVector* Org,int Index)
    {
        Coorprte=Org+Index;
        Coorprte->Passvalue(x,y,z);
    }
    void IncCoor(C3DVector* Org,int Index)
    {
        Index++;
        Coorprte=Org+Index;
    }
    double GetVectorX(void)
    {
        return(Coorprte->GetX());
    }
    double GetVectorY(void)
    {
        return(Coorprte->GetY());
    }
    double GetVectorZ(void)
    {
        return(Coorprte->GetZ());
    }
}

```

```

class MyVidClass : public CVidCap
{
private:
    CView* View;

public:
    void SetView(CView* V) { View = V;}
    virtual void OnFrameCallback(LPVIDEOHDR lpVidHdr);
};

```

```

class CSampleView : public CView
{
private:
    CDib* BMP;
    CDib* Lght;
    CDib* Pic1;
    CDib* Pic2;
    CPoint* pt;
    CFrameData* Data;
    double dx1,dy1,dz1,dx2,dy2,dz2;
    CCamera cam;

protected: // create from serialization only
    CSampleView();
    DECLARE_DYNCREATE(CSampleView)

```

// Attributes

```

public:
    C3DBubbleRender* m_p3DView;
    C3DBubbleRender* m_p3DView1;

    MyVidClass VidCap;
    CSampleDoc* GetDocument();
    CDib* GetBitmap(void) { return BMP;}
    CDib* GetBitmap1(void) { return Pic1;}

```

```

CDib* GetBitmap2(void) { return Pic2;}
CDib* GetBitmapLght(void) {return Lght;}
void UpdateScreen(void);
void SetBubbleRender(double x,double y,double z,double zoom);
long Length(long X1,long Y1,long Z1)
{
    return ((long) sqrt(X1*X1+Y1*Y1+Z1*Z1));
}
void TrueCoor(int Frame,double degree,long X1,long Y1,long Z1,double A)
{
    dx1 = (A*X1/Length(X1,Y1,Z1));
    dy1 = (A*Y1/Length(X1,Y1,Z1));
    dz1 = ((A*Z1/Length(X1,Y1,Z1))+Z1);
    dx2 = dx1*cos((Frame-1)*degree)+dz1*sin((Frame-1)*degree);
    dy2 = dy1;
    dz2 = -dx1*sin((Frame-1)*degree)+dz1*cos((Frame-1)*degree);
}

// Operations
public:

// Overrides
    // ClassWizard generated virtual function overrides
    //{{AFX_VIRTUAL(CSampleView)
public:
    virtual void OnDraw(CDC* pDC); // overridden to draw this view
    virtual BOOL PreCreateWindow(CREATESTRUCT& cs);
    virtual void OnInitialUpdate();
    //}}AFX_VIRTUAL

// Implementation
public:

```

เอกสารนี้เป็นเอกสารที่สงวนไว้สำหรับการใช้งานเพื่อการศึกษาเท่านั้น ไม่อนุญาตให้นำไปใช้ประโยชน์ด้านการค้า
 ไม่ว่ากรณีใดๆ ทั้งสิ้น อีกทั้งยังมีเงื่อนไขเพิ่มเติม และต้องอ้างอิงถึงเจ้าของเอกสารทุกครั้งที่มีการนำไปใช้

```

#ifdef _DEBUG
    virtual void AssertValid() const;
    virtual void Dump(CDumpContext& dc) const;
#endif

```

```
protected:
```

```
// Generated message map functions
```

```
protected:
```

```

//{{AFX_MSG(CSampleView)
afx_msg void OnTimer(UINT nIDEvent);
//}}AFX_MSG
DECLARE_MESSAGE_MAP()

```

```
};
```

```
#ifndef _DEBUG // debug version in sampleView.cpp
```

```
inline CSampleDoc* CSampleView::GetDocument()
```

```
{ return (CSampleDoc*)m_pDocument; }
```

```
#endif
```

```
////////////////////////////////////
```

```

////////////////////////////////////
// sample.cpp : Def
//3ines the class behaviors for the application.
////////////////////////////////////

#include "stdafx.h"
#include "sample.h"

//#include "3DBubbleRender.h"
#include <math.h>
#include "VidCap.h"
#include "3DClass.h"
#include "MainFrm.h"
#include "sampleDoc.h"
#include "cdib.h"
#include "cdibtrue.h"
#include "Camera.h"
#include "3DBubbleRender.h"
#include "sampleView.h"

#ifdef _DEBUG
#define new DEBUG_NEW
#undef THIS_FILE
static char THIS_FILE[] = __FILE__;
#endif

////////////////////////////////////
// CSampleApp

BEGIN_MESSAGE_MAP(CSampleApp, CWinApp)
//{{AFX_MSG_MAP(CSampleApp)
ON_COMMAND(ID_APP_ABOUT, OnAppAbout)

```

เอกสารนี้เป็นเอกสารที่สงวนลิขสิทธิ์ของ บริษัท ไมโครซอฟท์ (ประเทศไทย) จำกัด ผู้ดูแลโครงการและเผยแพร่เอกสารนี้เป็นประโยชน์ด้านการค้า
 ไม่ว่ากรณีใดๆ ทั้งสิ้น อีกทั้งห้ามเผยแพร่เปลี่ยนแปลงเนื้อหา และต่อข้อย่างใดของเอกสารนี้ทุกส่วนที่มีการนำไปใช้

```

    //}}AFX_MSG_MAP
    // Standard file based document commands
    ON_COMMAND(ID_FILE_NEW, CWinApp::OnFileNew)
    ON_COMMAND(ID_FILE_OPEN, CWinApp::OnFileOpen)
END_MESSAGE_MAP()

////////////////////////////////////

// CSampleApp construction

CSampleApp::CSampleApp()
{
    // TODO: add construction code here,
    // Place all significant initialization in InitInstance
}

////////////////////////////////////

// The one and only CSampleApp object

CSampleApp theApp;

////////////////////////////////////

// CSampleApp initialization

BOOL CSampleApp::InitInstance()
{
    // Standard initialization

    // If you are not using these features and wish to reduce the size
    // of your final executable, you should remove from the following
    // the specific initialization routines you do not need.

#ifdef _AFXDLL
    Enable3dControls();           // Call this when using MFC in a shared DLL
#else
    Enable3dControlsStatic();     // Call this when linking to MFC statically

```

```
#endif .
```

```
LoadStdProfileSettings(); // Load standard INI file options (including MRU)
```

```
// Register the application's document templates. Document templates
// serve as the connection between documents, frame windows and views.
```

```
CSingleDocTemplate* pDocTemplate;
pDocTemplate = new CSingleDocTemplate(
    IDR_MAINFRAME,
    RUNTIME_CLASS(CSampleDoc),
    RUNTIME_CLASS(CMainFrame), // main SDI frame window
    RUNTIME_CLASS(CSampleView));
AddDocTemplate(pDocTemplate);

// Parse command line for standard shell commands, DDE, file open
CCommandLineInfo cmdInfo;
ParseCommandLine(cmdInfo);

// Dispatch commands specified on the command line
if (!ProcessShellCommand(cmdInfo))
    return FALSE;

return TRUE;
}
```

```
////////////////////////////////////
```

```
// CAboutDlg dialog used for App About
```

```
class CAboutDlg : public CDialog
```

```
{
public:
```

```
    CAboutDlg();
```

เอกสารนี้เป็นเอกสารสงวนไว้สำหรับการใช้งานเพื่อการศึกษาเท่านั้น ไม่อนุญาตให้นำไปใช้ประโยชน์ด้านการค้า
ไม่ว่ากรณีใดๆ ทั้งสิ้น อีกทั้งห้ามมิให้ดัดแปลงเนื้อหา และต้องอ้างอิงถึงเจ้าของเอกสารทุกครั้งที่มีการนำไปใช้

```

// Dialog Data
//{{AFX_DATA(CAboutDlg)
enum { IDD = IDD_ABOUTBOX };
//}}AFX_DATA

// ClassWizard generated virtual function overrides
//{{AFX_VIRTUAL(CAboutDlg)
protected:
virtual void DoDataExchange(CDataExchange* pDX); // DDX/DDV support
//}}AFX_VIRTUAL

// Implementation
protected:
//{{AFX_MSG(CAboutDlg)
// No message handlers
//}}AFX_MSG
DECLARE_MESSAGE_MAP()
};

CAboutDlg::CAboutDlg() : CDialog(CAboutDlg::IDD)
{
//{{AFX_DATA_INIT(CAboutDlg)
//}}AFX_DATA_INIT
}

void CAboutDlg::DoDataExchange(CDataExchange* pDX)
{
CDialog::DoDataExchange(pDX);
//{{AFX_DATA_MAP(CAboutDlg)
//}}AFX_DATA_MAP
}

BEGIN_MESSAGE_MAP(CAboutDlg, CDialog)
//{{AFX_MSG_MAP(CAboutDlg)

```

```
        // No message handlers
    }}AFX_MSG_MAP
END_MESSAGE_MAP()
```

```
// App command to run the dialog
void CSampleApp::OnAppAbout()
```

```
{
    CAboutDlg aboutDlg;
    aboutDlg.DoModal();
}
```

```
////////////////////////////////////
```

```
// CSampleApp commands
```



```

////////////////////////////////////
// Conop.cpp
////////////////////////////////////

#include "StdAfx.h"
#include "Conop.h"
////////////////////////////////////

Conop::Conop()
{
    bmih = NULL;
    // Image = NULL;
}

////////////////////////////////////
Conop::~Conop()
{
    delete bmih;
    delete Image;
}

////////////////////////////////////
void Conop::Initial(void)
{
    delete bmih;
    delete Image;
}

////////////////////////////////////
BOOL Conop::bmpRead(void)
{
    CFileDialog dlg(TRUE,"bmp","*.bmp");
    if (dlg.DoModal() != IDOK)return(0);
    file.Open(dlg.GetPathName(),CFile::modeRead);
    // CString FileName;
    // FileName.Format("c:\\Myprojects\\No-%d.bmp",icount+1);
    // file.Open(FileName,CFile::modeRead);
    file.Read((LPVOID) &bmfh,sizeof(BITMAPFILEHEADER));
    if (bmfh.bfType != 0x4d42)

```

เอกสารนี้เป็นเอกสารทสงวนไว้สำหรับการใช้งานเพื่อการศึกษาเท่านั้น ไม่นอนุญาตให้นำไปใช้ประโยชน์ด้านการค้า
ไม่ว่ากรณีใดๆ ทั้งสิ้น อีกทั้งห้ามมิให้ดัดแปลงเนื้อหา และต้องอ้างอิงถึงเจ้าของเอกสารทุกครั้งที่มีการนำไปใช้

```

    {
        AfxMessageBox("This is not BMP file");
        return(0);
    }
    return(1);
}

BOOL Conop::SizeImage(void)
{
    int nSize = bmfh.bfOffBits - sizeof(BITMAPFILEHEADER);
    bmih = (LPBITMAPINFOHEADER) new char[nSize];
    file.Read(bmih,nSize);
    if(bmih->biSize != sizeof(BITMAPINFOHEADER))
    {
        AfxMessageBox("Not valid Windows BITMAP");
    }
    sizex=bmih->biWidth;
    sizey=bmih->biHeight;
    int ISize = bmih->biSizeImage;
    if(ISize == 0)
    {
        DWORD dwBytes = ((DWORD) bmih->biWidth * bmih->biBitCount) / 32;
        if(((DWORD) bmih->biWidth * bmih->biBitCount) % 32)
        {
            dwBytes++;
        }
        dwBytes *= 4;
        ISize = dwBytes * bmih->biHeight; // no compression
    }

    iSize = ISize;
    Image=(LPBYTE) new char[iSize];
    file.Read(Image,iSize);
    file.Close();
    return(1);
}

```

////////////////////////////////////

เอกสารนี้เป็นเอกสารที่สงวนไว้สำหรับการใช้งานเพื่อการศึกษาเท่านั้น ไม่อนุญาตให้นำไปใช้ประโยชน์ด้านการค้า
ไม่ว่ากรณีใดๆ ทั้งสิ้น อีกทั้งห้ามมิให้ดัดแปลงเนื้อหา และต้องอ้างอิงถึงเจ้าของเอกสารทุกครั้งที่มีการนำไปใช้

```
BOOL Conop::CreatbmpPalete(void)
```

```
{
    LPBYTE ColorTable = (LPBYTE)bmih + sizeof(BITMAPINFOHEADER);
    if((bmih == NULL) || (bmih->biClrUsed == 0)) {
        switch(bmih->biBitCount) {
            case 1:
                ColorTableEntries = 2;
                break;
            case 4:
                ColorTableEntries = 16;
                break;
            case 8:
                ColorTableEntries = 256;
                break;
            case 16:
            case 24:
            case 32:
                ColorTableEntries = 0;
                break;
            default:
                return(FALSE);
        }
    }
    else {
        ColorTableEntries = bmih->biClrUsed;
    }
    ASSERT((ColorTableEntries >= 0) && (ColorTableEntries <= 256));
    //////////////////////////////////////
    LPLOGPALETTE pLogPal = (LPLOGPALETTE) new char[2 * sizeof(WORD) +
        ColorTableEntries * sizeof(PALETTEENTRY)];
    pLogPal->palVersion = 0x300;
    pLogPal->palNumEntries = ColorTableEntries;
    LPRGBQUAD pDibQuad = (LPRGBQUAD) ColorTable;
    for(int i = 0; i < ColorTableEntries; i++) {
        pLogPal->palPalEntry[i].peRed = pDibQuad->rgbRed;
    }
}
```

เอกสารนี้เป็นเอกสารที่สงวนไว้สำหรับการใช้งานเพื่อการศึกษาเท่านั้น ไม่อนุญาตให้นำไปใช้ประโยชน์ด้านการค้า
ไม่ว่ากรณีใดๆ ทั้งสิ้น อีกทั้งห้ามมิให้ดัดแปลงเนื้อหา และต้องอ้างอิงถึงเจ้าของเอกสารทุกครั้งที่มีการนำไปใช้

```

        pLogPal->palPalEntry[i].peGreen = pDibQuad->rgbGreen;
        pLogPal->palPalEntry[i].peBlue = pDibQuad->rgbBlue;
        pLogPal->palPalEntry[i].peFlags = 0;
        pDibQuad++;
    }
    Palette = ::CreatePalette(pLogPal);
    delete pLogPal;
    return(TRUE);
}

////////////////////////////////////
BOOL Conop::bmpWrite(int aSize)
{
    CFileDialog dlg(FALSE,"bmp","*.bmp");
    if (dlg.DoModal() != IDOK) return(0);
    CFile WFile( dlg.GetPathName(), CFile::modeCreate | CFile::modeWrite );
    bmfh.bfType = 0x4d42;
    int nSizeHdr = sizeof(BITMAPINFOHEADER) + sizeof(RGBQUAD) * ColorTableEntries;
    bmfh.bfSize = 0;
    // bmfh.bfSize = sizeof(BITMAPFILEHEADER) + nSizeHdr + SizeImage;
    bmfh.bfReserved1 = bmfh.bfReserved2 = 0;
    bmfh.bfOffBits = sizeof(BITMAPFILEHEADER) + sizeof(BITMAPINFOHEADER) +
        sizeof(RGBQUAD) * ColorTableEntries;

    WFile.Write((LPVOID) &bmfh, sizeof(BITMAPFILEHEADER));

    WFile.Write((LPVOID) bmih, nSizeHdr);

    WFile.Write((LPVOID) Image,aSize);
    return(1);
}

////////////////////////////////////
CPoint Conop::Origin(int x,int y)
{
    point=(x,y);
    return(point);
}

```

เอกสารนี้เป็นเอกสารที่สงวนไว้สำหรับการใช้งานเพื่อการศึกษาเท่านั้น ไม่อนุญาตให้นำไปใช้ประโยชน์ด้านการค้า
ไม่ว่ากรณีใดๆ ทั้งสิ้น อีกทั้งห้ามมิให้ดัดแปลงเนื้อหา และต้องอ้างอิงถึงเจ้าของเอกสารทุกครั้งที่มีการนำไปใช้

```

}
////////////////////////////////////////////////////
int Conop::GetSize(void)
{
    return(iSize);
}
////////////////////////////////////////////////////
int Conop::Getsx(void)
{
    return(sizex);
}
////////////////////////////////////////////////////
int Conop::Getsy(void)
{
    return(sizey);
}
////////////////////////////////////////////////////
LPBYTE Conop::SentImage(void)
{
    return(Image);
}
////////////////////////////////////////////////////
HPALETTE Conop::GetPalette(void)
{
    return(Palette);
}
////////////////////////////////////////////////////
BOOL Conop::Draw(CDC* pdc,LPBYTE ImagePT,int sx,int sy)
{
    pdc->SetStretchBitMode(COLORONCOLOR);
    ::StretchDIBits(pdc->GetSafeHdc(),point.x,point.y,
        sx,sy,0,0,sx,sy,ImagePT,(LPBITMAPINFO) bmih,
        DIB_RGB_COLORS,SRCCOPY);
    return(1);
}

```

เอกสารนี้เป็นเอกสารที่สงวนไว้สำหรับการใช้งานเพื่อการศึกษาเท่านั้น ไม่อนุญาตให้นำไปใช้ประโยชน์ด้านการค้า
ไม่ว่ากรณีใดๆ ทั้งสิ้น อีกทั้งห้ามมิให้ดัดแปลงเนื้อหา และต้องอ้างอิงถึงเจ้าของเอกสารทุกครั้งที่มีการนำไปใช้

```

////////////////////////////////////
// Conop.h
////////////////////////////////////
#include "stdafx.h"

class Conop
{
private:
    CFile file;
    BITMAPFILEHEADER bmfh;
    LPBITMAPINFOHEADER bmih;
    LPBYTE Image;
    HPALETTE Palette;
    int ColorTableEntries;
    CPoint point;
    int sizex,sizey;
    int iSize;

public:
    Conop();
    ~Conop();
    void Initial(void);
    BOOL bmpRead(void);
    BOOL SizelImage(void);
    BOOL CreatbmpPalete(void);
    BOOL bmpWrite(int aSize);
    CPoint Origin(int x,int y);
    int GetSize(void);
    int Getsx(void);
    int Getsy(void);
    HPALETTE GetPalette(void);
    LPBYTE Sentimage(void);
    BOOL Draw(CDC* pdc,LPBYTE ImagePT,int sx,int sy);
    LPBITMAPINFOHEADER GetBMIH(void){return bmih;}

```

เอกสารนี้เป็นเอกสารที่สงวนไว้สำหรับการใช้งานเพื่อการศึกษาเท่านั้น ไม่อนุญาตให้นำไปใช้ประโยชน์ด้านการค้า
ไม่ว่ากรณีใดๆ ทั้งสิ้น อีกทั้งห้ามมิให้ดัดแปลงเนื้อหา และต้องอ้างอิงถึงเจ้าของเอกสารทุกครั้งที่มีการนำไปใช้

```

////////////////////////////////////
// Cdib.cpp
////////////////////////////////////

#include "stdafx.h"
// #include "BinaryTree.h"
#include "cdib.h"
#include <windowsx.h> // for GlobalAllocPtr

IMPLEMENT_SERIAL(CDib, CObject, 0)

////////////////////////////////////
CDib::CDib()
{
    m_dwLength = 0L;
    m_nBits = 0;
    m_lpBuf = NULL;
}

BOOL CDib::MakeDib(long x,long y,int Bits)
{
    DWORD Length;

    long LUTsize;
    long Width;
    switch(Bits)
    {
        case 24:
            LUTsize = 0;
            Width = x*3L;
            break;
        case 8:
            LUTsize = sizeof( RGBQUAD)*256L;
            Width = x;

```

```

        break;
    default: return FALSE;
}
if((Width&3) Width = (Width&0xffffc)+4;

Length = sizeof(BITMAPFILEHEADER) + sizeof(BITMAPINFOHEADER) + LUTsize + (Width
*y);

m_nBits = Bits;
m_dwLength = Length;
if(!AllocateMemory()) return FALSE;

m_lpBMFH->bfType = 0x4d42;
m_lpBMFH->bfSize = Length;
m_lpBMFH->bfReserved1 = 0;
m_lpBMFH->bfReserved2 = 0;
m_lpBMFH->bfOffBits = sizeof(BITMAPFILEHEADER) + LUTsize
+sizeof(BITMAPINFOHEADER);

m_lpBMIH->biSize = sizeof(BITMAPINFOHEADER);
m_lpBMIH->biWidth = x;
m_lpBMIH->biHeight = y;
m_lpBMIH->biPlanes = 1;
m_lpBMIH->biBitCount = Bits;
m_lpBMIH->biCompression = BI_RGB;
if(Bits==24) m_lpBMIH->biSizelImage = Width*y;
else m_lpBMIH->biSizelImage = 0;
m_lpBMIH->biXPelsPerMeter = 0;
m_lpBMIH->biYPelsPerMeter = 0;
m_lpBMIH->biClrUsed = 0;
m_lpBMIH->biClrImportant = 0;

m_lpData = m_lpBuf+m_lpBMFH->bfOffBits;
m_lpPic = (unsigned char*) m_lpData;

return TRUE;

```

```

}

////////////////////////////////////
CDib::~~CDib()
{
    if (m_lpBuf) {
        GlobalFreePtr(m_lpBuf); // free the DIB memory
    }
}

////////////////////////////////////
void CDib::Serialize(CArchive& ar)
{
    WORD wBM;

    CObject::Serialize(ar);
    if (ar.IsStoring()) {
        ar.GetFile()->WriteHuge(m_lpBuf, m_dwLength);
    }
    else {
        if(m_dwLength!=0)
            DeleteData();

        ASSERT(m_dwLength == 0L); // DIB must be empty
        ar >> wBM;

        if (wBM == (WORD) 0x4d42) {
            ar.Flush();
            ar.GetFile()->SeekToBegin();
            m_dwLength = ar.GetFile()->GetLength();
            if(m_dwLength > 0L)
            {
                if (!AllocateMemory()) {
                    return;
                }
            }
        }
    }
}

```

```

ar.GetFile()->ReadHuge(m_lpBuf, m_dwLength);
    m_lpData = (unsigned char*) m_lpBMFH + m_lpBMFH->bfOffBits;
    m_lpPic = (unsigned char*) m_lpBMFH + m_lpBMFH->bfOffBits;
    m_nBits = m_lpBMIH->biBitCount;
}
}
else {
    AfxMessageBox("Invalid DIB archive");
    m_dwLength = 0L;
    m_nBits = 0;
}
}
}

////////////////////////////////////
BOOL CDib::Display(CDC* pDC, CPoint origin)
{
    // direct to device--bypass the GDI bitmap
    if (!m_lpBuf) {
        return FALSE; // nothing to display
    }
    if (!::SetDIBitsToDevice(pDC->GetSafeHdc(), origin.x, origin.y,
        (WORD) m_lpBMIH->biWidth, (WORD) m_lpBMIH->biHeight, 0, 0, 0,
        (WORD) m_lpBMIH->biHeight, m_lpData, m_lpBMI,
        DIB_RGB_COLORS)) {
        return FALSE;
    }
    return TRUE;
}

////////////////////////////////////
BOOL CDib::Stretch(CDC* pDC, CPoint origin, CSize size)
{

```

เอกสารนี้เป็นเอกสารที่สงวนลิขสิทธิ์ไว้เพื่อการศึกษาเท่านั้น ไม่อนุญาตให้นำไปใช้ประโยชน์ด้านการค้า
ไม่ว่ากรณีใดๆ ทั้งสิ้น อีกทั้งห้ามมิให้ตัดแปลงเนื้อหา และต้องอ้างอิงถึงเจ้าของเอกสารทุกครั้งที่มีการนำไปใช้

```

if (!m_lpBuf) {
    return FALSE; // nothing to display
}

if (!::StretchDIBits(pDC->GetSafeHdc(), origin.x, origin.y,
    size.cx, size.cy, 0, 0, (WORD) m_lpBMIT->biWidth,
    (WORD) m_lpBMIT->biHeight, m_lpData, m_lpBMIT,
    DIB_RGB_COLORS, SRCCOPY)) {
    return FALSE;
}

return TRUE;
}

////////////////////////////////////
int CDib::GetColorBits()
{
    return m_nBits;
}

////////////////////////////////////
DWORD CDib::GetLength()
{
    return m_dwLength;
}

////////////////////////////////////
BOOL CDib::AllocateMemory(BOOL bRealloc) // bRealloc default = FALSE
{
    if (bRealloc) {
        m_lpBuf = (unsigned char*) GlobalReAllocPtr(m_lpBuf,
            m_dwLength, GHND);
    }
    else {
        m_lpBuf = (unsigned char*) GlobalAllocPtr(GHND, m_dwLength);
    }
}

```

เอกสารนี้เป็นเอกสารที่สงวนไว้สำหรับการใช้งานเพื่อการศึกษาเท่านั้น ไม่นิยมนำไปใช้ประโยชน์ด้านการค้า
 ไม่ว่าจะกรณีใดๆ ทั้งสิ้น อีกทั้งห้ามมิให้ดัดแปลงเนื้อหา และต้องอ้างอิงถึงเจ้าของเอกสารทุกครั้งที่มีการนำไปใช้

```

if (!m_lpBuf) {
    AfxMessageBox("Unable to allocate DIB memory");
    m_dwLength = 0L;
    m_nBits = 0;
    return FALSE;
}
m_lpBMFH = (LPBITMAPFILEHEADER) m_lpBuf;
m_lpBMITH = (LPBITMAPINFOHEADER) (m_lpBuf + sizeof(BITMAPFILEHEADER));
m_lpBMI = (LPBITMAPINFO) m_lpBMITH;
return TRUE;
}

void CDib::ClearPic(void)
{
    long dwSize = m_dwLength-m_lpBMFH->bfOffBits;
    long i;
    for(i=0;i<dwSize;i++)
        m_lpPic[i]=0;
}

void CDib::WhiteBackground(void)
{
    long dwSize = m_dwLength-m_lpBMFH->bfOffBits;
    long i;
    for(i=0;i<dwSize;i++)
        m_lpPic[i]= 255;
}

void CDib::SetGrayBackground(unsigned char Level)
{
    long dwSize = m_dwLength-m_lpBMFH->bfOffBits;
    FillMemory(m_lpPic,dwSize,Level);
}
/*
long i;
for(i=0;i<dwSize;i++)

```

```

        m_lpPic[i]= Level;*/
    }

void CDib::DeleteData(void)
{
    GlobalFreePtr(m_lpBuf);
    m_lpBuf = NULL;
    m_dwLength = 0;
}

void CDib::CopyData(CDib* Src)
{
    if(m_dwLength == 0)
    {
        m_dwLength = Src->m_dwLength;
        AllocateMemory();
    }
    else
    {
        m_dwLength = Src->m_dwLength;
        AllocateMemory(TRUE);
    }
    CopyMemory(m_lpBuf,Src->m_lpBuf,m_dwLength);
}

/*void CDib::GetColorBinaryTree(BinaryTree* BT)
{
    int Width,Height,iX,iY;
    unsigned char* Pic1 = m_lpPic;
    unsigned char* Pic2;
    Width = m_lpBMIT->biWidth;
    Height = m_lpBMIT->biHeight;
    long Step;

```

เอกสารนี้เป็นลิขสิทธิ์ของสถาบันพระจอมเกล้าเจ้าคุณทหารลาดกระบัง
 ไม่ว่ากรณีใดๆ ทั้งสิ้น อีกทั้งห้ามมิให้ตัดแปลงเนื้อหา และต้องอ้างอิงถึงเจ้าของเอกสารทุกครั้งที่มีการนำไปใช้


```

////////////////////////////////////
// cdib.h
////////////////////////////////////

#include "binarytree.h"
class CDib : public CObject
{
    DECLARE_SERIAL(CDib)
protected:
    unsigned char* m_lpBuf;
    DWORD    m_dwLength; // total buffer length, including file header
    int     m_nBits; // number of color bits per pixel
    //pointers for internal use
    LPBITMAPFILEHEADER m_lpBMFH;
    LPBITMAPINFOHEADER m_lpBMIT;
    LPBITMAPINFO    m_lpBMI;
    unsigned char* m_lpData;
    unsigned char* m_lpPic;
    MakeDib(long x,long y,int Bits);
public:
    CDib();
    CDib(long x,long y,int Bits);
    ~CDib();
    virtual void Serialize(CArchive &r);
    void SetLength(DWORD Length) { m_dwLength = Length; }
    BOOL Display(CDC*, CPoint origin);
    BOOL Stretch(CDC*, CPoint origin, CSize size);
    int GetColorBits(); // bits per pixel
    DWORD GetLength();
    BOOL It24Bit(void){
        if(m_nBits==24) return TRUE;
        else return FALSE;
    }
    void GetColorBinaryTree(BinaryTree* BT);
}

```

```

long ReceiveWidth(void) { return m_lpBMIH->biWidth;}
long ReceiveHeight(void) { return m_lpBMIH->biHeight;}
unsigned char* ReceivePic(void) { return m_lpPic;}
LPBITMAPINFOHEADER ReceiveBMPInfoHeader(void) { return m_lpBMIH;}
LPBITMAPFILEHEADER ReceiveBMPFileHeader(void) { return m_lpBMFH;}
LPBITMAPINFO ReceiveBMI(void) { return m_lpBMI;}
unsigned char* ReceiveBuf(void) { return (unsigned char*) m_lpBuf;}
void ClearPic(void);
void WhiteBackground(void);
void SetGrayBackground(unsigned char Level);
void DeleteData(void);
void CopyData(CDib* Src);
private:
    BOOL AllocateMemory(BOOL bRealloc = FALSE);
};

```



```

////////////////////////////////////
// 3Dclass.cpp
////////////////////////////////////

#include "stdafx.h"
#include "3DClass.h"

C3DOperator::C3DOperator()
{
    dA11 = 1.0f; dA12 = 0.0f; dA13 = 0.0f; dA14 = 0.0f;
    dA21 = 0.0f; dA22 = 1.0f; dA23 = 0.0f; dA24 = 0.0f;
    dA31 = 0.0f; dA32 = 0.0f; dA33 = 1.0f; dA34 = 0.0f;
    dA41 = 0.0f; dA42 = 0.0f; dA43 = 0.0f; dA44 = 1.0f;
}

C3DOperator::~C3DOperator()
{
}

void C3DOperator::RotateXYPlaneRad(double dRad)
{
    double dCos = cos(dRad);
    double dSin = sin(dRad);
    double Temp = dA11;
    dA11 = (dCos*dA11) - (dSin*dA12);
    dA12 = (dSin*Temp) + (dCos*dA12);

    Temp = dA21;
    dA21 = (dCos*dA21) - (dSin*dA22);
    dA22 = (dSin*Temp) + (dCos*dA22);

    Temp = dA31;
    dA31 = (dCos*dA31) - (dSin*dA32);
    dA32 = (dSin*Temp) + (dCos*dA32);

    Temp = dA41;
    dA41 = (dCos*dA41) - (dSin*dA42);
    dA42 = (dSin*Temp) + (dCos*dA42);
}

```

```
dA42 = (dSin*Temp) + (dCos*dA42);
```

```
}
```

```
void C3DOperator::RotateXYPlaneDeg(double dDeg)
```

```
{
```

```
    double dRad;
```

```
    dRad = dDeg*3.1415926535f/180.0f;
```

```
    double dCos = cos(dRad);
```

```
    double dSin = sin(dRad);
```

```
    double Temp = dA11;
```

```
    dA11 = (dCos*dA11) - (dSin*dA12);
```

```
    dA12 = (dSin*Temp) + (dCos*dA12);
```

```
    Temp = dA21;
```

```
    dA21 = (dCos*dA21) - (dSin*dA22);
```

```
    dA22 = (dSin*Temp) + (dCos*dA22);
```

```
    Temp = dA31;
```

```
    dA31 = (dCos*dA31) - (dSin*dA32);
```

```
    dA32 = (dSin*Temp) + (dCos*dA32);
```

```
    Temp = dA41;
```

```
    dA41 = (dCos*dA41) - (dSin*dA42);
```

```
    dA42 = (dSin*Temp) + (dCos*dA42);
```

```
}
```

```
void C3DOperator::RotateXZPlaneRad(double dRad)
```

```
{
```

```
    double dCos = cos(dRad);
```

```
    double dSin = sin(dRad);
```

```
    double Temp = dA11;
```

```
    dA11 = (dCos*dA11) + (dSin*dA13);
```

```
    dA13 = (dCos*dA13) - (dSin*Temp);
```

```
    Temp = dA21;
```

```

dA21 = (dCos*dA21) + (dSin*dA23);
dA23 = (dCos*dA23) - (dSin*Temp);

Temp = dA31;
dA31 = (dCos*dA31) + (dSin*dA33);
dA33 = (dCos*dA33) - (dSin*Temp);

Temp = dA41;
dA41 = (dCos*dA41) + (dSin*dA43);
dA43 = (dCos*dA43) - (dSin*Temp);
}

void C3DOperator::RotateXZPlaneDeg(double dDeg)
{
double dRad;
dRad = dDeg*3.1415926535f/180.0f;
double dCos = cos(dRad);
double dSin = sin(dRad);
double Temp = dA11;
dA11 = (dCos*dA11) + (dSin*dA13);
dA13 = (dCos*dA13) - (dSin*Temp);

Temp = dA21;
dA21 = (dCos*dA21) + (dSin*dA23);
dA23 = (dCos*dA23) - (dSin*Temp);

Temp = dA31;
dA31 = (dCos*dA31) + (dSin*dA33);
dA33 = (dCos*dA33) - (dSin*Temp);

Temp = dA41;
dA41 = (dCos*dA41) + (dSin*dA43);
dA43 = (dCos*dA43) - (dSin*Temp);
}

```

เอกสารนี้เป็นเอกสารที่สงวนไว้สำหรับการใช้งานเพื่อการศึกษาเท่านั้น ไม่อนุญาตให้นำไปใช้ประโยชน์ด้านการค้า
ไม่ว่ากรณีใดๆ ทั้งสิ้น อีกทั้งห้ามมิให้ตัดแปลงเนื้อหา และต้องอ้างอิงถึงเจ้าของเอกสารทุกครั้งที่มีการนำไปใช้

```
void C3DOperator::RotateYZPlaneRad(double dRad)
```

```
{
    double dCos = cos(dRad);
    double dSin = sin(dRad);
    double Temp = dA12;
    dA12 = (dCos*dA12) - (dSin*dA13);
    dA13 = (dSin*Temp) + (dCos*dA13);

    Temp = dA22;
    dA22 = (dCos*dA22) - (dSin*dA23);
    dA23 = (dSin*Temp) + (dCos*dA22);

    Temp = dA32;
    dA32 = (dCos*dA32) - (dSin*dA33);
    dA33 = (dSin*Temp) + (dCos*dA33);

    Temp = dA42;
    dA42 = (dCos*dA42) - (dSin*dA43);
    dA43 = (dSin*Temp) + (dCos*dA43);
}
```

```
void C3DOperator::RotateYZPlaneDeg(double dDeg)
```

```
{
    double dRad = dDeg*3.1415926535f/180.0f;
    double dCos = cos(dRad);
    double dSin = sin(dRad);
    double Temp = dA12;
    dA12 = (dCos*dA12) - (dSin*dA13);
    dA13 = (dSin*Temp) + (dCos*dA13);

    Temp = dA22;
    dA22 = (dCos*dA22) - (dSin*dA23);
    dA23 = (dSin*Temp) + (dCos*dA22);
```

```
Temp = dA32;
dA32 = (dCos*dA32) - (dSin*dA33);
dA33 = (dSin*Temp) + (dCos*dA33);
```

```
Temp = dA42;
dA42 = (dCos*dA42) - (dSin*dA43);
dA43 = (dSin*Temp) + (dCos*dA43);
```

```
}
```

```
void C3DOperator::Translator(double dX,double dY,double dZ)
```

```
{
```

```
    dA11 = dA11 + (dX * dA14);
```

```
    dA12 = dA12 + (dY * dA14);
```

```
    dA13 = dA13 + (dZ * dA14);
```

```
    dA21 = dA21 + (dX * dA24);
```

```
    dA22 = dA22 + (dY * dA24);
```

```
    dA23 = dA23 + (dZ * dA24);
```

```
    dA31 = dA31 + (dX * dA34);
```

```
    dA32 = dA32 + (dY * dA34);
```

```
    dA33 = dA33 + (dZ * dA34);
```

```
    dA41 = dA41 + (dX * dA44);
```

```
    dA42 = dA42 + (dY * dA44);
```

```
    dA43 = dA43 + (dZ * dA44);
```

```
}
```

```
void C3DOperator::Scale(double dXScale,double dYScale,double dZScale)
```

```
{
```

```
    dA11 = dA11 * dXScale;
```

```
    dA12 = dA12 * dYScale;
```

```
    dA13 = dA13 * dZScale;
```

เอกสารนี้เป็นเอกสารที่สงวนไว้สำหรับการใช้งานเพื่อการศึกษาเท่านั้น ไม่อนุญาตให้นำไปใช้ประโยชน์ด้านการค้า
ไม่ว่ากรณีใดๆ ทั้งสิ้น อีกทั้งห้ามมิให้ตัดแปลงเนื้อหา และต้องอ้างอิงถึงเจ้าของเอกสารทุกครั้งที่มีการนำไปใช้

```

dA21 = dA21 * dXScale;
dA22 = dA22 * dYScale;
dA23 = dA23 * dZScale;

dA31 = dA31 * dXScale;
dA32 = dA32 * dYScale;
dA33 = dA33 * dZScale;

dA41 = dA41 * dXScale;
dA42 = dA42 * dYScale;
dA43 = dA43 * dZScale;
}

C3DVector::C3DVector()
{
}
C3DVector::~C3DVector()
{
}
//void C3DVector::Passvalue(double x,double y,double z)
void C3DVector::Transform(C3DOperator Operator)
{
    dX = (dX*Operator.dA11)+(dY*Operator.dA21)+(dZ*Operator.dA31)+Operator.dA41;
    dY = (dX*Operator.dA12)+(dY*Operator.dA22)+(dZ*Operator.dA32)+Operator.dA42;
    dZ = (dX*Operator.dA13)+(dY*Operator.dA23)+(dZ*Operator.dA33)+Operator.dA43;
}

```

```

////////////////////////////////////
// 3Dclass.h
////////////////////////////////////
#include <math.h>
class C3DOperator
{
    friend class C3DVector;
private:
    double dA11, dA21, dA31, dA41;
    double dA12, dA22, dA32, dA42;
    double dA13, dA23, dA33, dA43;
    double dA14, dA24, dA34, dA44;
public:
    C3DOperator();
    ~C3DOperator();
    void RotateXYPlaneRad(double dRad);
    void RotateXYPlaneDeg(double dDeg);
    void RotateXZPlaneRad(double dRad);
    void RotateXZPlaneDeg(double dDeg);
    void RotateYZPlaneRad(double dRad);
    void RotateYZPlaneDeg(double dDeg);
    void Translator(double dX,double dY,double dZ);
    void Scale(double dXScale,double dYScale,double dZScale);
};

class C3DVector
{
private:
    double dX, dY, dZ;
public:
    C3DVector();
    //void Passvalue(double x,double y, double z);
    C3DVector(double x,double y,double z);
    ~C3DVector();

```

```

C3DVector operator+(const C3DVector Value) const;
void operator=(const C3DVector Value);
C3DVector operator-(const C3DVector Value) const;
C3DVector operator*(const double Mul) const; // scale vector
C3DVector operator/(const double Devide) const; // devide vector
double InnerProduct(const C3DVector Value) const;
C3DVector CrossProduct(const C3DVector Value) const;
void Normal(void); // return normal vector
void ChangeToNormal(void); // change to normal vector
double Length(void); // return length of vector
double Length_2(void); // return length square of vector
void XYAngleYZAngle(double& XY,double& YZ);
void Transform(C3DOperator Operator);
double GetX(void) { return dX;}
double GetY(void) { return dY;}
double GetZ(void) { return dZ;}
void Passvalue(double x,double y,double z)
{
    dX = x;
    dY = y;
    dZ = z;
}
bool test(void){return(1);}
};

inline C3DVector::C3DVector(double x,double y, double z) :
dX(x), dY(y), dZ(z)
{
}

inline C3DVector C3DVector::operator+(const C3DVector Value) const
{
    return C3DVector(dX+Value.dX,dY+Value.dY,dZ+Value.dZ);
}

inline void C3DVector::operator=(const C3DVector Value)

```

เอกสารนี้เป็นเอกสารที่สงวนไว้สำหรับการใช้งานเพื่อการศึกษาเท่านั้น ไม่อนุญาตให้นำไปใช้ประโยชน์ด้านการค้า
ไม่ว่ากรณีใดๆ ทั้งสิ้น อีกทั้งห้ามมิให้ดัดแปลงเนื้อหา และต้องอ้างอิงถึงเจ้าของเอกสารทุกครั้งที่มีการนำไปใช้

```

    dX = Value.dX;
    dY = Value.dY;
    dZ = Value.dZ;
}

inline C3DVector C3DVector::operator-(const C3DVector Value) const
{
    return C3DVector(dX-Value.dX,dY-Value.dY,dZ-Value.dZ);
}

inline C3DVector C3DVector::operator*(const double Mul) const
{
    return C3DVector(dX*Mul,dY*Mul,dZ*Mul);
}

inline C3DVector C3DVector::operator/(const double Devide) const
{
    return C3DVector(dX/Devide,dY/Devide,dZ/Devide);
}

inline C3DVector C3DVector::CrossProduct(const C3DVector Value) const
{
    double X = (dY*Value.dZ)-(dZ*Value.dY);
    double Y = (dZ*Value.dX)-(dX*Value.dZ);
    double Z = (dX*Value.dY)-(dY*Value.dX);
    return C3DVector(X,Y,Z);
}

inline double C3DVector::InnerProduct(const C3DVector Value) const
{
    return ((dX*Value.dX)+(dY*Value.dY)+(dZ*Value.dZ));
}

inline void C3DVector::Normal(void)
{
    double Length = sqrt((dX*dX)+(dY*dY)+(dZ*dZ));
    dX /= Length;
    dY /= Length;
    dZ /= Length;
}

```

```

inline void C3DVector::ChangeToNormal(void) // change to normal vector
{
    double Length = sqrt((dX*dX)+(dY*dY)+(dZ*dZ));
    dX /= Length;
    dY /= Length;
    dZ /= Length;
}

inline double C3DVector::Length(void) // return length of vector
{
    return sqrt((dX*dX)+(dY*dY)+(dZ*dZ));
}

inline double C3DVector::Length_2(void)
{
    return (dX*dX) + (dY*dY) + (dZ*dZ);
}

inline void C3DVector::XYAngleYZAngle(double& XY,double& YZ)
{
    YZ = atan2(dZ,dY);
    XY = atan2(sqrt((dZ*dZ)+(dY*dY)),dX);
}

```

โครงสร้างโดยรวมของ DIB ใน BMP File

โครงสร้างโดยรวมของ DIB ใน BMP File ประกอบด้วย BITMAPFILEHEADER , BITMAPINFOHEADER และ BITMAP DATA ซึ่งรายละเอียดของส่วนต่างๆแสดงเป็น block ได้ดังรูป

| | |
|--------------------|--|
| BITMAPFILEHEADER | bfType = "BM" |
| (BMP files only) | bfOffBits |
| BITMAPINFOHEADER | bisize (of this structure) |
| | biwidth (in pixels) |
| | biHeight (in pixels) |
| | biPlanes = 1 |
| | biBitCount (1,4,8,16,24 or 32) |
| | biCompression (0 for none) |
| | bisizeImage (only if compressions is used) |
| | biClrUsed (nonzero for short color tables) |
| Color Table | 2 entries for mono DIBS |
| | 16 or fewer entries for 4-bpp DIBS |
| | 256 or fewer entries for 4-bpp DIBS |
| | Each entry is 32 bits |
| BITMAP DATA | Pixels ordered by column within row |
| | Rows padded to 4 byte boundaries |

BITMAPFILEHEADER เป็นส่วนที่เก็บข้อมูลรูปแบบหลักของ bitmap เริ่มต้นทั้งหมด ประกอบด้วย

- bfType = Bitmap File Type ถูกกำหนดให้ = "BM" ซึ่งเป็นรหัส ASCII , HEX (42,4D)

มีขนาด 2 byte

- bfOffBits = Byte offset to bitmap data แสดงขนาดของ BITMAPFILEHEADER ทั้งหมดของภาพซึ่งเราสามารถที่จะใช้ในการคำนวณค่า BITMAPINFOHEADER และ Color table ได้ ในส่วนนี้ยังมีประกอบด้วย size of the file ซึ่งแสดงขนาดของ file ด้วยแต่เราจะไม่คำนึงถึงส่วนนี้ เพราะเราไม่สามารถทราบได้ว่าขนาดนี้ถูกวัดเป็นชนิด byte , word หรือ double word

BITMAPINFOHEADER โครงสร้างในส่วนนี้จะประกอบไปด้วยขนาดของภาพ bitmap,

เอกสารจำนวน bits per pixel, ข้อมูลเกี่ยวกับการบีบอัดสำหรับภาพขนาด 4-bpp และ 8-bpp และจำนวนค่า

ไม่ว่ากรณีใดๆ ทั้งสิ้น อีกทั้งห้ามมิให้คัดแปลงเนื้อหา และต้องอ้างอิงถึงเจ้าของเอกสารทุกครั้งที่มีการนำไปใช้

ของ color table ถ้าภาพถูกบีบอัดแล้วในส่วนของ header จะประกอบไปด้วยขนาดของ pixel array ซึ่งเราสามารถคำนวณขนาดจาก dimensions และ จำนวน bit per pixel

BITMAP DATA ในส่วนนี้จะเก็บข้อมูลของภาพที่ประกอบด้วย pixel ที่ถูกจัดเก็บไว้เป็นแถวเริ่มจากซ้ายไปขวา ซึ่งแถวจะเริ่มต้นจากแถวล่างสุดขึ้นข้างบน (bottom to top) จุดเริ่มต้นจะอยู่ที่มุมล่างซ้ายของภาพ บิตหลายๆบิตของแต่ละ pixel จะถูกอัดรวมเป็น byte ในแต่ละแถวจะมีได้ไม่เกิน 4 byte

ในบางครั้งเราอาจจะไม่พบส่วนของ BITMAPFILEHEADER ก็ได้ในกรณีที่เราได้ภาพมาจาก clipboard แต่เราก็สามารถคำนวณของ color table ได้ในส่วนของ BITMAPINFOHEADER ในกรณีที่เรารู้ฟังก์ชันที่จัดการเกี่ยวกับภาพ เช่น CreateDIBSection เราต้องจองพื้นที่ของส่วน BITMAPINFOHEADER และ color table แล้วให้ Window เป็นตัวจัดการจองพื้นที่ของภาพที่ส่วนใดก็ได้



เอกสารอ้างอิง

- 1 Charles A. Mirho Andre Terrisse , “ Communication Programming for Windows 95 ” , Microsoft Press , 1996
- 2 “Color Quick Cam User Guide” ,Connectix Corporation ,1996
- 3 อนิรุต ลิ้วหาทอง , “ การเขียน โปรแกรมบนวินโดวส์ด้วย Microsoft C++ ” ,ซีเอ็ดยูเคชั่น จำกัด (มหาชน) ,2539
- 4 Scott Stanfield with Ralph Arveson, “VISUAL C++4 How-To” , waite Group Press TM A Division of Sams Publishing Corte Madera , CA , 1996
- 5 Brain W. Kernighan and Dennis M. Ritchie , “The C Programming Language” , Bell Laboratories Murray Hill , New Jersey
- 6 Vera B. Anand , “Computer Graphics and Geometric Modeling for Engineers” , John Wiley & Sons,Inc. , 1993
- 7 David J.Kruglinsik, “Inside Visual C+” ,Microsoft Press, fourth edition,1997.
- 8 David F.Rogers & J.Alan Adams , “Mathematical Elements for Computer Grapics” , McGraw – Hill Publishing Company , second edition , 1989
- 9 Steve Rimmerm” WINDOWS BITMAPPED GRAPHICS” , WINDCREST/McGraw – Hill,1993
- 10 C.Wayne Brown and Barry J.Shepherd, “Graphics File Formats reference and guide”, Manning Publication Co. ,1995
- 11 F.S. HILL ,JR., “COMPUTER GRAPHICS” , Macmillan Publishish Company , 1990
- 12 Keith Rule, “3D GRAPHICS FILE FORMATS” ADDISON – WESLEY DEVELOPERS PRESS, 1996
- 13 James D. Murray and William Vanryper, “ Encyclopedia of GRAPHICS FILE FORMATS” , O’ Reilly&associates,Inc. ,second edition ,1996
- 14 Jeff Prosis, “Programming Window95 with MFC “ , Microsoft Press,1996



Web Site ที่เข้าไปหาข้อมูลทางอินเทอร์เน็ต

1 <http://www.connectix.com>

2 <http://www.kolban.com>

3 <http://www.microsoft.com>

4 <ftp://ftp.microsoft.com>

5 <http://ourworld.compuserve.com>



เอกสารนี้เป็นเอกสารที่สงวนไว้สำหรับการใช้งานเพื่อการศึกษาเท่านั้น ไม่อนุญาตให้นำไปใช้ประโยชน์ด้านการค้า
ไม่ว่ากรณีใดๆ ทั้งสิ้น อีกทั้งห้ามมิให้ดัดแปลงเนื้อหา และต้องอ้างอิงถึงเจ้าของเอกสารทุกครั้งที่มีการนำไปใช้